

## รายงานการวิจัย

โครงการวิจัยเรื่อง ภาษาไทย: การออกแบบและพัฒนาระบบควบคุมคอนเวอร์เตอร์สำหรับ

Ultracapacitor ภายใต้ชื่อยุกติใช้งานอัจฉริยะเก็บพลังงานไฟฟ้า

ภาษาอังกฤษ: Design and Development of Ultracapacitor Converter

Control System for Energy Storage Applications

คณะผู้วิจัย

นายชาญฤทธิ์ ชาราสันติสุข

RMUTK - CARIT



3 2000 00100628 9

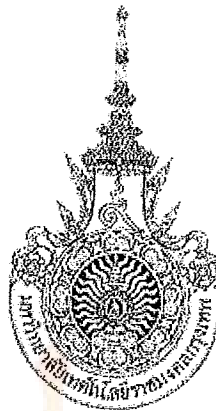
โครงการวิจัยที่สนับสนุนงานวิจัยของมหาวิทยาลัยเทคโนโลยีราชมงคลกรุงเทพ

งบประมาณแผ่นดิน ปี พ.ศ. 2552

มหาวิทยาลัยเทคโนโลยีราชมงคลกรุงเทพ

๑๒๘๓

๗๕๙๗๑



## รายงานการวิจัย

โครงการวิจัยเรื่อง ภาษาไทย: การออกแบบและพัฒนาระบบความคุ้มคอง瓦อร์เตอร์สำหรับ  
Ultracapacitor เพื่อประยุกต์ใช้งานจัดเก็บพลังงานไฟฟ้า  
ภาษาอังกฤษ: Design and Development of Ultracapacitor Converter  
Control System for Energy Storage Applications

คณะผู้วิจัย

นายชาญฤทธิ์ ชาราสันติสุข

โครงการวิจัยทุนสนับสนุนงานวิจัยของมหาวิทยาลัยเทคโนโลยีราชมงคลกรุงเทพ  
งบประมาณแผ่นดิน ปี พ.ศ. 2552  
มหาวิทยาลัยเทคโนโลยีราชมงคลกรุงเทพ

หัวข้อวิจัย	การออกแบบและพัฒนาระบบควบคุมคอนเวอร์เตอร์สำหรับ Ultracapacitor เพื่อประยุกต์ใช้งานจัดเก็บพลังงานไฟฟ้า
ผู้วิจัย	นายชาญฤทธิ์ สารัสันติสุข
สาขาวิชา	วิศวกรรมไฟฟ้า คณะวิศวกรรมศาสตร์
ปีงบประมาณ	2552

### บทคัดย่อ

อุปกรณ์จัดเก็บพลังงานมีความสำคัญต่อระบบแปลงผันพลังงานไฟฟ้า โดยแบตเตอรี่จัดว่าเป็นอุปกรณ์จัดเก็บพลังงานไฟฟ้า (Energy Storage) ที่ใช้งานกันอยู่มากในปัจจุบันแต่มีข้อด้อยคือ ผลตอบสนองในสภาวะโภتاไม่ดี ใช้เวลาการชาร์ตและดิสชาร์ตนาน ระยะเวลาใช้งาน (life cycle) ที่น้อย และความสามารถในการจัดเก็บพลังงานที่ต่ำ ผู้วิจัยจึงได้ก้นคว้าข้อมูลอุปกรณ์จัดเก็บพลังงานไฟฟ้า เพื่อใช้งานกับระบบส่งข่ายและจัดเก็บพลังงานสำหรับพลังงาน ซึ่งอุปกรณ์ Ultracapacitor จัดว่าเป็นอุปกรณ์จัดเก็บพลังงานไฟฟ้าที่ใช้เวลาในการชาร์ตและดิสชาร์ตที่ต่ำ มีพิกัดกระแสและแรงดันที่สูง มีพิกัดความสามารถในการจัดเก็บพลังงานที่สูง และมีความสามารถในการลดพิกัดกำลังไฟฟ้าสูงถูกของเหลวจ่ายกำลังไฟฟ้าหลัก โดยการศึกษาข้อมูล หาแบบจำลองด้วยโปรแกรม Pspice และนำเซลล์ Ultracapacitor BCAP1200 2.7 V มาประยุกต์ใช้งานร่วมกับวงจรดีซีทูดีซีคอนเวอร์เตอร์แบบสองทิศทางขนาด 1 KW ซึ่งจากการทดสอบคอนเวอร์เตอร์สามารถทำงานส่งผ่านพลังงานได้สองทิศทาง และมีประสิทธิภาพสูง



## สารบัญ

หน้า

บทคัดย่อ	๗
สารบัญ	๘
สารบัญตาราง	๑
สารบัญภาพ	๒
<b>บทที่ 1 บทนำ</b>	
1.1 ความเป็นมาและความสำคัญของปั้นหยา	1
1.2 วัตถุประสงค์ของงานวิจัย	2
1.3 ขอบเขตของงานวิจัย	2
1.4 ขั้นตอนการดำเนินงาน	2
1.5 ประโยชน์ที่คาดว่าจะได้รับ	3
<b>บทที่ 2 ทฤษฎี</b>	
2.1 Ultracapacitor	4
2.2 วงจรแปลงผันไฟฟาร์กเป็นไฟฟาร์ก	11
2.3 นอตเฟตกำลัง (Power MOSFET)	25
2.4 ไดโอดกำลัง	32
2.5 การควบคุมการทำงานสำหรับคอนเวอร์เตอร์แบบส่องทิศทาง	38
2.6 ตัวควบคุมแบบพีไอ	41
2.7 การ์ดอินเตอร์เฟส DS1104	44
<b>บทที่ 3 การออกแบบงานวิจัย</b>	
3.1 ค้นคว้าและศึกษาข้อมูลที่เกี่ยวข้อง	55
3.2 การออกแบบวงจรกำลังของวงจรดิจิทัลดิจิทัลคอนเวอร์เตอร์	56
3.3 อุปกรณ์ตรวจจับกระแส	59
3.4 วงจรขับนำแกตด้วยไอซีเบอร์ TLP250	60

## สารบัญ (ต่อ)

	หน้า
<b>บทที่ 4 ผลการวิจัยและข้อวิจารณ์</b>	
4.1 การทดสอบการเก็บและคายพลังงานไฟฟ้าของ Ultracapacitor	61
4.2 การจำลองการเก็บและคายพลังงานไฟฟ้าของ Ultracapacitor ด้วยโปรแกรม Pspice	66
4.3 การทดสอบการส่งถ่ายพลังงานจาก Ultracapacitor ผ่านบุกค่อนเวอร์เตอร์ไปยังระบบ	69
4.4 การทดสอบการส่งถ่ายพลังงานจากระบบ ผ่านบุกค่อนเวอร์เตอร์ไปยัง Ultracapacitor	74
<b>บทที่ 5 สรุปผลการวิจัยและข้อเสนอแนะ</b>	
5.1 สรุปผลที่ได้จากการทดลอง	77
5.2 ปัญหาที่พบในงานวิจัย	77
5.3 ข้อเสนอแนะ	77
<b>บรรณานุกรม</b>	78
ภาคผนวก ก. รูปงานวิจัย	79
ภาคผนวก ข. รายการอุปกรณ์ที่ใช้ในงานวิจัย	81
ภาคผนวก ค. บทความวิจัย	83

## สารบัญตาราง

ตารางที่

หน้า

2.1 เปรีบบเทียบคุณสมบัติของแบตเตอรี่กับ Ultracapacitor และคาปาร์เชเตอร์ทั่วไป 7

4.1 คุณสมบัติของ Ultracapacitor

66



## สารบัญภาพ

ภาพที่	หน้า
2.1 โครงสร้างของ Ultracapacitor	6
2.2 Ultracapacitor แบบต่างๆ	6
2.3 การเก็บประจุของชุดเปลอร์ค่าปานิชิเตอร์	7
2.4 วงจรสมมูลของ Ultracapacitor	8
2.5 วงจรทดสอบวัดค่าความต้านทานสมมูลต่อแบบอนุกรม	9
2.6 การนำ Ultracapacitor เป็นแหล่งจ่ายไฟสำรองให้กับหน่วยความจำ	10
2.7 การนำ Ultracapacitor เป็นแหล่งจ่ายไฟให้กับรถไฟฟ้า	10
2.8 หลักการควบคุมวงจรแปลงผันตรงใช้มอสเฟตเป็นสวิตซ์	11
2.9 การควบคุมความกว้างพัลส์	12
2.10 คุณสมบัติบวกตอนเวอร์เตอร์	14
2.11 รูปคลื่นวงจรกระแสต่อเนื่อง	15
2.12 คลื่นกระแส $i_L$ เริ่มไม่ต่อเนื่อง	16
2.13 รูปคลื่นกระแสไม่ต่อเนื่อง	17
2.14 รูปคลื่น $i_C$ และ $V_O$	17
2.15 รูปคลื่นกระแส $i_L$ , $i_S$ และ $i_D$	19
2.16 คุณสมบัติวงจรแปลงผันแบบบูส	20
2.17 รูปคลื่นกระแสไฟลดต่อเนื่อง	21
2.18 รูปคลื่นกระแส $i_L$ เริ่มไม่ต่อเนื่อง	22
2.19 รูปคลื่นกระแสไม่ต่อเนื่อง	23
2.20 รูปคลื่น $i_C$ และ $V_O$	24
2.21 ลักษณะของการกระแสและแรงดันต่อกันร้อมเพาเวอร์มอสเฟตกำลัง	29
2.22 ตัวเก็บประจุแฟรงค์ต่ออยู่ที่ขาต่างๆ ภายในมอสเฟตกำลัง	30
2.23 Gate Charge Chart	31
2.24 ลักษณะการชาร์จประจุที่ขาเกต	32
2.25 การทำงานของไอดีโอด	33
2.26 การขยายคำจำกัดของไอดีโอด	34

## สารบัญภาพ (ต่อ)

ภาพที่	หน้า
2.27 ผลกระทบของช่องอากาศต่อกราฟแสดงความสัมพันธ์ระหว่างความหนาแน่นเส้นแรงแม่เหล็กกับความเข้มสนามแม่เหล็ก	35
2.28 วงจร 2 Quadrant dc to dc converter	38
2.29 วงจรสมมูลขณะทำงานเป็นวงจร Buck dc to dc converter	38
2.30 วงจรสมมูลขณะทำงานเป็นวงจร Boost dc to dc converter	39
2.31 บล็อกไดอะแกรมระบบดิจิทัลคุณภาพอัตโนมัติ 2 ทิศทาง	39
2.32 บล็อกไดอะแกรมของระบบควบคุมคุณภาพอัตโนมัติแบบสองทิศทาง	40
2.33 บล็อกไดอะแกรมของตัวควบคุมแบบพีไอ	41
2.34 ผลตอบสนองต่อฟังก์ชันขั้นบันไดของตัวควบคุมแบบพีไอ	42
2.35 วงจรควบคุมแบบพีไอ	42
2.36 การดัดแปลง dSPACE รุ่น DS1104	45
2.37 บล็อกไดอะแกรมชาร์ดแวร์ของการดัดแปลง dSPACE DS1104	46
2.38 rtilib1104 blocksets	48
2.39 DS1104 Master PPC และ DS1104 SLAVE DSP blocksets	49
3.1 ผังขั้นตอนการดำเนินงาน	54
3.2 บล็อกไดอะแกรมระบบควบคุมคุณภาพอัตโนมัติแบบสองทิศทาง Ultracapacitor	55
3.3 วงจรดิจิทัลคุณภาพอัตโนมัติแบบสองทิศทาง	55
3.4 เทคนิคการทดสอบ LA55-P	59
3.5 วงจรขับเกตด้วย TLP 250	60
4.1 วงจรทดสอบการเก็บพลังงานไฟฟ้าของ Ultracapacitor	61
4.2 สัญญาณแรงดันไฟฟ้า Ultracapacitor ในการเก็บพลังงานไฟฟ้าที่แรงดัน 14 V กระแส 1 A	62
4.3 สัญญาณแรงดันไฟฟ้า Ultracapacitor ในการเก็บพลังงานไฟฟ้าที่แรงดัน 14 V กระแส 2 A 55	62
4.4 สัญญาณแรงดันไฟฟ้า Ultracapacitor ในการเก็บพลังงานไฟฟ้าที่แรงดัน 14 V กระแส 3 A	63
4.5 วงจรทดสอบการคาดคะเนค่าความจุของ Ultracapacitor	64

## สารบัญภาพ (ต่อ)

ภาพที่	หน้า
4.6 ตัวอย่างแรงดันไฟฟ้า Ultracapacitor ในการคายพลังงานไฟฟ้า ที่แรงดัน 14 โวลต์ กระแส 1 แอมป์	64
4.7 ตัวอย่างแรงดันไฟฟ้า Ultracapacitor ในการคายพลังงานไฟฟ้า ที่แรงดัน 14 โวลต์ กระแส 2 แอมป์	65
4.8 ตัวอย่างแรงดันไฟฟ้า Ultracapacitor ในการคายพลังงานไฟฟ้า ที่แรงดัน 14 โวลต์ กระแส 3 แอมป์	66
4.9 Ultracapacitor รุ่นพร้อมแบงวงจร Cell balance จำนวน 6 เซลล์	67
4.10 วงจรจำลองทดสอบการคายประจุของ Ultra Capacitor	67
4.11 ตัวอย่างแรงดันและกระแสของ Ultracapacitor ในการคายประจุ ที่แรงดัน 13.5 โวลต์ กระแส 1 แอมป์	68
4.12 ตัวอย่างแรงดันและกระแสของ Ultra Capacitor ในการคายประจุ ที่แรงดัน 13.5 โวลต์ กระแส 2 แอมป์	68
4.13 ตัวอย่างแรงดันและกระแสของ Ultracapacitor ในการคายประจุ ที่แรงดัน 13.5 โวลต์ กระแส 3 แอมป์	69
4.14 การทดสอบการจ่ายพลังงานออกจาก Ultracapacitor	69
4.15 ตัวอย่างคำสั่งสวิตช์ (CH1: 5V/div) และตัวอย่างกระแสตัวเหนี่ยวนำ ผ่านเซนเซอร์ (CH2: 10A/div)	70
4.16 วงจรการวัดหาค่าประสิทธิภาพของแหล่งจ่ายไฟที่ค่ากระแสเอาต์พุตค่าต่างๆ	71
4.17 กราฟความสัมพันธ์ระหว่างประสิทธิภาพกับกระแสเอาต์พุตขณะคายพลังงาน	71
4.18 วงจรต่อใช้งานชุดเปลอร์ค่าป่าชีเตอร์ผ่านวงจรบูสต์เตอร์จ่าย Step load	72
4.19 ตัวอย่างแรงดันผ่านเซนเซอร์ (CH1: 25V/div) และกระแสผ่านเซนเซอร์ (CH2: 10A/div) เมื่อจ่ายโหลด 100 % ทันทีแบบถูกปีด	72
4.20 ตัวอย่างแรงดันผ่านเซนเซอร์ (CH1: 25V/div) และกระแสผ่านเซนเซอร์ (CH2: 10A/div) เมื่อจ่ายโหลด 100 % ทันทีแบบถูกปีด	73
4.21 ตัวอย่างแรงดันผ่านเซนเซอร์ (CH1: 25V/div) และกระแสผ่านเซนเซอร์ (CH2: 10A/div) เมื่อจ่ายโหลดที่ 25 % และเพิ่มโหลดเป็น 100 % แบบถูกปีด	73
4.22 ตัวอย่างแรงดันผ่านเซนเซอร์ (CH1: 25V/div) และกระแสผ่านเซนเซอร์ (CH2: 10A/div) กระแสเมื่อจ่ายโหลดที่ 25 % และเพิ่มโหลดเป็น 100 % แบบถูกปีด	74

## สารบัญภาพ (ต่อ)

ภาพที่	หน้า
4.23 การทดสอบการจ่ายพลังงานเข้าสู่ Ultracapacitor	74
4.24 สัญญาณคำสั่งสวิตซ์ (CH1: 5V/div) และสัญญาณกระแสตัวหนึ่งช่วงนำผ่านเซนเซอร์ (CH2: 10A/div)	75
4.25 กราฟความลับพื้นที่ระหว่างประสิทธิภาพกับกระแสเอาต์พุตขณะเก็บพลังงาน	75
4.26 กราฟบันทึกผลการทำงานของวงจรประจุและค่าพลังงานไฟฟ้าอุปกรณ์ Ultracapacitor ในช่วงเวลา 1hr/div	76



# บทที่ 1

## บทนำ

ในปัจจุบันนี้ได้มีผลิตพลังงานไฟฟ้าทดแทนมากขึ้นอาทิเช่น จากแสงอาทิตย์ (Solar) และเซลล์เชื้อเพลิง (Fuel cell) เป็นต้น ทั้งนี้เนื่องจากภาวะที่น้ำมันเชื้อเพลิงมีราคาแพงและหมุนไปในอนาคตอันใกล้ โดยพลังงานเหล่านี้เป็นพลังงานสะอาดและไม่มีมลพิษจากการผลิตไฟฟ้า แต่อย่างไรก็ตามการนำพลังงานไฟฟ้าเหล่านี้มาใช้งานในลักษณะของแหล่งจ่ายไฟฟ้าให้กับเครื่องใช้ไฟฟ้า รถไฟฟ้าหรือต่อเข้าระบบส่งจ่ายฟ้า (Grid connected) จะต้องใช้งานร่วมกับชุดคอนเวอเรเตอร์เพื่อยกระดับแรงดันไฟฟ้ากระแสตรงที่ได้จากแหล่งไฟฟ้าทดแทนให้สูงขึ้นมากพอสำหรับการชาร์จให้กับอุปกรณ์เก็บพลังงาน (Energy Storage) และอินเวอร์เตอร์สำหรับแปลงไฟฟ้ากระแสตรงเป็นไฟฟ้ากระแสสลับต่อไป

ดังนั้นอุปกรณ์จัดเก็บพลังงานจึงมีความสำคัญต่อระบบแปลงผันพลังงานไฟฟ้า โดยเบตเตอรี่จัดว่าเป็นอุปกรณ์จัดเก็บพลังงานไฟฟ้า (Energy Storage) ที่ใช้งานกันอยู่มากในปัจจุบันแต่มีข้อด้อยที่ผลตอบสนองในสภาวะไดนามิกที่ซักล่าวคือใช้เวลาการชาร์ตและดิสชาร์ตที่นาน ระยะเวลาใช้งาน (life cycle) ที่น้อย และความสามารถในการจัดเก็บพลังงาน (energy density) ที่ต่ำ ผู้วิจัยจึงได้ค้นคว้าข้อมูลอุปกรณ์จัดเก็บพลังงานไฟฟ้า เพื่อใช้งานกับระบบส่งจ่ายและจัดเก็บพลังงานในรถไฟฟ้า การสำรวจพลังงานที่จากแหล่งจ่ายไฟฟ้าทดแทน ซึ่งอุปกรณ์ Ultracapacitor จัดว่าเป็นอุปกรณ์จัดเก็บพลังงานไฟฟ้าที่ใช้เวลาในการชาร์ตและดิสชาร์ตที่ต่ำ มีพิกัดกระแสแรงดันที่สูง มีพิกัดความสามารถในการจัดเก็บพลังงานที่สูง และมีความสามารถในการลดพิกัดกำลังไฟฟ้าสูงสุดของแหล่งจ่ายกำลังไฟฟ้าหลัก

### 1.1 วัตถุประสงค์ของงานวิจัย

1.1.1 ค้นคว้าข้อมูล Ultracapacitor และค่อนเวอร์เตอร์สำหรับใช้งานกับ Ultracapacitor

1.1.2 ศึกษาคุณลักษณะของ Ultracapacitor เพื่อหาแบบจำลองทางคณิตศาสตร์ด้วยโปรแกรม

Orcad/Pspice

1.1.3 ศึกษาและพัฒนาดีไซน์ที่ดีของอุปกรณ์เวอร์เตอร์สำหรับใช้งานร่วมกับ Ultracapacitor

## 1.2 ขอบเขตของโครงการวิจัย

- 1.2.1 ศึกษาข้อมูลของ Ultracapacitor และความเหมาะสมในการประยุกต์ใช้งาน
- 1.2.2 ศึกษาและสร้างตีชีทูดีซีคอนเวอร์เตอร์ที่เหมาะสมกับการใช้งาน
- 1.2.3 จำลองการทำงานของ Ultracapacitor ร่วมกับชุดตีชีทูดีซีคอนเวอร์เตอร์และแหล่งจ่ายพลังงานไฟฟ้าหลัก
- 1.2.4 สร้างชุดทดสอบการทำงานของ Ultracapacitor ร่วมกับชุดตีชีทูดีซีคอนเวอร์เตอร์และแหล่งจ่ายพลังงานไฟฟ้าหลัก ขนาด 1 kW

## 1.3 ขั้นตอนการดำเนินงาน

- 1.3.1 ศึกษาหลักวิธีการควบคุมคอนเวอร์เตอร์สำหรับ Ultracapacitor
- 1.3.2 จำลองการทำงานของตีชีทูดีซีคอนเวอร์เตอร์และ คุณสมบัติการชาร์จและดิสchar์จของ Ultracapacitor
- 1.2.3 สร้างตีชีทูดีซีคอนเวอร์เตอร์ขนาด 1 kW
- 1.3.4 สร้างโปรแกรมควบคุมการคัดอินเตอร์เฟสรุ่น DS1104 เพื่อเชื่อมโยงข้อมูลผ่านช่องสัญญาณ ADC, DAC, PWM
- 1.3.5 ทดสอบการทำงานของ Ultracapacitor
- 1.3.6 ทดสอบและเก็บผลการทดลองระบบควบคุมคอนเวอร์เตอร์สำหรับ Ultracapacitor เพื่อประยุกต์ใช้งานจัดเก็บพลังงานไฟฟ้า
- 1.3.7 เปรียบเทียบคุณลักษณะต่างๆ เช่น กระแส แรงดัน สภาพแวดล้อม มิก และประสิทธิภาพ เป็นต้น
- 1.3.8 จัดทำรูปเล่ารายงานการวิจัย

## 1.4 ประโยชน์ที่คาดว่าจะได้รับ

- 1.4.1 เมื่องานวิจัยสำเร็จแล้วจะสามารถใช้เป็นเครื่องต้นแบบร่วมกับระบบผลิตไฟฟ้าทดแทนของประเทศไทยอนาคตต่อไป
- 1.4.2 เมื่องานวิจัยสำเร็จแล้วจะสามารถประยุกต์นำไปใช้งานในภาคอุตสาหกรรมรถไฟฟ้าของประเทศไทยอนาคตต่อไป
- 1.4.3 สามารถนำผลงานไปตีพิมพ์บทความวิชาการเพื่อเผยแพร่งานวิจัยเป็นชื่อเดียวให้กับมหาวิทยาลัยได้

1.4.4 สามารถตั้งเสริมการใช้พลังงานทดแทนจากเซลล์แสงอาทิตย์และเซลล์เชื้อเพลิงได้ในอนาคต

1.4.5 ได้จ้างวิจัยด้านอุปกรณ์ Ultracapacitor เพื่อสามารถนำไปใช้กับร่วมกับงานวิจัยอื่นๆได้



## บทที่ 2

### ทฤษฎี

ในการสร้างการออกแบบและพัฒนาระบบควบคุมคอนเวอร์เตอร์สำหรับ Ultracapacitor เพื่อประยุกต์ใช้งานจัดเก็บพลังงานไฟฟ้า จะต้องศึกษาทฤษฎีดังต่อไปนี้

1. Ultracapacitor
2. วงจรคอนเวอร์เตอร์แบบดิจิตอล (DC-DC Converter)
3. อุปกรณ์กำลังของคอนเวอร์เตอร์
4. การควบคุมการทำงานสำหรับคอนเวอร์เตอร์แบบสองทิศทาง
5. ตัวควบคุมแบบพีไอ
6. การ์ดอินเตอร์เฟส DS1104

#### 2.1 Ultracapacitor

คาปาซิเตอร์ คือ อุปกรณ์อิเล็กทรอนิกส์ชนิดหนึ่งที่ทำหน้าที่เก็บประจุไฟฟ้าให้กับวงจร มีการนำไปใช้งานในวงจรกรองแรงดัน วงจรกรองความถี่ ใช้ในการถ่ายทอดสัญญาณ เป็นต้น คาปาซิเตอร์มีค่าที่เรียกว่า ความจุไฟฟ้า (Capacitance) มีหน่วยเป็น ฟารัด (Farad) แต่ว่าหน่วยฟารัดนี้ ใหญ่มากจึงต้องหอนลงมาเป็นหน่วยย่อยที่นิยมใช้ คือ ไมโครฟารัด (Microfarad :  $\mu F$ ) นาโนฟารัด (Nanofarad : nF) และ พิโภฟารัด (Pigofarad : pF) ซึ่งจะถูกพิมพ์ไว้บนตัวเก็บประจุด้วย

การสร้าง Ultracapacitor ขึ้นมา เพื่อต้องการให้เป็นแหล่งจ่ายไฟสำรองให้กับระบบต่างๆ หรืออาจกล่าวได้ว่า ไม่ได้นำมาใช้งานในวงจรทั่วไป แต่จะนำมาใช้งานแทนแบบเดอร์ หรือคาปาซิเตอร์ค่อนมากรา ข้อดีของชูปเบอร์คาปาซิเตอร์นี้คืออายุการใช้งานที่ยาวนานกว่า ไม่มีลักษณะของการลดประจุ เหมือนคาปาซิเตอร์ทั่วไป และไม่เหมือนกับถ่านนิเกิลแคนเดเมียมหรือนิแคนเด ตรงที่อายุการใช้งานของถ่านขึ้นอยู่กับจำนวนครั้งของการชาร์จประจุไฟฟ้า และที่สำคัญไม่มีผลของคิสชาเร็มโนร์เอดเฟกต์ (Discharge Memory Effect)

### 2.1.1 หลักการของ Ultracapacitor

สิ่งที่เหมือนกับคากาป่าซิเตอร์อิเล็กทรอยไลท์หัวไป คือ สร้างขึ้นมาจากการใช้แผ่นอะลูมิเนียมพันเทปคลาสติกม้วนขึ้นมาเป็นคากาป่าซิเตอร์ ซึ่งคากาป่าซิเตอร์นี้เป็นอุปกรณ์ที่สร้างมาจากหลักการของระบบชั้นสนานไฟฟ้าแบบช้อนชั้น (Electric Double Layer) หรืออาจเรียกว่า คากาป่าซิเตอร์แบบอิเล็กทริกดับเบิลเลเยอร์ ซึ่งเราทำการเชื่อมโยงประจุไฟฟ้าด้วยพื้นที่ของสารในรูปแบบของการนำสาร 2 ชนิดที่มีความต่างกันมาทำเป็นอิเล็กโทรด เพื่อให้คากาป่าซิเตอร์ดังกล่าว สามารถเกิดประจุได้มาก เก็บประจุได้นาน โดยวัสดุอย่างที่บรรจุไว้ในชุดเปลอร์คากาป่าซิเตอร์ คือแอ็คคิวต คาร์บอนและน้ำยาที่เป็นตัวอิเล็กทรอยไลท์ ซึ่งทำมาจากการดัดแปลงพิเศษเพื่อให้เกิดความชุ่มของเนื้อคาร์บอน ทำให้เกิดสนานไฟฟ้าที่ทำให้เกิดประจุบวกขึ้นทางข้างหนึ่งส่วนอีกด้านก็จะเป็นประจุลบ โดยการถือว่าขึ้นที่เป็นการบันจะให้ค่าประจุปฏิริยาเป็นบวกในขณะที่อีกขึ้นที่เป็นอิเล็กทรอยไลท์ เป็นค่าประจุปฏิริยาลบ

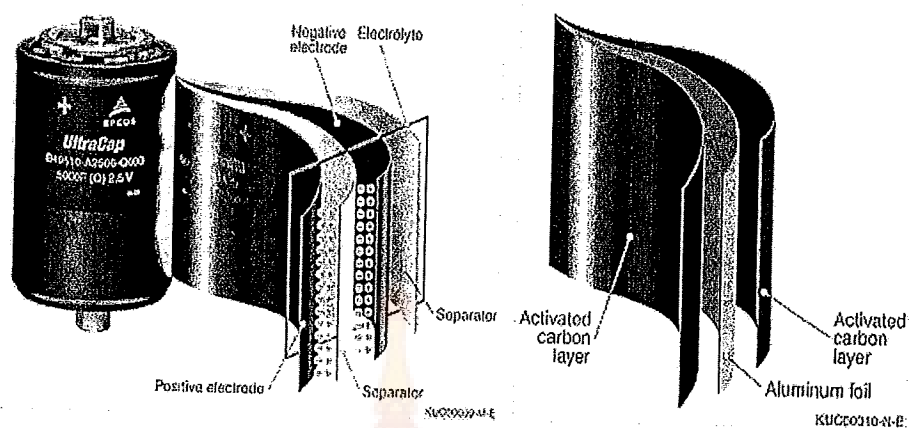
ค่าความจุไฟฟ้าในคากาป่าซิเตอร์เท่ากับอัตราส่วนระหว่างประจุไฟฟ้าที่คากาป่าซิเตอร์เก็บได้ต่อแรงดันไฟฟ้าต่อกันคือคากาป่าซิเตอร์นั้น เก็บเป็นสมการ ได้ดังนี้

$$C = \frac{Q}{V} = \varepsilon \frac{A}{d} \quad (2.1)$$

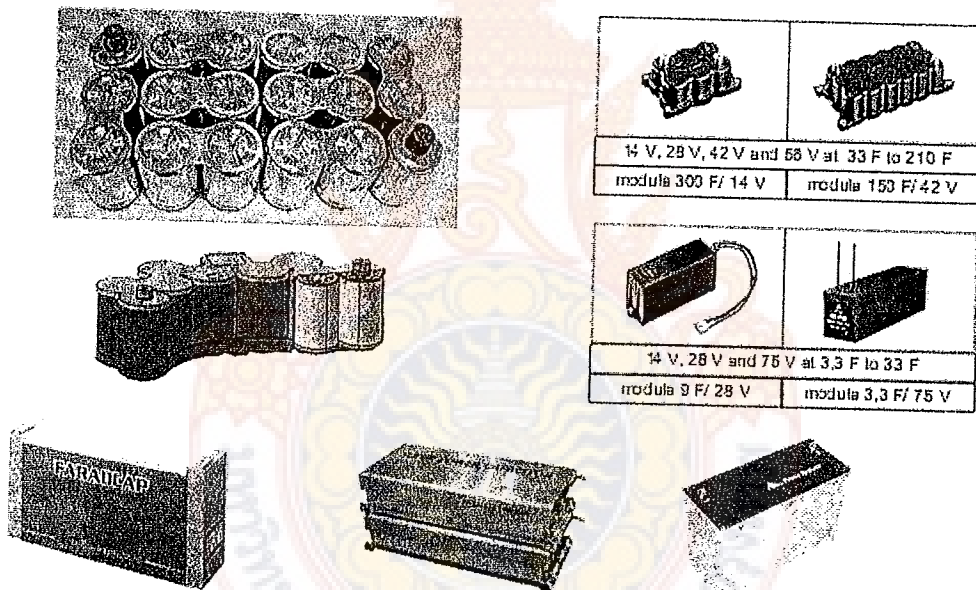
ค่าพลังงานที่ได้ใช้ในการให้ประจุสะสมในตัวเก็บประจุนี้มีพลังงานศักย์ไฟฟ้า  $E$

$$E = \frac{1}{2} CV^2 \quad (2.2)$$

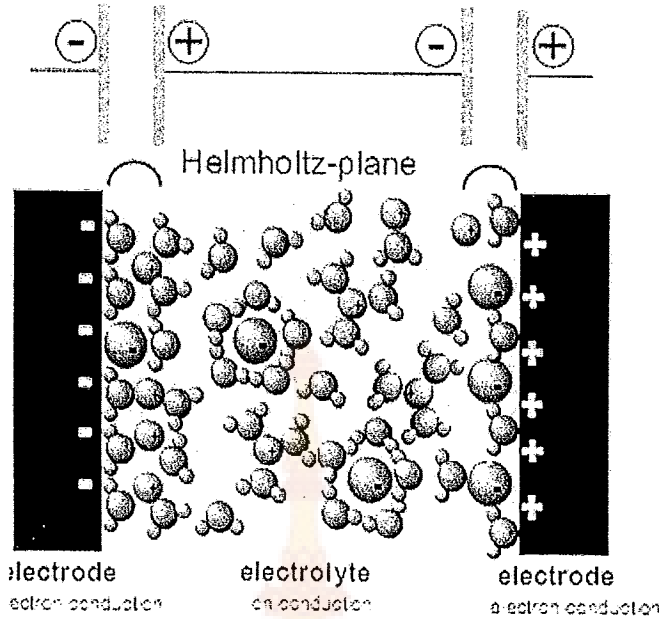
เมื่อ	$C$	คือ ค่าความจุไฟฟ้า ( $F$ )
	$Q$	คือ ค่าประจุไฟฟ้า ( $C/V$ )
	$V$	คือ แรงดันไฟฟ้า ( $V$ )
	$\varepsilon$	คือ ค่าคงที่ไดอิเล็กตริก
	$A$	คือ พื้นที่หน้าตัดของตัวนำ ( $m^2$ )
	$d$	คือ ระยะห่างของตัวนำ ( $m$ )
	$E$	คือ พลังงานศักย์ไฟฟ้า ( $W$ )



ภาพที่ 2.1 โครงสร้างของ Ultracapacitor



ภาพที่ 2.2 Ultracapacitor แบบต่างๆ



ภาพที่ 2.3 การเก็บประจุของ Ultracapacitor

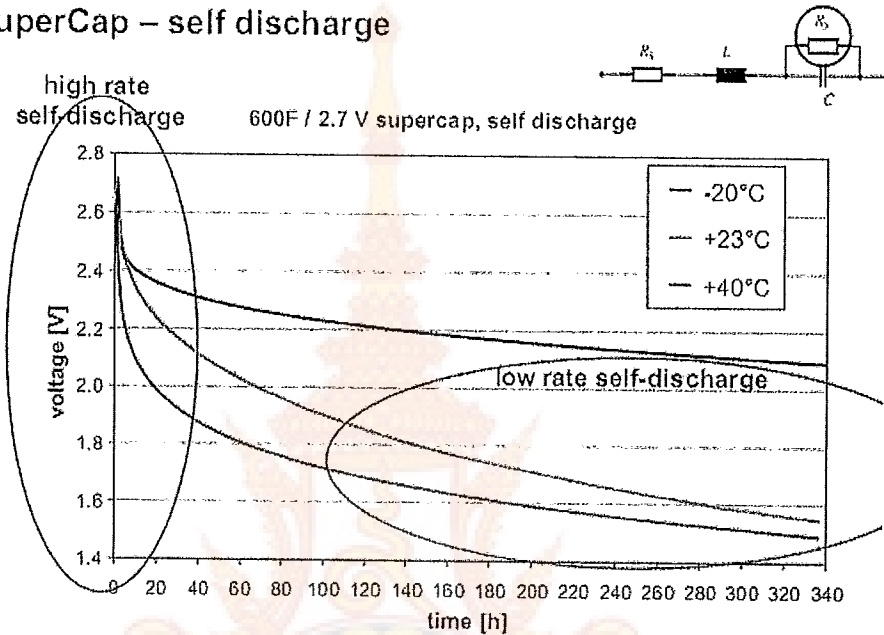
ตารางที่ 2.1 เปรียบเทียบคุณสมบัติของแบตเตอรี่กับ Ultracapacitor และ capacitor ทั่วไป

Available Performance	Lead Acid Battery	Super Capacitor	Conventional Capacitor
Charge Time	1 – 5 hrs	0.3 – 30 s	$10^{-3} – 10^{-6}$ s
Discharge Time	0.3 – 3 hrs	0.3 – 30 s	$10^{-3} – 10^{-6}$ s
Energy (Wh/g)	10 – 100	1 – 10	< 0.1
Cycle Life	1000	< 500000	< 500000
Specific Power (Wh/g)	< 1000	< 10000	< 100000
Charge/Discharge Efficiency	0.7 – 0.85	0.85 – 0.98	> 0.95

### 2.1.2 วงจรสมมูลของ Ultracapacitor

วงจรสมมูลอย่างง่ายของ Ultracapacitor สามารถแสดงด้วยความต้านสมมูลต่ออนุกรม (*ESR*) และความต้านทานสมมูลต่อแบบขนาน (*EPR*). *ESR* เป็นการจำลองความต้านทานภายในของชุดเปลอร์ค่าปานิชเตอร์ ซึ่งความต้านทานนี้มีผลต่อระหว่างการเก็บและจ่ายพลังงานไฟฟ้า. *EPR* เป็นการจำลองกระแสรั่วไหลในชุดเปลอร์ค่าปานิชเตอร์มีผลต่อระยะเวลาในการเก็บพลังงาน.

**SuperCap – self discharge**



ภาพที่ 2.4 วงจรสมมูลของ Ultracapacitor

การหาค่าความต้านทานสมมูลต่อแบบขนานหาได้จากสมการ

$$EPR = \frac{-t}{\ln\left(\frac{V_2}{V_1}\right)C} \quad (2.3)$$

เมื่อ  $EPR$  คือ ความต้านทานสมมูลต่อแบบขนาน

$t$  คือ เวลา (s)

$V_1$  คือ แรงดันไฟฟ้าเริ่มต้น (V)

$V_2$  คือ แรงดันไฟฟ้าสูงสุด (V)

$C$  คือ ค่าความจุไฟฟ้า (F)

การหาค่าความต้านทานสมมูลต่อแบบอนุกรมได้จากสมการ

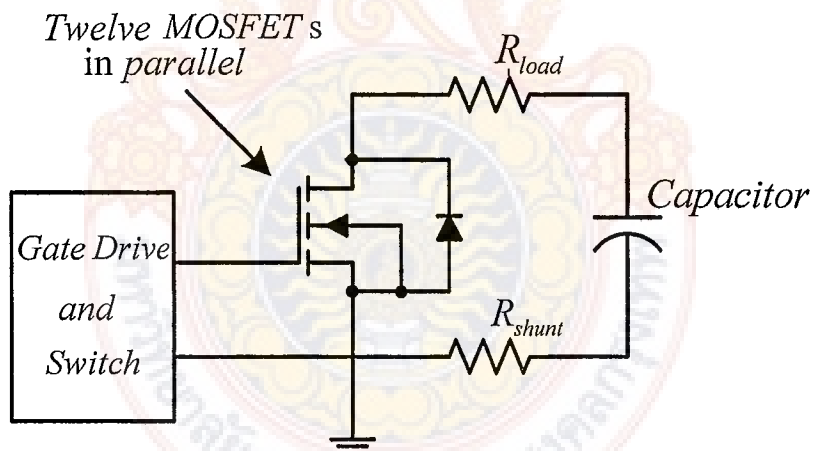
$$ESR = \frac{\Delta V}{\Delta I} \quad (2.4)$$

- เมื่อ  $ESR$  คือ ความต้านทานสมมูลต่อแบบอนุกรม  
 $\Delta V$  คือ ผลต่างของแรงดัน  
 $\Delta I$  คือ ผลต่างของกระแส

การหากำลังไฟฟ้าของคาป่าซิเตอร์ได้จากสมการ

$$P = \frac{V^2}{4 \times ESR} \quad (2.5)$$

- เมื่อ  $P$  คือ กำลังไฟฟ้าของคาป่าซิเตอร์ ( $W$ )  
 $V$  คือ แรงดันไฟฟ้า ( $V$ )

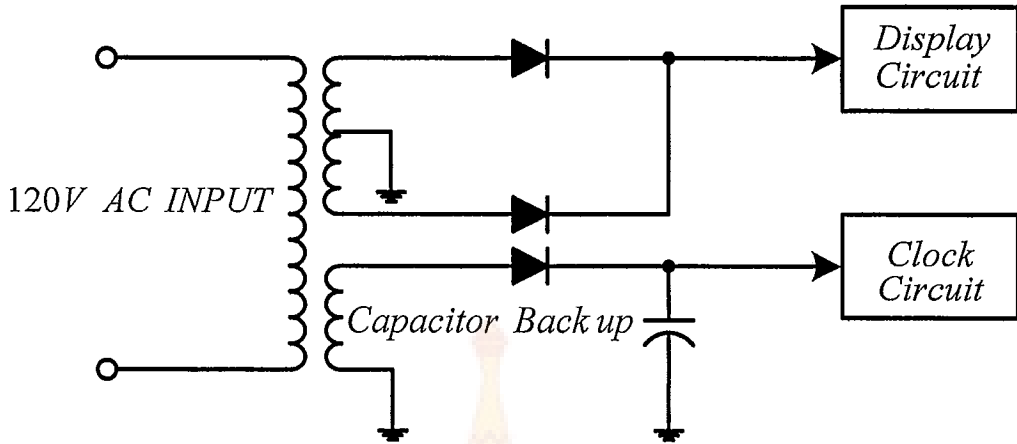


ภาพที่ 2.5 วงจรทดสอบวัดค่าความต้านทานสมมูลต่อแบบอนุกรม

### 2.1.3 การประยุกต์ใช้ Ultracapacitor

#### 2.1.3.1 หน่วยความจำ

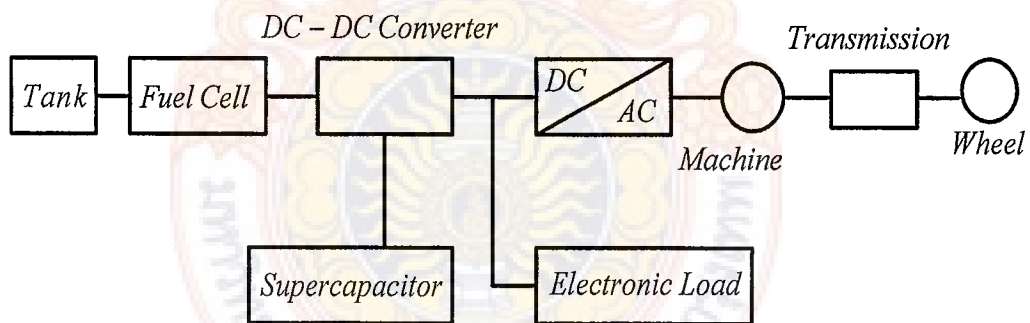
ใช้ชุดปะเปลี่ยนคาป่าซิเตอร์ในการเป็นแหล่งจ่ายไฟสำรองให้กับหน่วยความจำ



ภาพที่ 2.6 การนำ Ultracapacitor เป็นแหล่งจ่ายไฟสำรองให้กับหน่วยความจำ

### 2.1.3.2 รถไฟฟ้า

ใช้ Ultracapacitor ในการเป็นแหล่งจ่ายไฟให้กับรถไฟฟ้า เมื่อต้องการกำลังไฟฟ้าสูงๆ ในช่วงระยะเวลาสั้นๆ ผสมผสานกันกับแหล่งจ่ายไฟฟ้าหลัก



ภาพที่ 2.7 การนำ Ultracapacitor เป็นแหล่งจ่ายไฟให้กับรถไฟฟ้า

## 2.2 วงจรแปลงผันไฟตรงเป็นไฟตรง

วงจรแปลงผันไฟตรงเป็นไฟตรง หรือคิชชีทูดีซีคอนเวอร์เตอร์ คือวงจรที่ทำหน้าที่เปลี่ยนแรงดันไฟฟ้ากระแสสลับจากแหล่งจ่ายไฟฟ้าที่มีค่าคงที่ให้ได้แรงดันเอาท์พุตไฟฟ้ากระแสสลับที่สามารถปรับค่าแรงดันได้ตามที่โหลดต้องการ การปรับค่าแรงดันไฟฟ้าจะใช้วิธีการปิดและปิดสวิตช์อิเล็กทรอนิกส์สลับกันอย่างต่อเนื่อง คิชชีทูดีซีคอนเวอร์เตอร์มีหลายแบบขึ้นอยู่กับลักษณะการจัดวงจรภายใน

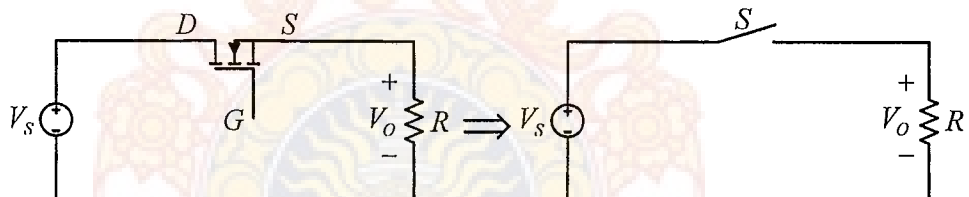
การเลือกใช้คิชชีคอนเวอร์เตอร์แบบใดมีข้อควรพิจารณาจากลักษณะพื้นฐานของคิชชีคอนเวอร์เตอร์ แต่ละแบบตามลักษณะการแยกกันทางไฟฟ้าระหว่างอินพุตกับเอาต์พุตของคิชชีคอนเวอร์เตอร์ วงจรแปลงผันตรงแบ่งตามคุณสมบัติของวงจรได้ 3 ประเภท คือ

1. วงจรลดค่าแรงดัน เป็นวงจรที่แรงดันเอาต์พุตมีค่าต่ำกว่าแรงดันอินพุตเสมอ ได้แก่วงจรแปลงผันตรงแบบบัก (Buck Converter)

2. วงจรเพิ่มค่าแรงดัน เป็นวงจรที่แรงดันเอาต์พุตมีค่าสูงกว่าแรงดันอินพุตเสมอ ได้แก่วงจรแปลงผันแบบบูส (Boost Converter)

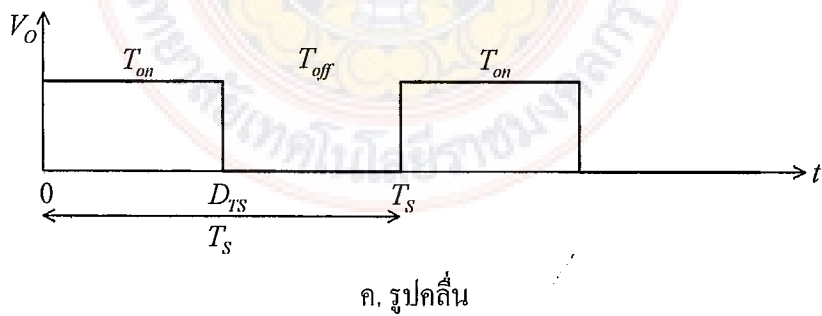
3. วงจรลด-เพิ่มค่าแรงดัน เป็นวงจรที่สามารถควบคุมให้แรงดันเอาต์พุตมีค่าต่ำกว่าหรือสูงกว่าแรงดันอินพุตได้ ได้แก่วงจรแปลงผันบัก-บูส (Buck-Boost Converter) วงจรแปลงผันแบบชูก (Cuk Converter)

### 2.2.1 หลักการควบคุมวงจรแปลงผันไฟตรงเป็นไฟตรง



ก. วงจรที่ใช้มอสเฟตเป็นสวิตช์

ข. วงจรสามมูล



ภาพที่ 2.8 หลักการควบคุมวงจรแปลงผันตรงใช้มอสเฟตเป็นสวิตช์

ขณะท่านซิสเตอร์ร์นำกระแสจะได้  $V_O = V_S$  เรียกช่วงเวลาที่นี้ว่า  $T_{on}$  ขณะมอตส์เฟดหยุดนำกระแสจะได้  $V_O = 0$  เรียกช่วงเวลาที่นี้ว่า  $T_{off}$

$$T_s = T_{on} + T_{off}, \quad T_s = \frac{1}{f_s} \quad (2.6)$$

เมื่อ  $T_s$  คือ คาบเวลาของการสวิตช์ (Switching Time Period)

$f_s$  คือ ความถี่การสวิตช์ (Switching Frequency)

$$D = \frac{T_{on}}{T_s}, \quad T_{on} = DT_s \quad (2.7)$$

เมื่อ  $D$  คือ ค่าภูมิจักรหน้าที่ (Duty Cycle)

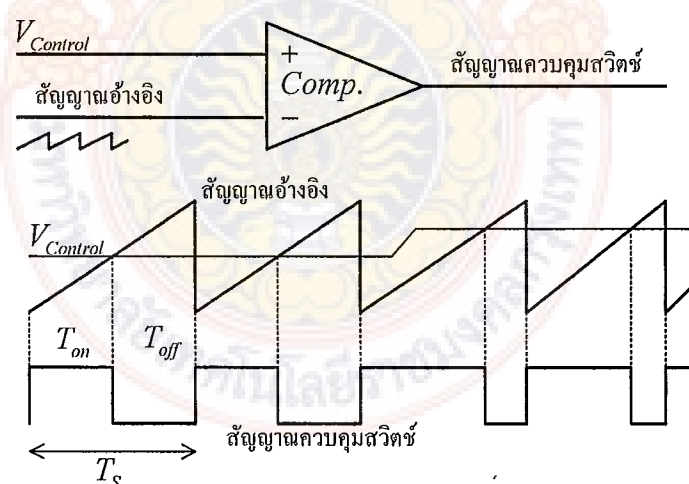
$$D' = \frac{T_{off}}{T_s} = \frac{T_s - T_{on}}{T_s} = 1 - D, \quad T_{off} = (1 - D)T_s \quad (2.8)$$

## 2.2.2 วิธีการควบคุมสวิตช์

1. ควบคุมความกว้างของพัลส์ (ช่วง  $T_{on}$ ) โดยค่าความถี่ ( $f_s$ ) มีค่าคงที่เรียกวิธีการควบคุมแบบนี้ว่า การมอดูเลตความกว้างพัลส์ (Pulse-width Modulation; PWM)

2. เปลี่ยนค่าความถี่ ( $f_s$ ) เรียกวิธีการควบคุมแบบนี้ว่า การมอดูเลตความถี่ (Frequency Modulation; FM)

3. ควบคุมโดยวิธีที่ 1 และ 2 พร้อมกัน การควบคุมโดยวิธีเปลี่ยนค่าความถี่ เป็นวิธีการที่ไม่นิยมใช้งาน เพราะการออกแบบวงจรยุ่งยาก ในที่นี้จะกล่าวถึงเฉพาะการควบคุมความกว้างของพัลส์เท่านั้น



ภาพที่ 2.9 การควบคุมความกว้างพัลส์

จากภาพที่ 2.9 สัญญาณควบคุมสูตรชี้ได้จากการนำค่าแรงดัน  $V_{Control}$  เปรียบเทียบกับสัญญาณอ้างอิงที่เป็นภาพฟันเลื่อย (Sawtooth)

ถ้า  $V_{Control} > Sawtooth$  จะได้สัญญาณควบคุมสูตรชี้เป็นบวก

ถ้า  $V_{Control} < Sawtooth$  จะได้สัญญาณควบคุมสูตรชี้เป็นศูนย์

นำสัญญาณควบคุมสูตรชี้ไปจ่ายให้กับขาเกตของมอเตอร์ สามารถควบคุมความกว้างของพัลส์ได้ โดยการเปลี่ยนระดับแรงดัน  $V_{Control}$

วงจรแปลงผันไฟตรงเป็นไฟตรง จะทำงานใน 2 แบบวิธี (Mode) คือ

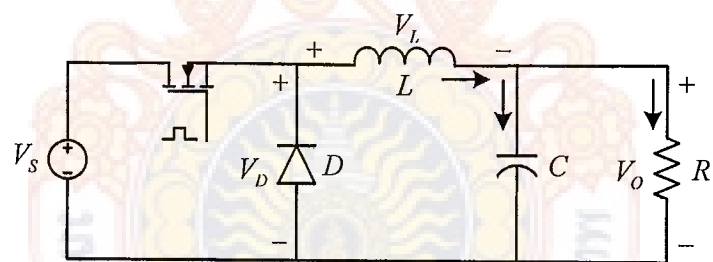
- กรณีกระแสต่อเนื่อง (Continuous Current Mode)

- กรณีกระแสไม่ต่อเนื่อง (Discontinuous Current Mode)

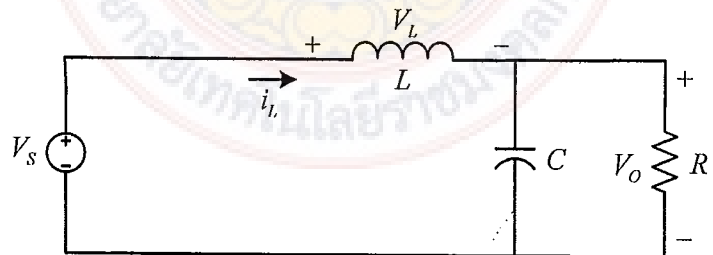
การทำงานในแต่ละแบบวิธี จะทำให้คุณสมบัติของวงจรไม่เหมือนกัน (ที่ที่เป็นวงจรเดียวกัน)  
ดังนั้นการศึกษาคุณสมบัติของวงจรแปลงผันไฟตรงเป็นไฟตรง จะต้องพิจารณา กันทั้งกรณีกระแสต่อเนื่องและกรณีกระแสไม่ต่อเนื่อง

### 2.2.3 บักคอนเวอร์เตอร์ (Buck Converter)

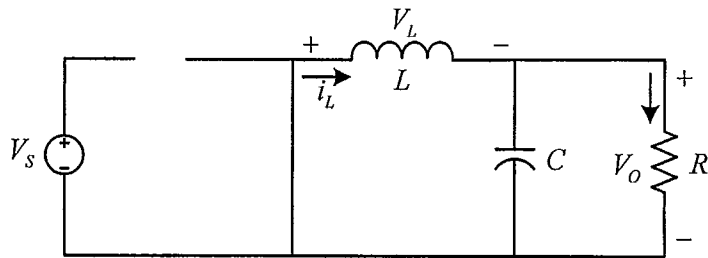
บักคอนเวอร์เตอร์เป็นวงจรลดระดับแรงดัน ดังนั้นแรงดันเอาต์พุตจะมีค่าต่ำกว่าแรงดันอินพุต ลักษณะวงจรบักแสดงดังภาพที่ 2.3



ก. วงจรบัก



ข. วงจรบักในช่วง  $T_{on}$

ค. วงจรบักกินช่วง  $T_{off}$ 

ภาพที่ 2.10 คุณสมบัติบักกอนแวร์เตอร์

วงจรบักประกอบด้วย 2 ส่วน คือ วงจรชอปเปอร์ (Chopper) และวงจรกรอง วงจรชอปเปอร์ประกอบด้วยมอสเฟตและไดโอด โดยมอสเฟตทำหน้าที่เป็นสวิตซ์ ไดโอดเป็นทางผ่านของกระแส  $i_L$  ขณะมอสเฟตตัดวงจร ส่วนวงจรกรองเป็นวงจรกรองแบบความถี่ต่ำผ่าน (Low-pass Filter)

ขณะมอสเฟตต่อวงจรแรงดัน  $V_D = V_s$  ไดโอดหยุดนำกระแสเนื่องจากไดร์บีบแอกซ์ย้อนกลับ ขณะมอสเฟตตัดวงจร ไดโอดนำกระแสเป็นทางผ่านของกระแส  $i_L$  ทำให้แรงดัน  $V_D = 0$  ลักษณะเป็นรูปคลื่นแรงดัน  $V_D$  แสดงดังภาพที่ 2.3 ข. อนุกรมฟูเรียร์ของแรงดัน  $V_D$  ประกอบด้วย ส่วนที่เป็นไฟตรังหรือค่าเฉลี่ย โดยมีค่าเท่ากับ  $V_o$  (ค่าเฉลี่ยของแรงดันเอาท์พุต) ส่วนที่เป็นเทอมไฟสลับประกอบด้วยหาร์มอนิกที่ความถี่การสวิตซ์ ( $f_s$ ) และความความถี่  $2f_s, 3f_s, 4f_s, \dots$  วงจรกรอง  $LC$  เป็นวงจรอันดับที่ 2 โดยความถี่ตัด (Cut-off Frequency) มีสมการเป็น

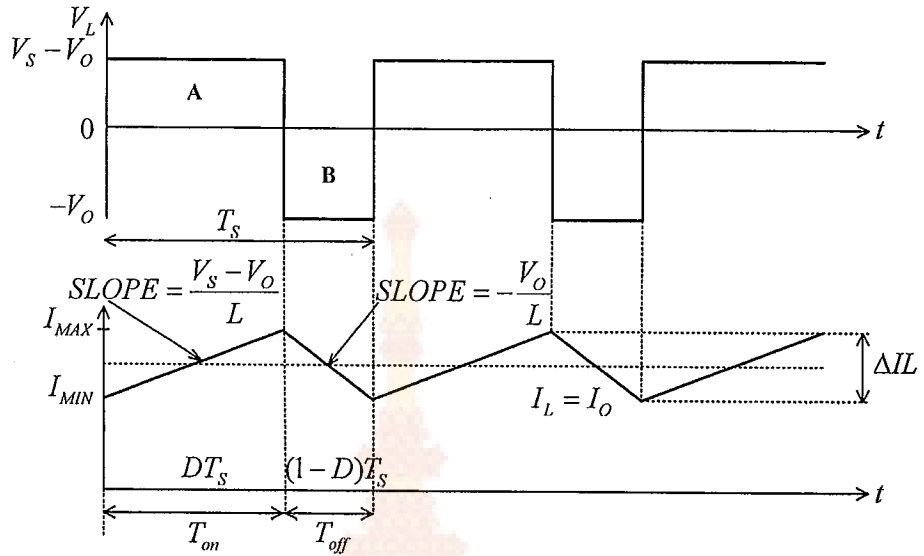
$$f_C = \frac{1}{2\pi\sqrt{LC}} \quad (2.9)$$

วงจรกรองทำหน้าที่กรองเทอมที่เป็นไฟสลับของแรงดัน  $V_D$  (เพื่อกรองความถี่  $f_s, 2f_s, 3f_s, \dots$ ) ดังนี้ในการออกแบบวงจรจะต้องให้ความถี่ตัดของวงจรกรองมีค่าต่ำกว่าความถี่การสวิตซ์มากๆ  $f_C \ll f_s$

การวิเคราะห์วงจรแบลนไไฟฟ้ากระแสตรงแบบบัก จะกำหนดให้ตัวเก็บประจุ ( $C$ ) มีค่าสูงพอที่จะทำให้แรงดันเอาท์พุตมีค่าคงที่

2.2.3.1 คุณสมบัติของวงจรกรณีกระแสต่อเนื่อง กรณีกระแสต่อเนื่องหมายถึง กระแสไฟหล่อผ่านตัวหนีบวนา ( $i_L$ ) มีค่าเป็นบวกเพียงครั้งเดียว ไม่ลดลงเป็นศูนย์ จะเกิดขึ้นเมื่อ

$$L > \frac{(1-D)R}{2f_s} \quad (2.10)$$



ภาพที่ 2.11 รูปคลื่นวงจรกระแสต่อเนื่อง

ในช่วง  $T_{on}$  เป็นช่วงที่มอสเฟตต่อวงจรจะได้  $V_L = V_s - V_o$  ตัวหนีบวนา  $L$  รับพลังงานกระแส  $i_L$  มีค่าเพิ่มขึ้นเป็นเส้นตรง

$$\text{ความชัน(Slope)} = \frac{\Delta I_L}{\Delta t} = -\frac{V_s - V_o}{L} \quad (2.11)$$

ในช่วง  $T_{off}$  เป็นช่วงที่มอสเฟตตัดวงจร จะได้  $V_L = -V_o$  ตัวหนีบวนา  $L$  จ่ายพลังงานกระแส  $i_L$  มีค่าลดลงเป็นเส้นตรง

$$\text{ความชัน(Slope)} = \frac{\Delta I_L}{\Delta t} = -\frac{-V_o}{L} \quad (2.12)$$

จากคุณสมบัติตัวหนีบวนา ( $L$ )

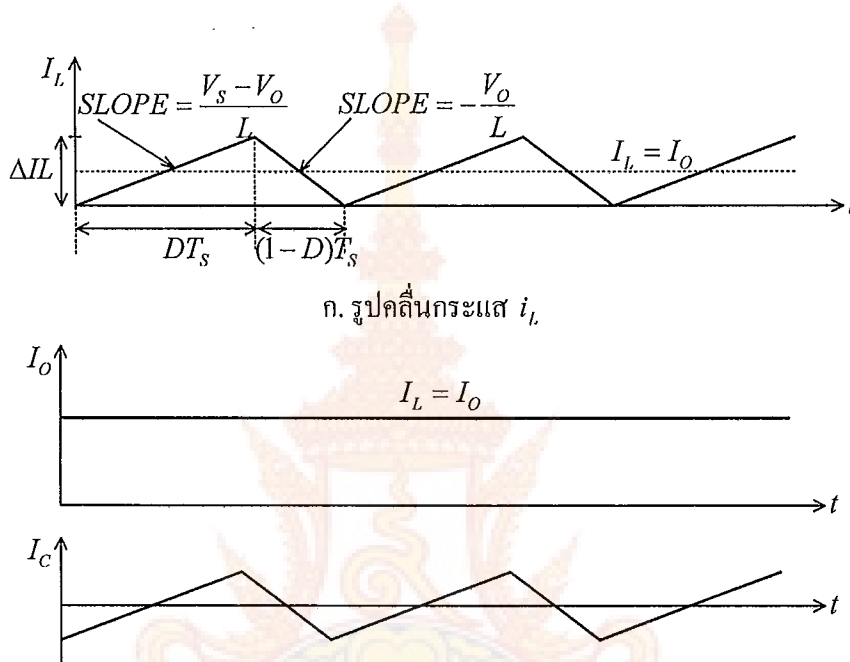
โวลต์-วินาที ขณะรับพลังงาน = โวลต์-วินาที ขณะจ่ายพลังงาน

จากภาพที่ 2.11 พื้นที่ A = พื้นที่ B

$$\begin{aligned} DT_s(V_s - V_o) &= (1-D)T_sV_o \\ DV_s - DV_o &= V_o - DV_o \\ V_o &= DV_s \\ \frac{V_o}{V_s} &= D \end{aligned} \quad (2.13)$$

จากสมการ (2.13) ถ้าแรงดันแหล่งจ่ายมีค่าคงที่ แรงดันเอาต์พุต  $V_o$  จะเปรียบัณฑิตตรงกับวัฏจักรหน้าที่ (Duty Cycle; D) โดยไม่ขึ้นอยู่กับค่าอุปกรณ์ในวงจร

2.2.3.2 จุดแบ่งระหว่างการทำงานแบบกระแสต่อเนื่องกับไม่ต่อเนื่อง จุดแบ่งระหว่างการทำงานแบบกระแสต่อเนื่องกับไม่ต่อเนื่อง คือตำแหน่งที่ค่าต่ำสุดของค่ากระแส  $i_L$  ( $i_{min}$ ) ลดลงเป็นศูนย์เมื่อครบ 1 คาบเวลา



ข. รูปคลื่น  $i_L$  แยกเป็น  $i_O$  กับ  $i_C$   
ภาพที่ 2.12 คลื่นกระแส  $i_L$  เริ่มไม่ต่อเนื่อง

กระแสที่ไหลผ่านตัวต้านทาน ( $i_O$ ) และกระแสที่ไหลผ่านตัวเก็บประจุ ( $i_C$ ) กระแสที่ไหลผ่านตัวต้านทานจะมีค่าคงที่ (เนื่องจากแรงดันเอาต์พุตคงที่) มีค่าเท่ากับค่าเฉลี่ยของกระแส  $i_L$

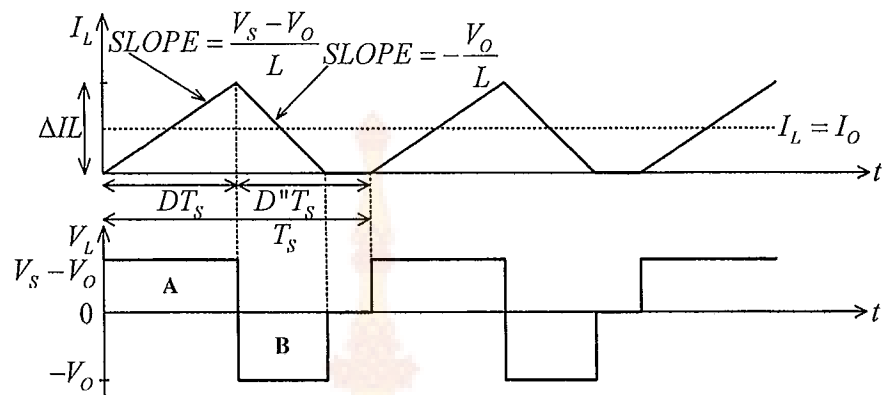
กระแสที่ไหลผ่านตัวเก็บประจุ เป็นไฟฟ้ากระแสสลับรูปสามเหลี่ยมมีค่าเป็นศูนย์ (เป็นไปตามหลักการ Amp-Sec Balance ของตัวเก็บประจุ) กระแสส่วนนี้คือค่าระลอกคลื่นของกระแส  $i_L$  ดังนั้นจุดแบ่งระหว่างการทำงานแบบกระแสต่อเนื่องกับกระแสไม่ต่อเนื่อง คือ

$$\text{ถ้า } L > \frac{(1-D)R}{2f_s} \text{ เป็นกรณีกระแสต่อเนื่อง} \quad (2.14)$$

$$\text{ถ้า } L < \frac{(1-D)R}{2f_s} \text{ เป็นกรณีกระแสไม่ต่อเนื่อง} \quad (2.15)$$

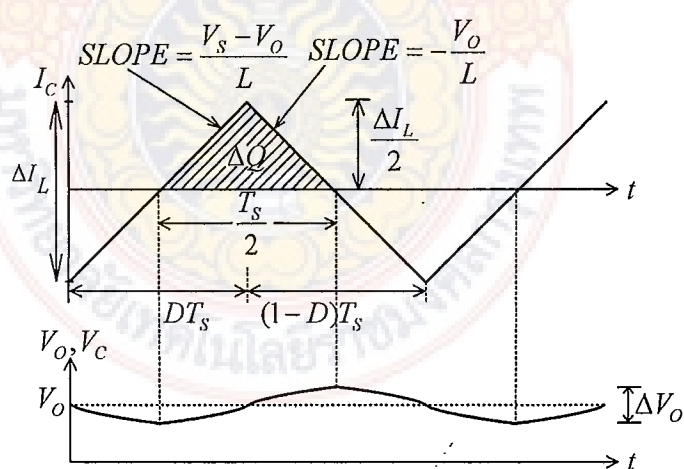
2.1.3.3 คุณสมบัติของวงจรกรณีกระแสไม่ต่อเนื่อง วงจรแปลงผ่านแบบบักจะทำงานเป็นแบบกระแสไม่ต่อเนื่อง เมื่อ  $L < \frac{(1-D)R}{2f_s}$  เป็นกรณีที่กระแส มีค่าทั้งเป็นบวกและศูนย์

ดังภาพที่ 2.13



ภาพที่ 2.13 รูปคลื่นกรณีกระแสไม่ต่อเนื่อง

2.2.3.4 ค่าระลอกคลื่นของแรงดันอาต์พุต ( $\Delta V_o$ ) พิจารณากระแสต่อเนื่องกระแสไฟล์ผ่านตัวเก็บประจุ  $i_C$  แสดงดังภาพที่ 2.14 ที่ได้กราฟของรูปคลื่นกระแส  $i_C$  คือค่าประจุไฟฟ้า (Charge) ขณะกระแส  $i_C$  เป็นบวก เป็นช่วงที่  $C$  ได้รับประจุ ทำให้แรงดัน  $V_o$  มีค่าเพิ่มขึ้น ขณะกระแส  $i_C$  เป็นลบ เป็นช่วงที่  $C$  ขายประจุ ทำให้แรงดัน  $V_o$  มีค่าลดลง



ภาพที่ 2.14 รูปคลื่น  $i_C$  และ  $V_o$

2.2.3.5 การออกแบบบักคอนเวอร์เตอร์ วงจรแปลงผันไฟตรงเป็นไฟตรงส่วนมากจะใช้งานในช่วงกระแสต่อเนื่อง ดังนั้นในการออกแบบวงจรจะใช้คุณสมบัติกรณีกระแสต่อเนื่องมาออกแบบ วงจรแปลงผันแบบบัก กระแสจะต่อเนื่องเมื่อตัวเหนี่ยวนำมีค่าต่ำสุดตามสมการ

$$L_{\min} = \frac{(1-D)R}{2f_s} \quad (2.16)$$

เมื่อ  $L_{\min}$  คือค่าความเหนี่ยวนำต่ำสุดที่บังคับทำให้กระแสไหลต่อเนื่อง

ความถี่การสวิตช์ ( $f_s$ ) จะมีผลกับขนาดก้นอุปกรณ์ที่ใช้ในวงจร ถ้าความถี่การสวิตช์มีค่าสูง ตัวเหนี่ยวนำ และตัวเก็บประจุ ที่ใช้ในวงจรจะมีขนาดเด็กลง แต่ค่ากำลังศูนย์เสียในการสวิตช์จะสูงขึ้น ทำให้ประสิทธิภาพของวงจรลดลง โดยปกติความถี่การสวิตช์นิยมใช้งานในช่วง 20 kHz ถึง 50 kHz

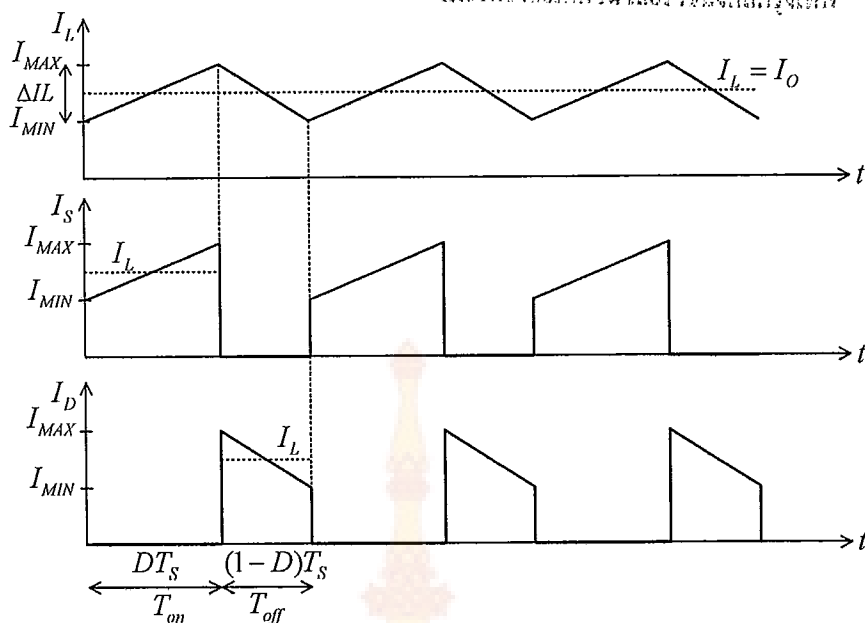
ตัวเหนี่ยวนำ ( $L$ ) จะมีผลกับระลอกคลื่นของกระแส ( $\Delta I_L$ ) การหาขนาดของตัวเหนี่ยวนำ หาได้โดยการพิจารณาจากรูปคลื่นกระแส  $i_L$  คาดว่าตัวเหนี่ยวนำต้องทนกระแสมากกว่ากระแส  $I_{L,rms}$

ตัวเก็บประจุ ( $C$ ) จะมีผลกับระลอกคลื่นของแรงดันเร่งดันเอาต์พุต ( $\Delta V_O$ ) การหาขนาดของตัวเก็บประจุ อาจหาได้จากสมการ 2.17

$$C = \frac{\Delta I_L}{8f_s \Delta V_O} \quad (2.17)$$

ตัวเก็บประจุต้องทนแรงดันได้ไม่ต่ำกว่าค่าแรงดัน  $V_O$

พิมพ์โดยบ้านพิมพ์แห่งประเทศไทย  
สำนักพิมพ์มหาวิทยาลัยเทคโนโลยีราชมงคลรัตนโกสินทร์



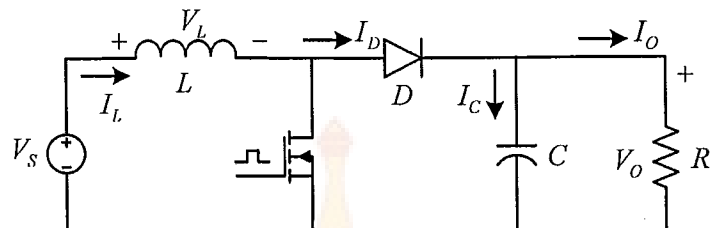
ภาพที่ 2.15 รูปคลื่นกระแส  $i_L$ ,  $i_S$  และ  $i_D$

พิกัดแรงดันของอุปกรณ์ที่ใช้เป็นสวิตช์และไดโอด พิจารณาจากค่าแรงดันต่อกคร่อมสูงสุด  
ขณะหยุดนำกระแส จะได้ว่าอุปกรณ์ที่ใช้เป็นสวิตช์และไดโอดต้องทนแรงดันได้ไม่ต่ำกว่า  $V_S$   
พิกัดกระแสของอุปกรณ์ที่เป็นสวิตช์และไดโอด พิจารณาจากรูปคลื่น  $i_S$  และ  $i_D$

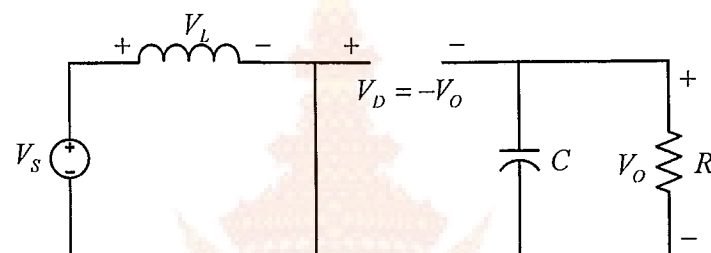
- ค่ากระแสสูงสุดที่อุปกรณ์สวิตช์และไดโอดต้องทนได้คือ  $i_{max}$
- ค่ากระแสเฉลี่ยที่อุปกรณ์สวิตช์ต้องทนได้คือ  $i_S$
- ค่ากระแสเฉลี่ยที่ไดโอดต้องทนได้คือ  $i_D$

### 2.2.4 บูสต์คอนเวอร์เตอร์ (Boost Converter)

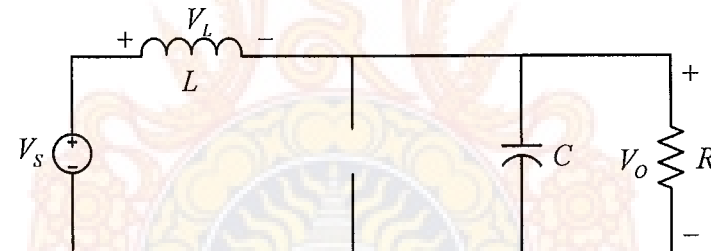
บูสต์คอนเวอร์เตอร์เป็นวงจรเพิ่มแรงดัน ดังนี้แรงดันเอาต์พุตจะมีค่าสูงกว่าแรงดันอินพุต ลักษณะของวงจรบูสต์แสดงดังภาพที่ 2.16



ก. วงจรบูสต์



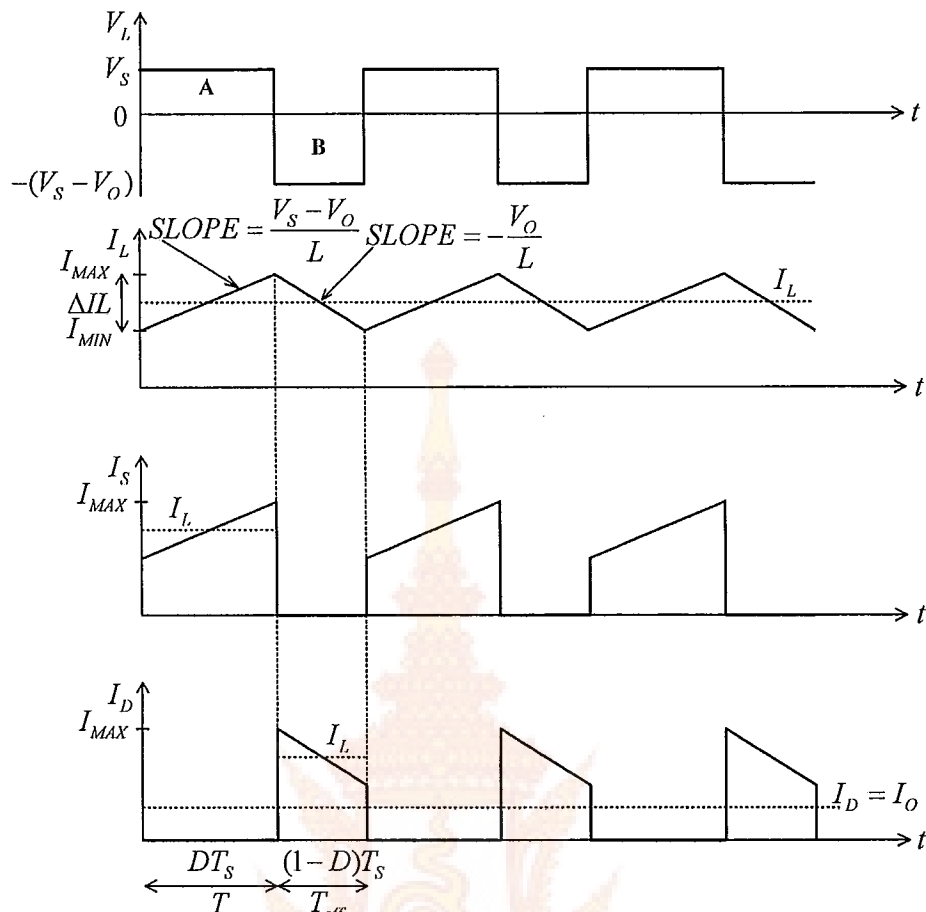
ข. วงจรบูสต์ในช่วง  $T_{on}$



ค. วงจรบูสต์ในช่วง  $T_{off}$

ภาพที่ 2.16 คุณสมบัติวงจรแปลงผันแบบบูสต์

2.2.4.1 คุณสมบัติวงจรกรณีกระแสต่อเนื่อง กระแสไฟลั่นผ่านตัวเหนี่ยวนำ ( $i_L$ ) จะต่อเนื่อง เมื่อ  $L > \frac{D(1-D)^2 R}{2f_S}$  ลักษณะรูปคลื่นแสดงดังภาพที่ 2.17



ขณะช่วง  $T_{on}$

$$V_L = V_S$$

ความชัน (Slope) ของกระแส  $i_L = \frac{\Delta I_L}{\Delta t} = \frac{-V_L}{L} = \frac{V_S}{L}$

ขณะช่วง  $T_{off}$

$$V_S - V_O = -(V_O - V_S)$$

ความชัน (Slope) ของกระแส  $i_L = \frac{\Delta I_L}{\Delta t} = \frac{V_L}{L}$

จากภาพที่ 2.18 พื้นที่ A = พื้นที่ B

$$V_S D T_s = (V_0 - V_S)(1 - D)T_s$$

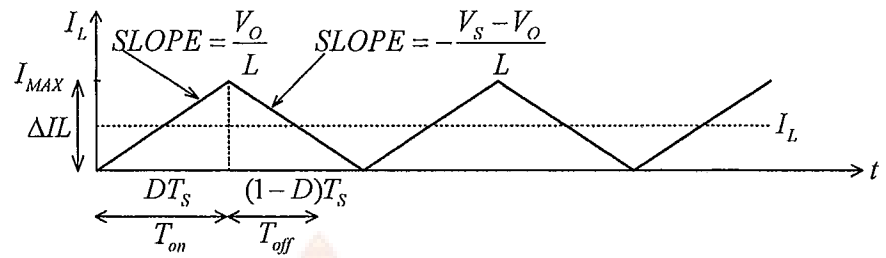
$$V_S D = V_0(1 - D) - V_S(1 - D)$$

$$V_S = V_0(1 - D)$$

$$\frac{V_0}{V_S} = \frac{1}{1 - D}$$

(2.18)

### 2.2.4.2 จุดแบ่งระหว่างการทำงานแบบกระแสต่อเนื่องกับไม่ต่อเนื่อง



ภาพที่ 2.18 รูปคลื่นกระแส  $i_L$  เริ่มไม่ต่อเนื่อง

พิจารณาช่วง  $T_{on}$

$$\frac{\Delta I_L}{\Delta t} = \frac{V_s DT_s}{L}$$

$$I_L = \frac{\Delta I_L}{2} = \frac{V_s DT_s}{2L}, V_s = V_0(1-D)$$

$$I_L = \frac{V_o T_s}{2L} D(1-D) \quad (2.19)$$

จากวงจรภาพที่ 2.18

จากรูปคลื่นภาพที่ 2.19

$$I_D = I_O = \frac{V_o}{R}$$

$$I_D = \frac{I_L (1-D) T_s}{T_s} = (1-D) I_L$$

$$I_L = \frac{V_o}{(1-D) R} \quad (2.20)$$

จากสมการ (2.19) และ (2.20)

$$\frac{V_o}{(1-D) R} = \frac{V_o T_s}{2L} D(1-D)$$

$$L = \frac{D(1-D)^2 R}{2 f_s}$$

ดังนั้นจุดแบ่งระหว่างการทำงานแบบกระแสต่อเนื่องกับกระแสไม่ต่อเนื่อง คือตำแหน่งที่

$$L = \frac{D(1-D)^2 R}{2 f_s} \text{ เรียก } L \text{ ค่าที่ว่า } L_{min}$$

$$L_{min} = \frac{D(1-D)^2 R}{2 f_s} \quad (2.21)$$

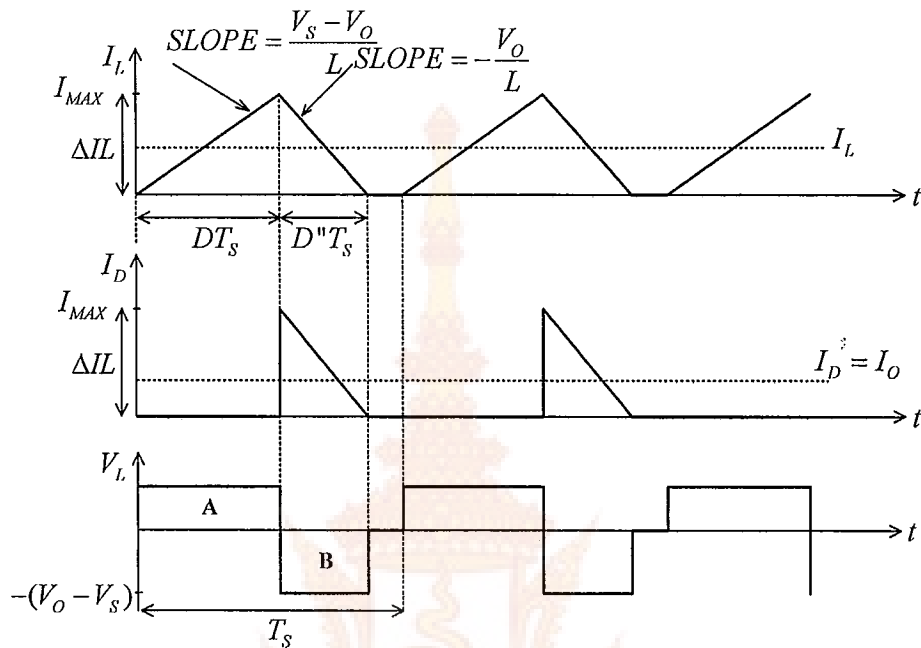
เมื่อ  $L_{min}$  คือค่าความหนาที่ยานำต่ำสุดที่ยังคงทำให้กระแสไหลต่อเนื่อง

$$\text{ถ้า } L > \frac{D(1-D)^2 R}{2 f_s} \text{ เป็นกระแสต่อเนื่อง} \quad (2.22)$$

$$\text{ถ้า } L < \frac{D(1-D)^2 R}{2f_s} \text{ เป็นกรณีกระแสไม่ต่อเนื่อง} \quad (2.23)$$

2.1.4.3 คุณสมบัติของกระแสไม่ต่อเนื่อง วงจรแบล็คพันแบบบูรณาการ

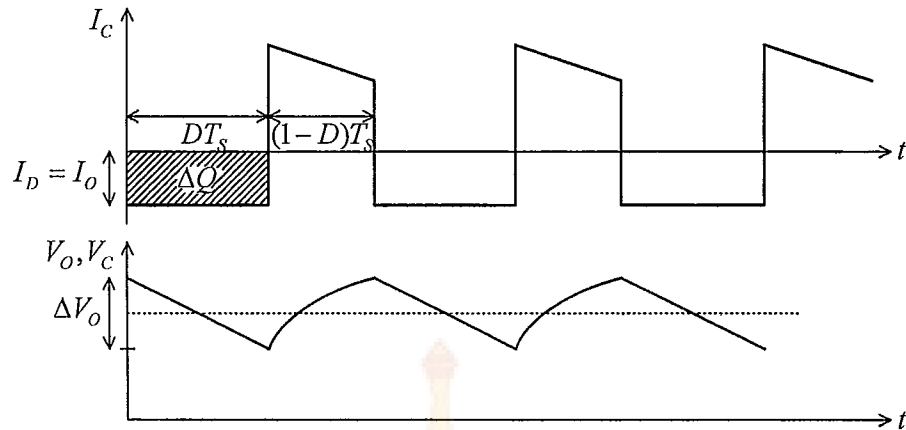
เป็นแบบกระแสไม่ต่อเนื่อง เมื่อ  $L < \frac{D(1-D)^2 R}{2f_s}$  มีลักษณะรูปคลื่นดังภาพที่ 2.19



ภาพที่ 2.19 รูปคลื่นกระแสไม่ต่อเนื่อง

2.2.4.3 ค่าระลอกคลื่นของแรงดันเอาต์พุต ( $\Delta V_o$ ) กระแสไฟฟ้าผ่านตัวเก็บประจุ กึ่งคือค่าระลอกคลื่นของกระแสที่มีค่าเฉลี่ยเป็นศูนย์ ดังภาพที่ 2.20

$$\Delta V_o = \frac{V_o D T_s}{R C f_s} \quad (1.24)$$



ภาพที่ 2.20 รูปคลื่น  $i_C$  และ  $V_O$

2.1.4.5 การออกแบบวงจรแบบบุส การออกแบบจะใช้คุณสมบัติกรณีกระแสต่อเนื่อง เช่นเดียวกับวงจรบัก ซึ่งเป็นกรณีที่  $L > L_{\min}$  โดย  $L_{\min}$

การหาขนาดของตัวเหนี่ยวนำ ( $L$ ) หาได้โดยการพิจารณาจากรูปคลื่นกระแส  $i_L$  ขนาดของตัวเก็บประจุ ( $C$ )

พิกัดแรงดันของตัวเก็บประจุจะต้องไม่ต่ำกว่าค่าแรงดัน  $V_O$  ค่าพิกัดแรงดันของอุปกรณ์ที่เป็นสวิตช์และไดโอดต้องไม่ต่ำกว่าค่าแรงดัน  $V_O$

พิกัดกระแสสูงสุดของอุปกรณ์ที่เป็นสวิตช์และไดโอด ต้องไม่ต่ำกว่า  $I_{\max} = I_L + \frac{\Delta I_L}{2}$

พิกัดกระแสเฉลี่ยของอุปกรณ์ที่เป็นสวิตช์ต้องไม่ต่ำกว่า  $D I_L$

พิกัดกระแสเฉลี่ยของไดโอด ต้องไม่ต่ำกว่า  $I_O$

ความสัมพันธ์ระหว่างกระแส  $I_L$  กับ  $I_O$  พิจารณาได้จากรูปคลื่นกระแส  $I_D, I_L = \frac{I_O}{1-D}$

## 2.3 มอสเฟตกำลัง (Power MOSFET)

มอสเฟตกำลังเป็นอุปกรณ์ที่ควบคุมด้วยแรงดันและต้องการกระแสอินพุตที่มีค่าต่ำนี้ ความสามารถเป็นสวิตช์ที่มีความเร็วสูงและเวลาในการสวิตช์ที่มีความเร็วสูงและเวลาในการสวิตช์ที่ต่ำอยู่ในระดับนาโนวินาที จึงถูกนำมาใช้งานด้านอิเล็กทรอนิกส์กำลังมากขึ้น และมีแนวโน้มที่จะเข้ามาแทนที่ของซิลิคอนไดออกซิเดอร์ ด้วยความแตกต่าง ทางพลิกส์และโครงสร้างทำให้มอสเฟตกำลัง ไม่มีปัญหาในเรื่องแรงดันพังทลายแบบที่สอง (Secondary Breakdown) เหมือนที่ของซิลิคอนไดออกซิเดอร์ แต่อย่างไรก็ตามมอสเฟตกำลังยังมีจุดอ่อน ในเรื่องที่เกี่ยวกับไฟฟ้าสถิต การเก็บรักษา และมอสเฟตกำลังที่มีข่ายตามท้องตลาดยังมีอัตราทานกำลังต่ำอยู่เมื่อเทียบกับอุปกรณ์สวิตช์ประเภทอื่นๆ แต่มีแนวโน้มที่จะได้รับการพัฒนามากขึ้น

### 2.3.1 คุณลักษณะของกระแสและแรงดัน

มอสเฟตกำลังมี 3 ขาเช่นเดียวกับอุปกรณ์ชนิดอื่น โดยมีขาเกตเป็นขาที่ควบคุมกระแสที่ข้าวอาต์พุตเดรนและชอร์ส ข้าวชอร์สเป็นขัวร่วมระหว่างอินพุตและอาต์พุตของมอสเฟต คุณลักษณะสมบัติที่ง่ายๆ ของอาต์พุตกระแสเดรน  $I_D$  จะขึ้นอยู่กับค่าแรงดันระหว่างเดรนและชอร์ส  $V_{DS}$  กับแรงดันที่เกตและชอร์ส  $V_{GS}$  ในการประยุกต์ใช้งานมอสเฟตกำลัง จะทำหน้าที่มีคุณลักษณะในย่านคตอฟ (Cut Off Region) ผ่านย่านแอคติฟ (Active Region) และย่านเชิงเส้น (Ohmic Region) มอสเฟตกำลังจะทำงานในลักษณะคตอฟ เมื่อแรงดันระหว่างขาเกตและชอร์สต่ำกว่าแรงดันแทรสโอล  $V_{GS,th}$  ปกติมอสเฟตกำลังโดยทั่วไปจะมีค่าไม่นานัก ซึ่งจะให้ลักษณะเหมือนเยิดวงจรทำให้แรงดันที่เดรนและชอร์สต้องไม่เกินค่าแรงดันพังทลาย  $BV_{DSS}$  และมีค่ากำลังไฟฟ้าไม่เกินกว่าที่พิจารณาได้ เพราะถ้าเกินจะทำให้มอสเฟตกำลังเกิดความเสียหายได้

เมื่อแรงดันที่เกตและชอร์สมีค่ามากพอที่จะทำให้การทำงานของ มอสเฟตกำลังอยู่ในย่านเชิงเส้น ในขณะที่แรงดันระหว่างขาเดรนและชอร์สมีค่าต่ำ ในย่านนี้จะมีค่ากำลังไฟฟ้าเกิดขึ้นที่มอสเฟตค่อนข้างมาก โดยมอสเฟตจะทำงานในย่านเมื่อ

$$V_{GS} - V_{GS,th} > V_{DS} > 0$$

ในย่านแอคติฟกระแสเดรนจะไม่ขึ้นอยู่กับค่าแรงดันระหว่างขาเดรนและชอร์ส แต่จะขึ้นอยู่กับแรงดันระหว่างเกตกับชอร์ส อาจกล่าวได้ว่ากระแสอิ่มตัว ในย่านนี้ค่าของกระแสเดรนสามารถหาได้โดยประมาณจาก

$$I_D = K[V_{GS} - V_{GS,th}]^2 \quad (2.25)$$

โดยที่ย่าน K เป็นค่าคงที่ซึ่งขึ้นอยู่กับคุณลักษณะของตัวอย่าง โครงสร้างของมอสเฟต ที่ช่วงต่อระหว่าง ย่านเชิงเส้นกับย่านแอคตีฟ  $V_{GS} - V_{GS,th} = V_{DS}$  ทำให้กระแสเดренเท่ากับ

$$I_D = KV_{DS}^2 \quad (2.26)$$

### 2.3.2 ข้อจำกัดการทำงานและพื้นที่การทำงาน

2.3.2.1 แรงดันพังทลาย (Breakdown Voltage) มอสเฟตมีอัตราณรงค์น้อย สองค่าคือค่าที่ใช้ได้ไม่เกินค่าแรกเป็นค่าแรงดัน  $V_{GS}$  ค่าที่สองเป็นค่า  $BV_{DSS}$  ค่าแรงดันที่ยอมได้ สูงสุดระหว่างเกตและชอร์ต  $V_{GS}$  เป็นผลจากที่เกตออกไฉไลกว่าพังทลายได้จากสนามไฟฟ้าขนาดใหญ่ ซึ่งโดยทั่วไปการพังทลายของสาร  $SiO_2$  จะมีค่าสนามไฟฟ้าประมาณ 5 ถึง 10 ล้าน  $V/cm$  ดังนั้นถ้าเกตออกไฉไลมีความหนา 1000  $\mu m$  จะสามารถแรงดันระหว่างเกตและชอร์ตได้ประมาณ 50 ถึง 100  $V$  โดยปกติค่าโดยทั่วไปของ  $V_{GS}$  จะอยู่ระหว่าง 20-30  $V$  ซึ่งเป็นค่าที่ได้จากคู่มือที่แสดงค่าที่ปลดล็อกในการใช้งานที่ເเพื่อเอาไว้ป้องกันการพังทลายอย่างถาวรของเกตออกไฉไลในอุปกรณ์ สิ่งที่ต้องระวังอีกอย่างคือผลของไฟฟ้าสถิตย์ที่เกิดขึ้นที่เกตและชอร์ตที่เกิดขึ้นนี้เกิดการแตกและทำให้มอสเฟตกำลังเสียหายได้ ถ้าแรงดันขั่วขณะที่เกตและชอร์ตที่เกินค่าของ  $V_{GS}$  นั้นต้องป้องกันด้วยการต่อซีเนอเริร์ด โอดสองตัวอนุกรมกันแบบกลับขั้วต่อคร่อมที่ขาเกตและชอร์ต โดยที่ค่าแรงดันนี้เนื่องจากต้องน้อยกว่าค่าของ  $V_{GS}$  แรงดันสูงสุดที่ยอมได้ที่ขาเดренกับชอร์ต  $BV_{DSS}$  เป็นค่าแรงดันขนาดใหญ่ของมอสเฟตกำลังที่ไม่ทำให้รอยต่อ PN ที่ขาเดренนั้นเกิดการเสียหายค่าแรงดันพังทลายค่ามากันนี้ ขึ้นอยู่กับโครงสร้างมอสเฟตกำลังในส่วนความยาว แทนกระชายและการโดยปกตินั้นการใช้งานจะต้องระวังค่าแรงดันระหว่างเดренและชอร์ตไม่ให้เกินกว่าอัตราณนี ตามข้อมูลแต่ละตัวของมอสเฟตกำลัง

2.3.2.2 ค่าสูญเสียขณะนำกระแส (On-State Conduction Losses) เมื่อมอสเฟตกำลังมีสภาวะนำกระแสจะเกิดกำลังสูญเสียขึ้นที่มอสเฟตกำลังอันเนื่องมาจากการต้านทานขณะนำกระแสของมอสเฟตกำลังโดยหาได้จากสมการ

$$P_{(ON)} = I_O^2 R_{DS(ON)} \quad (2.27)$$

ค่าความต้านทานสถิตย์ระหว่างเดренและชอร์ตسمีค่าเท่ากับ  $V_{DS} / I_D$  ในแต่ละจุด ส่วน  $R_{DS}$  เป็นค่าความต้านทานไนโตรบิกขณะนำกระแส  $V_{DS} / I_D$  ที่แต่ละจุด ค่าของ  $R_{DS}$  นั้นมีส่วนประกอบของส่องค่าคือความต้านทานที่เซลล์แนกับความต้านทานที่ขึ้นของสารกึ่งตัวนำค่าความต้านทานที่

เกิดขึ้นที่แซลแวนดันน์เกี่ยวกับกับแรงดันเกตกับชอร์ตที่สั่งให้นำกระแสโดยที่จะมีค่าลดลงได้โดยการเพิ่มแรงดัน  $V_{GS}$  แต่ต้องไม่เกินค่ากำหนดค่าความต้านทานขณะนำกระแสจะเพิ่มขึ้นตามอุณหภูมิที่ตัวมอสเฟตกำลังด้วยค่าสัมประสิทธิ์อุณหภูมิที่เป็นบวกทำให้กระแสที่ไหลผ่านมีค่าลดลงในขณะที่อุณหภูมิเพิ่มขึ้น

2.3.3.3 ทรานซิสเตอร์แฟง (Parasitic BJT) มอสเฟตกำลังมีโครงสร้างที่ทำให้เกิดทรานซิสเตอร์แฟง ผลของทรานซิสเตอร์แฟงนี้อาจทำให้เกิดกระแสไฟหล่อผ่านมอสเฟตกำลังได้แม้จะไม่มีแรงดันต่อกันระหว่างเดренและชอร์ตที่เกิด  $V_{GS}$  เลยก็ตาม โดยผ่านทรานซิสเตอร์แฟง ซึ่งสามารถป้องกันเหตุการณ์ดังกล่าวที่มีผลมาจากการต่อเพิ่มໄดโอดเพิ่มกับการทำงานของมอสเฟตกำลัง

2.3.3.4 การพิจารณาผลของการอุณหภูมิ (Thermal Considerations) ในการใช้งาน มอสเฟตกำลังก็เหมือนกับอุปกรณ์สารกึ่งตัวนำประเภทอื่นในเรื่องอุณหภูมิซึ่งเรียกว่าอุณหภูมิ รอยต่อ  $T_j$  ซึ่งต้องเก็บรักษาไม่ให้เกินค่า  $T_{Jmax}$  ในการใช้งานซึ่งโดยทั่วไปได้จากคู่มือหรือใบข้อมูลของอุปกรณ์และท้าทายงานต่างๆ ที่เปลี่ยนแปลงไปเมื่ออุณหภูมิสูงขึ้นซึ่งอาจทำให้เกิดความเสียหายกับมอสเฟตกำลังได้

2.3.3.5 พื้นที่การทำงานที่ปลอดภัย (Safe Operating Area) ในย่านการทำงานที่ปลอดภัยของมอสเฟตกำลัง มีสามตัวแปรที่เกี่ยวข้องในพื้นที่การทำงานที่ปลอดภัยของมอสเฟต กำลังค่ากระแสเดренสูงสุด  $I_{DM}$  ค่าของอุณหภูมิ  $T_j$  ซึ่งครอบคลุมค่าของกำลังไฟฟ้าของมอสเฟตกำลังและค่าแรงดันพังทลาย  $BV_{DSS}$  ในขณะที่นำกระแสและหยุดนำกระแสโดยเป็นขีดจำกัดทางอุณหภูมิสำหรับมอสเฟตกำลังจะไม่มีปรากฏการณ์ “เซกันดารีเบรคดาวน์” แต่จะมีข้อจำกัดของกระแสที่  $V_{DS}$  ต่ำๆ เนื่องจากความต้านทานในขณะทำงานเพิ่มขึ้นสำหรับการทำงานในช่วงสั้นๆ ขอบเขตของพื้นที่การทำงานที่ปลอดภัยจะกว้างขึ้นคือ  $V_{DS}$  และ  $I_D$  มีค่ามากขึ้นนั่นเอง ซึ่งปกติพื้นที่การทำงานที่ปลอดภัยมักจะกำหนดไว้ที่  $T_j = 150^\circ\text{C}$

### 2.3.3 กำลังสูญเสียในรูปความร้อนของมอสเฟตกำลัง

กำลังงานสูญเสียที่เกิดขึ้นในมอสเฟตกำลังขณะทำงานแบ่งได้เป็น 2 ลักษณะ คือ กำลังงานสูญเสียขณะเปลี่ยนสถานะและกำลังงานสูญเสียขณะนำกระแส สำหรับมอสเฟตกำลังมีช่วงเวลาเริ่มน้ำกระแสและช่วงเวลาเริ่มหยุดนำกระแสสั้น เนื่องจากโครงสร้างไม่มีประจุสะสมเกิดขึ้น แต่โดยทั่วไปมอสเฟตกำลังถูกใช้งานที่ความถี่สูง (มากกว่า 50 กิโลเฮิรตซ์) การคิดค่ากำลังงานสูญเสียขณะทำงานจึงต้องนำค่ากำลังงานสูญเสียขณะเปลี่ยนสถานะมาคิดด้วย และเนื่องจาก

ช่วงเวลาเริ่มหยุดนำกระแส ( $T_{off}$ ) กับช่วงเวลาเริ่มน้ำกระแส ( $T_{on}$ ) ของ mosfet กำลังมีค่าใกล้เคียงกันจึงต้องนำมาคิดทั้งสองช่วงเวลา

กำลังงานสูญเสียขณะนำกระแสของ mosfet กำลังมีผลมาจากความต้านทานขณะนำกระแสของ mosfet กำลัง ความต้านทานระหว่างขาเดренกับขาซอร์ต  $R_{DS}$  ขึ้นอยู่กับพิกัดการทำงานของแรงดันไฟฟ้าหากทันแรงดันไฟฟ้าได้สูงก็ยิ่งทำให้ค่าความต้านทานระหว่างขาเดренกับขาซอร์ตมีค่ามากขึ้น และทำให้กำลังสูญเสียขณะนำกระแสมีค่ามากขึ้นด้วย ความต้านทานระหว่างขาเดренกับขาซอร์ต  $R_{DS}$  นอกจากจะขึ้นอยู่กับพิกัดแรงดันแล้วยังต้องพิจารณา率รวมกับอุณหภูมิ เพราะเมื่ออุณหภูมินิ่งขึ้นความต้านทานก็มีค่าสูงขึ้นด้วย ดังนั้นสมการกำลังงานสูญเสียขณะทำงานของ mosfet กำลัง คือ

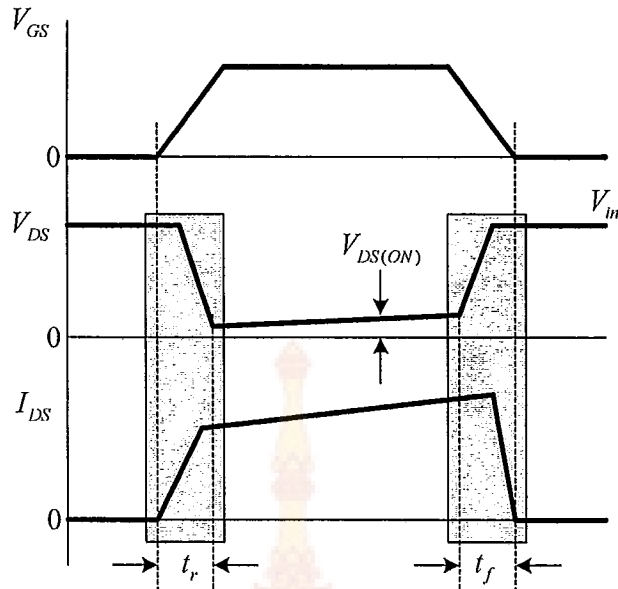
$$P_D = P_{SW(on)} + P_{SW(off)} + P_C \quad (2.28)$$

$$P_{SW(on)} = \frac{0.5 I_{PK(on)} V_{in} \cdot t_r}{T} \quad (2.29)$$

$$P_{SW(off)} = \frac{0.5 I_{PK(off)} V_{in} \cdot t_f}{T} \quad (2.30)$$

$$P_C = I^2 R_{D_{rms}} \times R_{DS(on)}(T_j) \quad (2.31)$$

เมื่อ	$P_{SW(on)}$	คือ กำลังงานสูญเสียขณะเริ่มน้ำกระแสของ mosfet กำลัง
	$P_{SW(off)}$	คือ กำลังงานสูญเสียขณะเริ่มหยุดนำกระแสของ mosfet กำลัง
	$P_C$	คือ กำลังงานสูญเสียขณะนำกระแสของ mosfet กำลัง
	$I_{PK(on)}$	คือ ค่ากระแสสูงสุดขณะเริ่มน้ำกระแส
	$I_{PK(off)}$	คือ ค่ากระแสสูงสุดขณะหยุดนำกระแส
	$I_{D_{rms}}$	คือ ค่ากระแส $Rms$ ที่ให้ผ่าน mosfet กำลังขณะทำงาน
	$R_{DS(on)} T(j)$	คือ ค่าความต้านทานระหว่างขาเดренและขาซอร์ตที่อุณหภูมิร้อยต่อสูงสุดขณะทำงานของ mosfet กำลัง
	$t_r$	คือ ช่วงเวลาเริ่มน้ำกระแสของ mosfet กำลัง (Current rise time )
	$t_f$	คือ ช่วงเวลาเริ่มหยุดนำกระแสของ mosfet กำลัง (Current fall time)



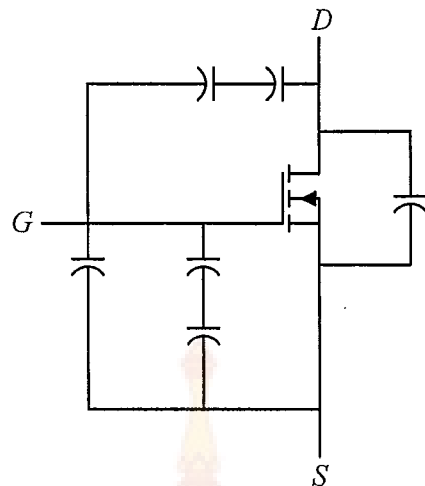
ภาพที่ 2.21 ถักขัณฑ์ของกระแสและแรงดันต่อกลุ่มเพาเวอร์มอสเฟตกำลังเมื่อเริ่มน้ำกระแสและเริ่มหยุดน้ำกระแส ในส่วนที่แรงเป็นส่วนที่เกิดกำลังงานสูญเสียในรูปความร้อนได้สูง

#### 2.2.4 เนื่องไขของวงจรขั้บมอสเฟตกำลัง

การขั้บมอสเฟตกำลังให้น้ำกระแสโดยมีกระแสไฟฟ้าผ่านขาเดренและขาซอร์ตได้กีต่อเมื่อแรงดันต่อกลุ่มที่ขาเกตและขาซอร์ตมีค่าอย่างต่ำเท่ากับค่าแรงดันขีดเริ่ม (Threshold voltage) ซึ่งใช้ค่ากระแสต่ำ ดังนั้นการขั้บมอสเฟตกำลังให้น้ำกระแสจึงไม่ยุ่งยากโดยต้องศึกษาเนื่องไขต่างๆ สำหรับบังคับมอสเฟตกำลังให้ทำงานได้อย่างมีประสิทธิภาพสูงสุด

#### 2.2.5 ความจุไฟฟ้าด้านอินพุต (Input Capacitance)

เนื่องจากถักขัณฑ์โครงสร้างภายในมอสเฟตกำลังจึงเหมือนกับมีตัวเก็บประจุต่ออยู่รอบๆขาต่ำๆดังภาพที่ 2.22

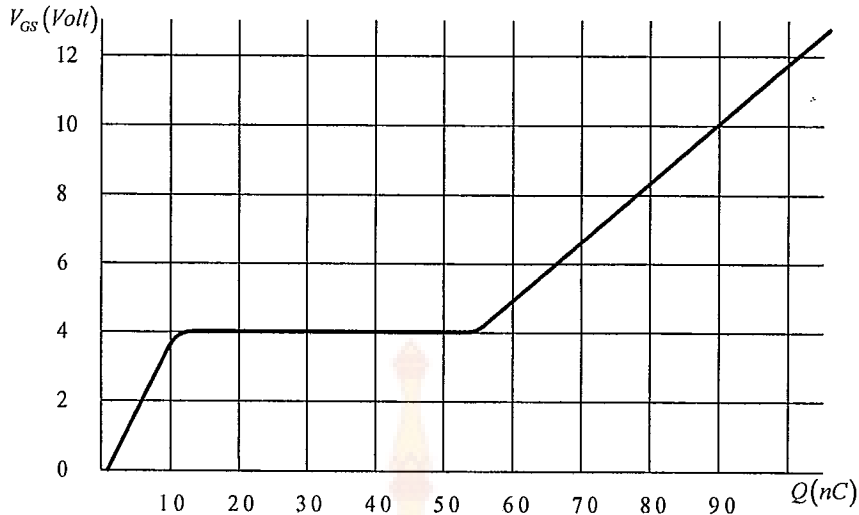


ภาพที่ 2.22 ตัวเก็บประจุແง່ທີ່ຕ່ອງຢູ່ທີ່ຂາຕ່າງໆ ກາຍໃນມອສເຟກໍາລັງ

ตัวเก็บประจุທີ່ຂາຕ່າງໆ ຂອງມອສເຟກໍາລັງຕ້ອງຄູກຫາວົງກ່ອນເພື່ອໃຫ້ແຮງດັນຕກຄ່ອມທີ່ຂາເກຕ  $V_{GS}$  ມີຄ່າເພີ່ມຂຶ້ນຈຶ່ງຄ່າແຮງດັນນີ້ດີເຮັນ ມອສເຟກໍາລັງຈຶ່ງເຮັນນຳກະແສໃນທາງກລັບກັນກາຮ່າຍຸດ ນຳກະແສຂອງມອສເຟກໍາລັງຕ້ອງທຳໄໝໃຫ້ຕັ້ງຕັ້ງປະຕິບັດກໍາລັງທີ່ຕ່ອງຢູ່ທີ່ຂາເກຕ  $V_{GS}$  ມີຄ່າລົດລົງຕໍ່ກ່າວ່າຄ່າແຮງດັນນີ້ດີເຮັນມອສເຟກໍາລັງຈຶ່ງຫຍຸດນຳກະແສ ໂດຍທ່ວ່າໄປແລ້ວຄ່າຄວາມຈຸຂອງ ຕັ້ງຕັ້ງປະຕິບັດກໍາລັງເປັນຕົວກໍາຫນຄວາມເຮົວໃນກາຮ່າຍສະຫະຂອງມອສເຟກໍາລັງແຕ່ລະ ຜົນດ

#### 2.2.6 ກາຍກຳຫນດເວລາໃນກາຮ່າຍສະຫະ

ເວລາໃນກາຮ່າຍສະຫະຂອງມອສເຟກໍາລັງເປັນຂຶ້ນຢູ່ກັບ Gate Charge Chart ແຮງດັນ  $V_{GS}$  ທີ່ເພີ່ມຂຶ້ນໃນຂະໜາດທີ່ຄ່າປະຈຸສະສົມທີ່ຂາເກຕເພີ່ມຂຶ້ນ ດັ່ງແຕ່ງໃນກາພີ່ 2.23 ຜູ້ຜູ້ພົລິຕິຈະໄຫ້ Gate Charge Chart ມາໃນຈຳນວຍຄຸນລັກນະຂອງມອສເຟກໍາລັງແຕ່ລະ ຜົນດ ເພື່ອນຳນາມໃຊ້ໃນກາຮ່າຍຄໍາກະແສໄປແລ້ວສາເກຕແລະເວລາໃນກາຮ່າຍສະຫະຂອງມອສເຟກໍາລັງ



ภาพที่ 2.23 Gate Charge Chart

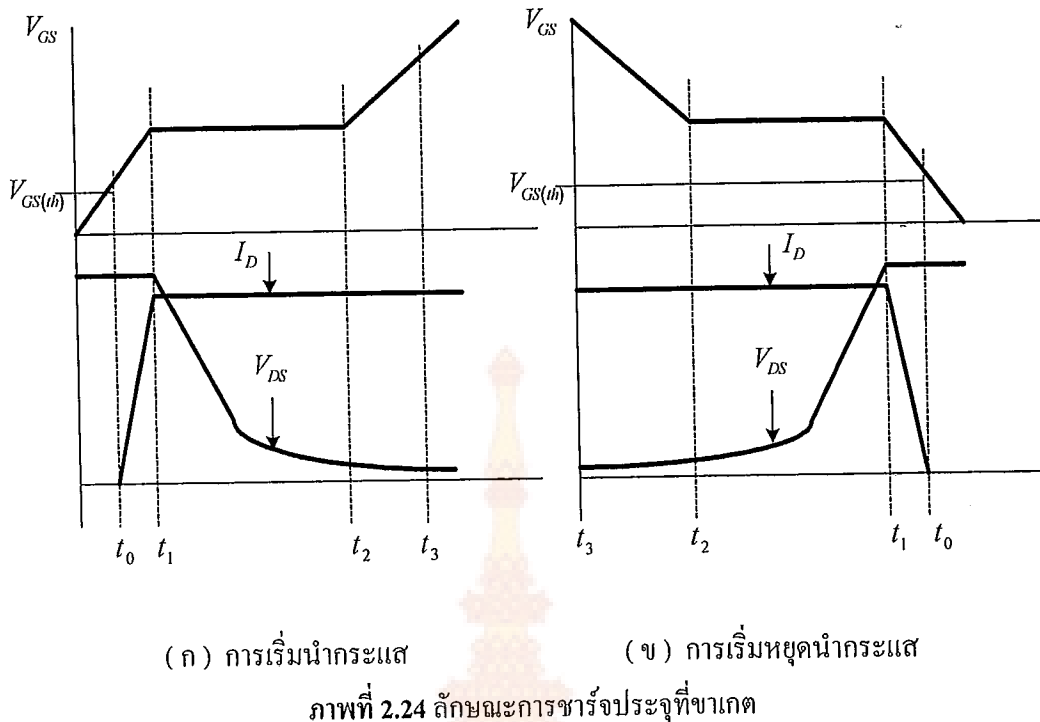
ลักษณะของกราฟแบ่งออกได้เป็น 3 ช่วง ตามผลของประจุที่เพิ่มขึ้น คือ

ช่วงเวลาหน่วงก่อนเริ่มน้ำกระแส (Turn on delay)  $t_0$

ช่วงเวลาเริ่มน้ำกระแส (Rise time)  $t_0 \rightarrow t_2$

ช่วงเวลาสะสมประจุส่วนเกิน (Excess charge time)  $t_2 \rightarrow t_3$

เมื่อมอสเฟตกำลังเริ่มชาร์จประจุที่ขาเกต จนกระหั่งพื้นช่วงเวลาหน่วงก่อนเริ่มน้ำกระแส แรงดันที่ขาเกตมากกว่าแรงดันนีดเริ่ม  $V_{GS,th}$  จึงเริ่มน้ำกระแสไหลผ่านขาเดренและขาซอร์สที่เวลา  $t_0$  ค่าของแรงดันจะยังไม่ลดลงกว่าวลาก่อนไปเท่ากับ  $t_1$  แรงดันตกคร่อมขาเดренและขาซอร์ส  $V_{DS}$  จึงมีค่าลดลงอย่างรวดเร็วจากค่าแรงดันที่ประมาณ 90 % จนเหลือเพียง 10 % ของค่าแรงดัน ตกคร่อม  $V_{DS}$  สูงสุด มอสเฟตกำลังนำกระแสได้อย่างเต็มที่ในช่วงเวลาเริ่มน้ำกระแส  $t_1 \rightarrow t_2$  และ แรงดันตกคร่อมที่ขาเกต  $V_{GS}$  คงที่จนกว่ามอสเฟตกำลังสามารถนำกระแสได้อย่างเต็มที่ดังภาพที่ 2.25 ในช่วงเวลาสะสมประจุส่วนเกินความด้านทานระหว่างขาเดренและขาซอร์สมีค่าลดลงได้เรื่อยๆ หากปล่อยให้มีการสะสมประจุต่อไปในช่วงเวลา  $t_2 \rightarrow t_3$  แต่ประจุสะสมที่เพิ่มขึ้นทำให้เกิดการหน่วงขณะเริ่มหาดนำกระแส เนื่องจากมอสเฟตกำลังต้องใช้เวลามากในการพยายามนำกระแสเพิ่มขึ้นซึ่งเป็นผลเสียที่ไม่ต้องการ



เนื่องจากมอสเฟตกำลังไม่เกิดประจุสะสมขณะนำกระแส การหยุดนำกระแสของ มอสเฟตกำลังจึงทำได้ง่ายด้วยการคายประจุที่ขาเกตทั้งไปชั่นเดียวกับขณะเริ่มน้ำกระแส เมื่อ กระแสเพื่อชาร์จประจุและคายประจุมีค่าเท่ากัน ช่วงเวลาเริ่มน้ำกระแสและช่วงเวลาเริ่มหยุดนำกระแสจะมีค่าเท่ากันด้วย ยกเว้นหากมีประจุสะสมมากในช่วงเวลา  $t_2 \rightarrow t_3$  การหยุดนำกระแส นั้นมีช่วงเวลาหน่วงเพิ่มขึ้น เนื่องจากต้องใช้เวลาส่วนหนึ่งในการคายประจุส่วนเกินที่ไปจาก Gate Charge Chart ของมอสเฟตกำลังแต่ละตัว นำมาคำนวณช่วงเวลาเริ่มน้ำกระแส  $t_r$  และช่วงเวลาเริ่มหยุดนำกระแส  $t_f$  ได้จาก

$$t = \frac{Q_G}{I_G} \quad (2.32)$$

เมื่อ  $Q_G$  คือ ค่าประจุที่ได้จากการฟ (C)

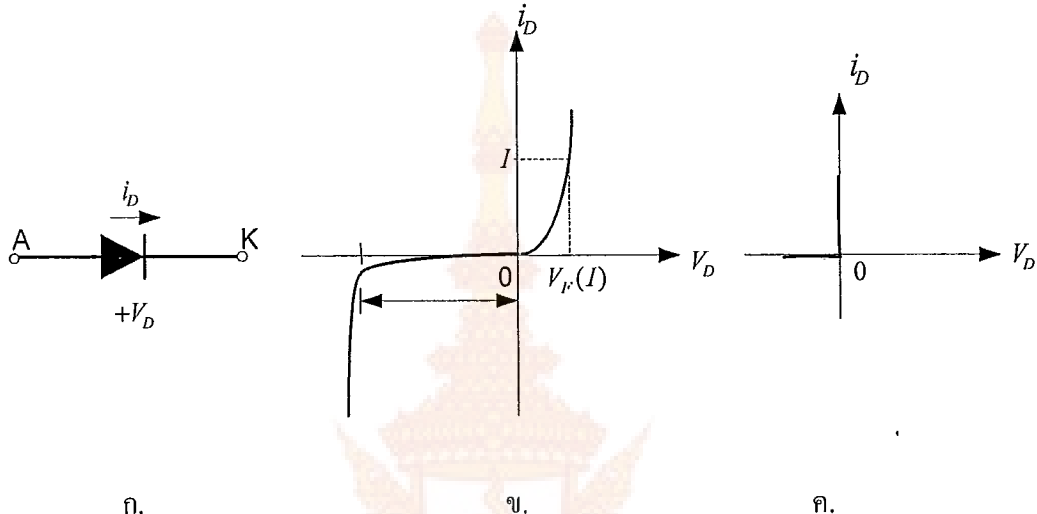
เมื่อ  $I_G$  คือ ค่ากระแสที่ใช้ชาร์จประจุที่กระแสคงที่ (A)

## 2.4 ไอดิโอดกำลัง (Power Diode)

ไอดิโอดเริ่มน้ำกระแส เมื่อแรงดันตกคร่อม มีค่าเพียงเล็กน้อยประมาณ 1 โวลต์ ในทำนองเดียวกันเมื่อไอดิโอดถูกไนเอลย้อนกลับ กระแสจำานวนหนึ่งซึ่งน้อยมาก ที่สามารถไหลผ่านไอดิโอด

ตัวนี้ได้ และกระแสจำนวนนี้มีค่าคงที่ตลอดไป จนกระทั่งถึงค่าเบรกดาวน์ ดังนั้นการนำไปใช้งาน แรงดันไบแอสข้อนกลับที่ป้อนได้โอดไม่ควรมีค่าเกินแรงดันเบรกดาวน์นี้ ซึ่งได้แสดงสัญลักษณ์ และคุณลักษณะกระแส-แรงดันของไดโอดขณะไบแอสไปหน้าดังภาพที่ 2.25 ก. และ ข.

เนื่องจากกระแสเร็วไอลของไดโอดขณะอยู่ในสถานะกั่นหรือไบแอสข้อนกลับมีค่าน้อย และแรงดันตกคร่อมในขณะนำกระแสหรือไบแอสไปหน้ามีค่าน้อยมาก เช่นเดียวกัน ดังนั้นจึง เปรียบเสมือนเป็นไดโอดอุดมคติ ดังคุณลักษณะดังภาพที่ 2.25 ค.



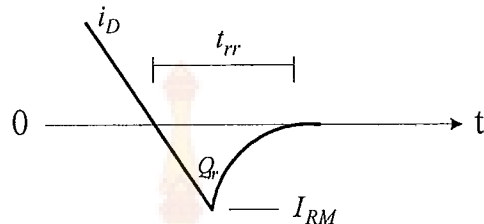
ภาพที่ 2.25 การทำงานของไดโอด

การสวิตช์เพื่อนำกระแสของไดโอด เปรียบเสมือนกับเป็นการสวิตช์ทางอุดมคติได้ เนื่องจากใช้เวลาการสวิตช์น้อยมาก เมื่อเทียบกับสภาวะชั่วครู่ของวงจรกำลัง แต่ถ้าหากเป็นการ สวิตช์เพื่อหยุดนำกระแสจะต้องเสียเวลาให้กับกระแสฟื้นตัวย้อนกลับ ดังภาพที่ 2.26 ดังนั้นอาจเป็น สาเหตุนำไปสู่การเกิดแรงดันเกินในวงจรที่มีตัวเหนี่ยวนำด้วย และสำหรับไดโอดสามารถแบ่งตาม ลักษณะการใช้งานได้ดังนี้ คือ

**2.3.1 ไดโอดชต็อกต์ (Schottky Diodes)** นิยมนิยมนำมาใช้งานที่ต้องการแรงดันตกคร่อมต่ำ (ปกติประมาณ 0.3 โวลต์) แต่ไดโอดชนิดนี้ ได้จำกัดความสามารถในการกันแรงดัน 50 ถึง 100 โวลต์ เท่านั้น

**2.3.2 ไดโอดฟื้นตัวย้อนกลับเร็ว (Fast-Recovery Diodes)** เป็นไดโอดที่ได้รับการพัฒนา เวลาการสวิตช์ขณะนำกระแส และเวลาฟื้นตัวย้อนกลับให้มีค่าต่ำมาก (ปกติเวลาการฟื้นตัว ย้อนกลับ มีค่าไม่ถึงไมโครวินาที) ดังนั้นจึงเหมาะสมกับงานความถี่สูง นอกจากนี้แรงดันแท้ล่างจ่าย สามารถจ่ายได้ถึงหลายโวลต์ และกระแสหลายแอมป์

2.3.3 ໄດ້ໂອດຄວາມຄືຕໍ່າ (Line Frequency Diode) ແຮງດັນຕກຄຣ່ອມໄດ້ໂອດຂນິດນີ້ ຂະໜາ  
ນໍາກະຮະແສຈະມີຄ່າຕໍ່າ ແຕ່ເວລາການຝຶ່ນຕົວຍື່ອນກັບມີຄ່າສູງ ດັ່ງນັ້ນຈຶ່ງເໝາະກັບງານຄວາມຄືສູງ ສໍາຫຼັບຄ່າ  
ພົກດແຮງດັນກັ້ນກັບພົກດກາຣ໌ໄໝລຂອງກະຮະແສຈະມີຄ່າສູງຫລາຍກີໂລໄວລຕໍ່ແລະຫລາຍກີໂລແອມປໍ່  
ຕາມລຳດັບ ນອກຈາກນີ້ຍັງສາມາດຄົດຕ່ອນຸກຽມແລະຂານານກັນເພື່ອໃຫ້ໄດ້ຄ່າແຮງດັນແລະກະຮະແສຕາມ  
ຕ້ອງການໄດ້

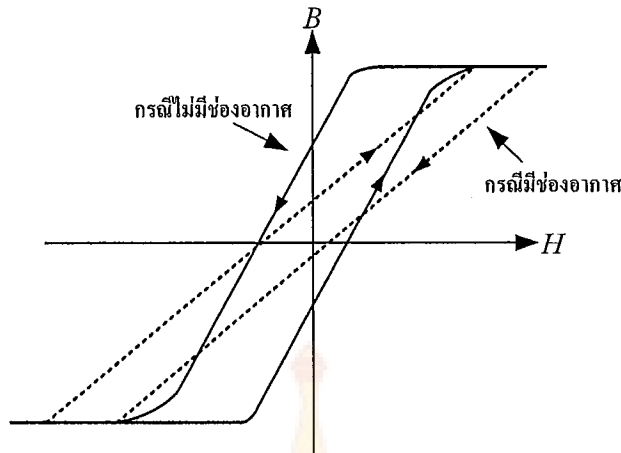


ກາພີ້ 2.26 ກາຮຢຸດນໍາກະຮະແສຂອງໄດ້ໂອດ

## 2.4 ຕັວໜ່າຍົວນໍາ ແລະກາຮອກແບນຕັວໜ່າຍົວນໍາດ້ວຍວິທີຜລຄຸມພື້ນທີ່

### 2.4.1 ຕັວໜ່າຍົວນໍາ

ຄຸນສົມບັດຂອງຕັວໜ່າຍົວນໍາທີ່ດີ ອີ່ ກາຮົກຄວາມສັມພັນທີ່ຮະຫວ່າງຄວາມໜານແນ່ນເສັ້ນ  
ແຮງແມ່ເໜີ້ກັບຄວາມເຂັ້ມສຳນາມແມ່ເໜີ້ກີມີຄວາມເປັນເຊີງເສັ້ນ ສາຮເຟອ໌ໂຣແມກເນັດຒກມີຄຸນສົມບັດໄນ່  
ເປັນເຊີງເສັ້ນ ແຕ່ມີຄ່າຄວາມໜື້ນໜາບໄດ້ສູງໃນຂະໜາທີ່ແກນອາກາດ ທີ່ກີ່ອີ່ແກນທີ່ໄມ່ໄດ້ທ່າງສາຮເຟອ໌ໂຣ  
ແມກເນັດຒກຄ່າຄວາມໜື້ນໜາບໄດ້ມີຄ່າ  $\mu = \mu_0$  ຜຶ່ງມີຄວາມເປັນເຊີງເສັ້ນສູງແຕ່ທຳໄໝໄດ້ຄ່າຄວາມໜານ  
ຕໍ່າ ດ້ວຍຂໍອຈຳກັດຕ່າງໆ ນີ້ ກາຮແກ້ປົງຫາໃນທາງປົງປັບຕົກ ກາຮເພີ່ມໜ່ອງອາກາດໃນແກນແມ່ເໜີ້ກີ ຜຶ່ງທໍາ  
ໄໝແກນແມ່ເໜີ້ກີທີ່ທ່າງສາຮເຟອ໌ໂຣແມກເນັດຒກໄໝຄ່າຄວາມໜື້ນໜາບໄດ້ທີ່ສູງ ໃນຂະໜາທີ່ໜ່ອງອາກາດມີພົດ  
ທໍາໄໝຄ່າຄວາມໜື້ນໜາບໄດ້ມີຄ່າຄົງທີ່ ໂດຍໜ່ອງອາກາດທີ່ເພີ່ມເຂົ້າໄປໃນແກນເຟອ໌ໄຣຕໍ່ໃຊ້ໃນກາຮສະສົມ  
ພັດຈານແມ່ເໜີ້ກີແລະທໍາໄໝຄ່າຄວາມໜານຍົວນໍາມີຄວາມເປັນເຊີງເສັ້ນ ນອກຈາກສາຮເຟອ໌ໂຣແມກເນັດຒກ  
ແລ້ວ ຍັງມີສາຮແກນໂລກະແບນພົງ (Powder metal core) ຜຶ່ງເປັນສາຮແມ່ເໜີ້ກີທີ່ມີໜ່ອງອາກາດກະຈາຍອູ່  
ກາຍໃນໄໝພົດເໜີ້ກີກັບກາຮເພີ່ມໜ່ອງອາກາດເຂົ້າໄປໃນແກນເຟອ໌ໄຣຕໍ່



ภาพที่ 2.27 ผลกระแทบทองช่องอากาศต่อกราฟแสดงความสัมพันธ์ระหว่างความหนาแน่นเส้นแรงแม่เหล็กกับความเข้มสนามแม่เหล็ก

เมื่อกำหนดให้ค่า  $H_c = H_g$  เห็นได้ว่าพลังงานที่สะสมในแกนแม่เหล็กมีขนาดน้อยกว่า พลังงานที่สะสมในอากาศมาก เพราะค่าความซึมซาบได้สัมพัทธ์ของแกนแม่เหล็กมีค่ามากกว่าค่าความซึมซาบได้ของอากาศประมาณ 10-1000 เท่า ดังนั้นตัวเห็นนี้ยังนำชื่อที่กำหนดให้กับตัวนี้ที่สะสมพลังงาน จึงจำเป็นต้องมีช่องอากาศ ผลกระแทบทองการเพิ่มช่องอากาศดังกล่าวนั้น ได้แก่

1. ค่าความหนายาน้ำทำแม่เหล็ก  $L_m$  มีค่าคงที่
2. ลดค่าความหนายาน้ำทำแม่เหล็กลง
3. สามารถเพิ่มค่ากระแสไฟฟ้าที่ไหลผ่านได้
4. ลดค่าความหนาแน่นเส้นแรงแม่เหล็กต่ำลง
5. หลีกเลี่ยงการอิ่มตัวเนื่องจากไฟฟ้ากระแสตรง
6. เพิ่มค่าตัวหนายาน้ำร้าว  $L$ , ซึ่งเป็นผลกระแทบทองโดยตรงต่อขนาดไปก็ของกระแส

#### 2.4.2 การออกแบบตัวหนายาน้ำด้วยวิธีผลกูณพื้นที่

กรณีเป็นตัวหนายาน้ำเส้นแรงแม่เหล็กในแกนแม่เหล็กขึ้นอยู่กับกระแสไฟฟ้า เมื่อกระแสไฟฟ้ามีค่าเพิ่มขึ้น อาจทำให้แกนแม่เหล็กเกิดการอิ่มตัวได้ และเมื่อแกนแม่เหล็กเกิดการอิ่มตัวทำให้ค่าความหนายาน้ำแม่เหล็กมีค่าลดลง ดังนั้นในการออกแบบตัวหนายาน้ำจึงต้องมีการระบุค่ากระแสสูงสุดเพื่อทำการออกแบบแกนแม่เหล็กที่จะไม่เกิดการอิ่มตัว

การออกแบบตัวเหนี่ยวน์ด้วยวิธีผลคูณพื้นที่สำหรับแกนเฟอร์ไรต์มีขั้นตอนดังนี้

#### 2.4.2.1 คำนวณค่าความเหนี่ยวน์ สำหรับขั้นตอนแรกในการออกแบบตัว

เหนี่ยวน์ คือการกำหนดค่าความเหนี่ยวน์ โดยใช้กฎของฟาราเดย์  $e = L \frac{di}{dt}$  ในการคำนวณหาค่าความเหนี่ยวน์ของวงจร

#### 2.4.2.2 คำนวณหาผลคูณพื้นที่ $A_p$ พลังงานที่สะสมอยู่ในตัวเหนี่ยวน์มีค่าเท่ากับ

$$E = \frac{1}{2} LI_m^2 \quad (2.33)$$

โดยที่  $E$  หมายถึง พลังงานที่สะสมในตัวเหนี่ยวน์

$L$  หมายถึง ค่าความเหนี่ยวน์  $H$

$I_m$  หมายถึง กระแสเบอดขอของวงจร  $A$

โดยที่พื้นที่ในการพันขดลวดต้องเหมาะสมกับจำนวนรอบ  $N$  และพื้นที่หน้าตัดของขดลวด  $a$  ดังนี้

$$K_w A_w = N \cdot a \quad (2.34)$$

แทนค่า  $a = \frac{I}{J}$  ลงในสมการที่ (2.34) จะได้

$$K_w A_w = N \frac{I}{J} \quad (2.35)$$

และจาก  $K_c = \frac{I_m}{I}$  ดังนั้น

$$K_w K_c A_w J = NI_m \quad (2.36)$$

จากสมการแรงดันของฟาราเดย์

$$e = L \frac{di}{dt} = N \frac{d\phi}{dt} = NA_c \frac{dB}{dt}$$

และ  $LI_m = NA_c B_m$  (2.37)

$$E = \frac{1}{2} NI_m A_c B_m \quad (2.38)$$

$$A_p = A_w A_c = \frac{2E}{K_w K_c JB_m} \quad (2.39)$$

2.4.2.3 คำนวณหาจำนวนรอบ ในการพันตัวเหนี่ยวน์จำนวนรอบในการพันตัวเหนี่ยวน์สามารถหาได้จาก

$$N = \frac{LI_m}{A_c B_m} \quad (2.40)$$

2.4.2.4 คำนวณหาขนาดของขดลวดเหนี่ยวนำ พื้นที่หน้าตัดของขดลวดเหนี่ยวนำ  
สามารถคำนวณได้จาก

$$a = \frac{I}{J} \quad (2.41)$$

2.4.2.5 ช่องอากาศ จากสมการแรงดันของฟาราเดียโดยที่

$$e = L \frac{di}{dt} = N \frac{d\phi}{dt} \quad (2.42)$$

$$B = \frac{LI}{NA_c} \quad (2.43)$$

หรือ  $B = \frac{\phi}{A_c}$  (2.44)

จากกฎของเอนเมปร์จะได้

$$H = \frac{NI}{I_m} \quad (2.45)$$

ดังนี้  $B = \frac{NI}{I_m}$  (2.46)

จากสมการที่ (2.45) และ (2.46) จะได้

$$\frac{I_m}{\mu A_c} = \frac{N^2}{L} \quad (2.47)$$

โดยที่  $\frac{I_m}{\mu A_c}$  หมายถึงค่าความต้านทานแม่เหล็กมีค่าเท่ากับ

$$\frac{I_m}{\mu A_c} = \frac{I_c}{\mu_0 \mu_r A_c} + \frac{I_g}{\mu_0 A_c} \quad (2.48)$$

$I_c$  หมายถึง เส้นทางเดินแม่เหล็ก  $m$

$I_g$  หมายถึง ระยะห่างของช่องอากาศ  $m$

$A_c$  หมายถึง พื้นที่หน้าตัดของแกนแม่เหล็ก  $m^2$

ด้านแกนแม่เหล็กมีค่าความซึมซาบแม่เหล็กสูง จะทำให้ค่าความต้านทานแม่เหล็กที่เกิดจากช่องอากาศมีค่าสูงมากเมื่อเทียบกับความต้านทานแม่เหล็กของแกนแม่เหล็ก

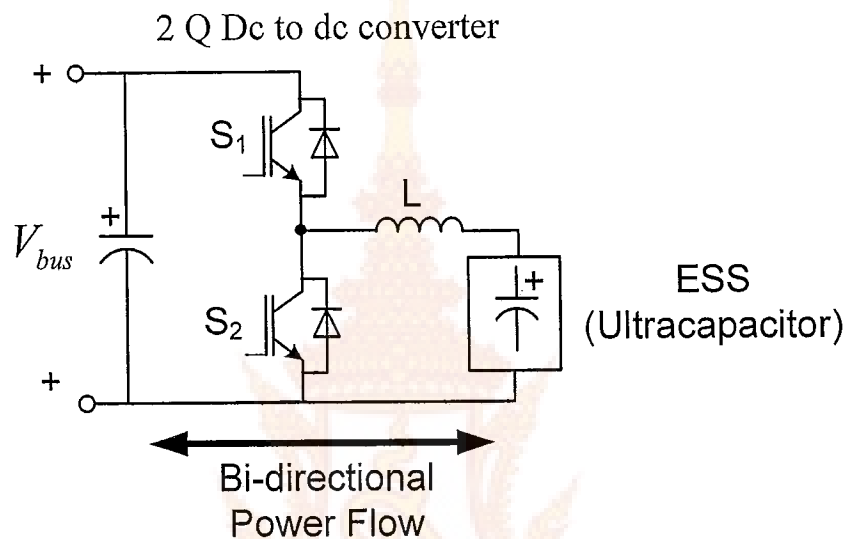
$$\frac{I_c}{\mu_0 \mu_r A_c} = \frac{I_g}{\mu_0 A_c} \quad (2.49)$$

จากสมการที่ (2.49) สามารถจัดรูปเพื่อหาค่า  $I_g$  ได้ดังนี้

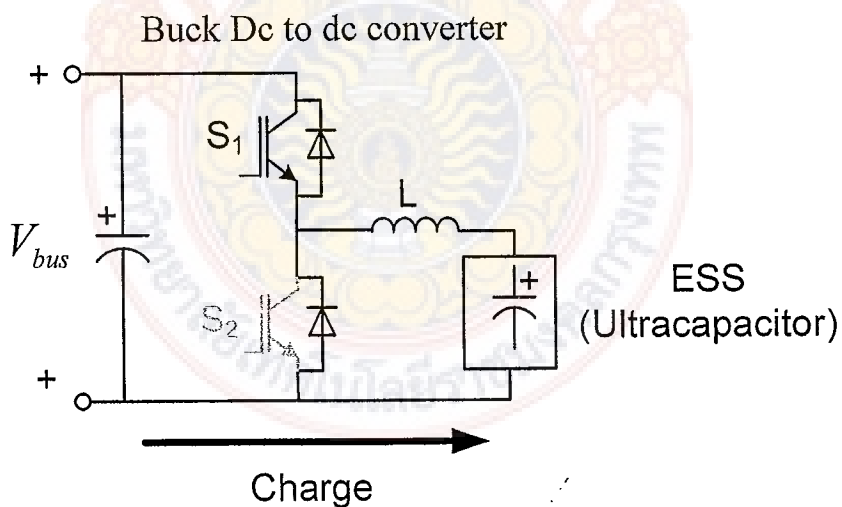
$$I_g = \frac{\mu_0 N^2 A_c}{L} \quad (2.50)$$

## 2.5 การควบคุมการทำงานสำหรับคอนเวอร์เตอร์แบบสองทิศทาง

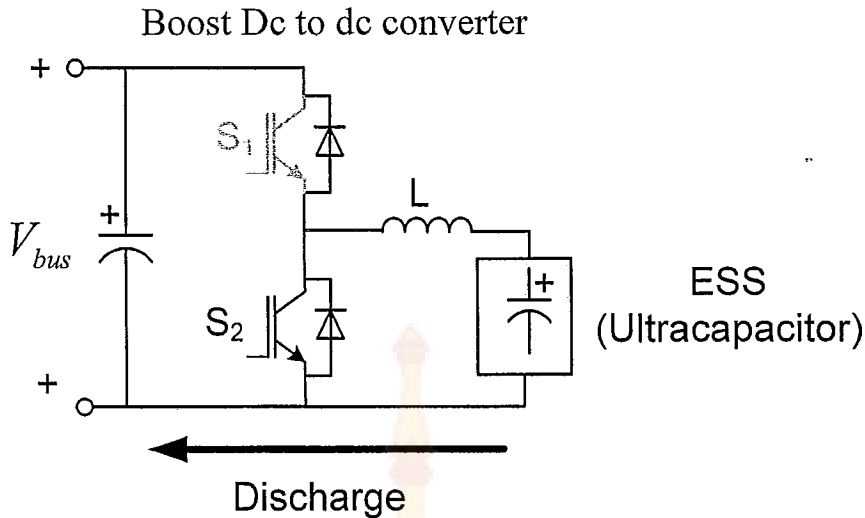
เหตุผลที่ใช้คอนเวอร์เตอร์แบบสองทิศทาง เมื่อจากคอนเวอร์เตอร์ทั่วไปสามารถจ่ายกระแสได้เพียงทิศทางเดียว หากนำคอนเวอร์เตอร์นี้มาใช้งานร่วมกับ Ultracapacitor จะไม่สามารถชาร์จได้ ดังนั้นเมื่อ Ultracapacitor จ่ายพลังงานหมดจึงจำเป็นต้องถอดไฟชาร์จอีกรั้ง หากคอนเวอร์เตอร์ที่มีการทำงานแบบสองทิศทาง วงจรจะสามารถจ่ายพลังงานไปยังระบบและจ่ายพลังงานจากระบบกลับเข้าสู่ Ultracapacitor ได้ ซึ่งวงจรดีซีที่คุณเห็นนี้สามารถแสดงได้ในภาพที่ 2.28



ภาพที่ 2.28 วงจร 2 Quadrant dc to dc converter

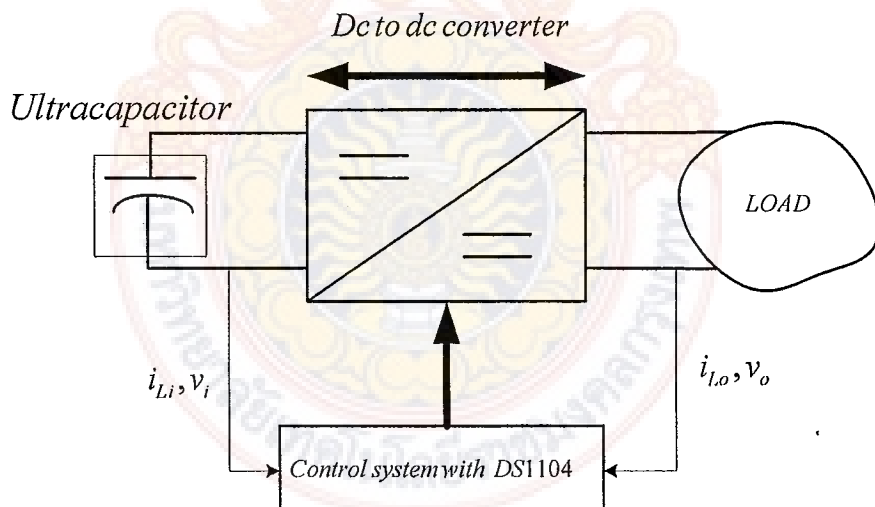


ภาพที่ 2.29 วงจรสมดุลขณะทำงานเป็นวงจร Buck dc to dc converter

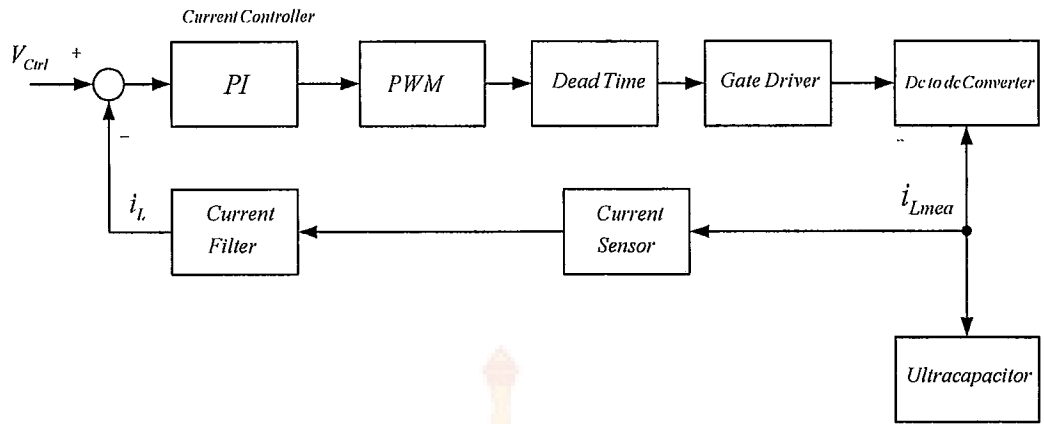


ภาพที่ 2.30 วงจรสมมูลขณะทำงานเป็นวงจร Boost dc to dc converter

วงจรคอนเวอร์เตอร์ในภาพที่ 2.28 สามารถทำงานได้สองแบบคือวงจรบักคอนเวอร์เตอร์ ในภาพที่ 2.29 ทำหน้าประจุพลังงานอุปกรณ์ Ultracapacitor และวงจรบักคอนเวอร์เตอร์ทำหน้าที่ คายพลังงานจากอุปกรณ์ Ultracapacitor ไปยังดีซีบัส ในภาพที่ 2.31 ส่วนบล็อกไดอะแกรมในภาพ 2.31 และ 2.32 เป็นบล็อกไดอะแกรมระบบดีซีทูดีซีคอนเวอร์เตอร์ 2 ทิศทาง ที่ควบคุมด้วยการ์ด อินเตอร์เฟสรุ่น DS1104



ภาพที่ 2.31 บล็อกไดอะแกรมระบบดีซีทูดีซีคอนเวอร์เตอร์ 2 ทิศทาง



ภาพที่ 2.32 บล็อก ໄດ້ອານຸມາດຂອງຮະບັບຄວບຄຸມຄອນເວອຣ໌ເຕອຮ໌ແບບສອງທີ່ສໍາກຳ

## 2.6 ตัวควบคุมแบบพีไอ (PI Controller)

ตัวควบคุมแบบพีไอนี้ เป็นการนำเอาคุณสมบัติของ ตัวควบคุมแบบพีกับตัวควบคุมแบบไอ มารวมกัน ดังนั้นสัญญาณที่ออกจากตัวควบคุมชนิดนี้คือ

$$\text{สัญญาณทางออก} = \text{สัญญาณทางออกแบบพี} + \text{สัญญาณทางออกแบบไอ}$$

$$V_{in}(t) = G_p V_{in}(t) + \frac{1}{T_i} \int_0^t V_{in} dt \quad (2.51)$$

เมื่อแปลงลาปลาซ จะได้

$$V_{out}(s) = G_p V_{in}(s) + \frac{V_{in}(s)}{T_i s} \quad (2.52)$$

$$V_{out}(s) = G_p V_{in}(s) + \left(1 + \frac{1}{T_r s}\right) \quad (2.53)$$

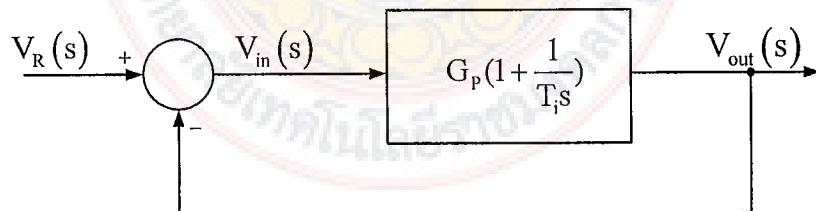
เมื่อ  $T_r = G_p T_i$  เจียนเป็นฟังก์ชันโอนย้าย ดังสมการที่ (2.54)

$$F(s) = \frac{V_{out}(s)}{V_{in}(s)} = G_p \left(1 + \frac{1}{T_r s}\right) \quad (2.54)$$

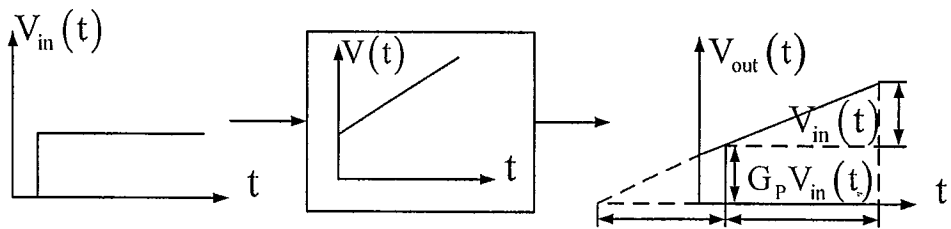
ค่าของ  $G_p$  และ  $T_i$  สามารถเปลี่ยนแปลงค่าได้ การปรับปรุงค่า  $T_i$  จะมีผลต่อการกระทำการควบคุมแบบบูรณาการรวมหน่วย แต่ถ้าปรับค่าความไวของสัดส่วน  $G_p$  จะมีผลต่อการกระทำการควบคุมแบบสัดส่วน และการกระทำการควบคุมแบบบูรณาการรวมหน่วย ส่วนกลับของ  $T_i$  เรียกว่า

“อัตราส่วนการจัดใหม่” อัตราส่วนการจัดใหม่เป็นจำนวนครึ่งต่อนาทีที่การควบคุมแบบสัดส่วนเริ่มต้นใหม่

จากสมการที่ (2.54) สามารถนำมาเขียนเป็นภาพบล็อกได้ดังภาพที่ 2.33 และผลตอบสนองต่อฟังก์ชันขั้นบัน្ត ได้แสดงได้ดังภาพที่ 2.34

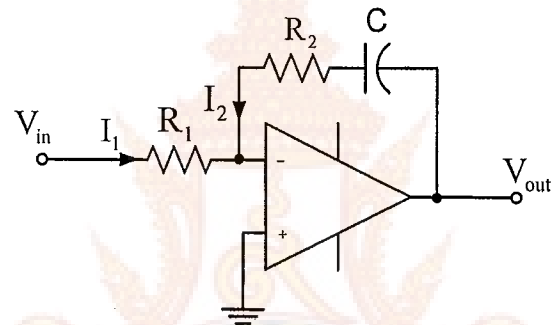


ภาพที่ 2.33 บล็อกไดอะแกรมของตัวควบคุมแบบพีไอ



ภาพที่ 2.34 ผลตอบสนองต่อฟังก์ชันบันไดของตัวควบคุมแบบพีไอ

จากภาพที่ 2.29 สามารถสร้างเป็นวงจรอปป์แอมป์ได้ ดังภาพที่ 2.30



รูปที่ 2.35 วงจรควบคุมแบบพีไอ

จากวงจรในภาพที่ 2.30 เมื่อพิจารณาที่ขาลง (-) จะได้

$$\begin{aligned}
 I_1 + I_2 &= 0 \\
 V_{in}(t) &= I_1(t)R_1 \\
 &= -I_2(t)R_1 \\
 V_{out}(t) &= -[I_2(t)R_2 + V_C(t)] \quad (2.55) \\
 &= -\left[ I_2(t)R_2 + \frac{1}{C} \int_0^t i_2 dt \right] \\
 &= -\left[ V_{in}(t) \frac{R_2}{R_1} + \frac{V_{in}(t)}{CR_1} \right]
 \end{aligned}$$

$$= -\frac{V_{in}(t)}{R_1} + (R_2 + \frac{1}{C}) \quad (2.56)$$

สามารถเขียนเป็นพงก์ชั่น โอนเข้าไปได้ดังนี้

$$\begin{aligned} F_{(s)} &= \frac{V_{out}(s)}{V_{in}(s)} = -\frac{1}{R_1} \left( R_2 + \frac{1}{C_s} \right) \\ &= -\frac{R_2}{R_1} \left( 1 + \frac{1}{R_2 C_s} \right) \\ F_{(s)} &= -G_p \left( 1 + \frac{1}{T_r s} \right) \end{aligned} \quad (2.57)$$

เมื่อ  $G_p = \frac{R_2}{R_1}$  คือ ความไวของสัดส่วนหรืออัตราการขยาย

$T_r = R_2 C$  คือ อัตราส่วนจัดใหม่

$T_i = R_1 C$  คือ เวลาบูรณาการรวมหน่วย



## 2.7 การ์ดอินเตอร์เฟส DS1104

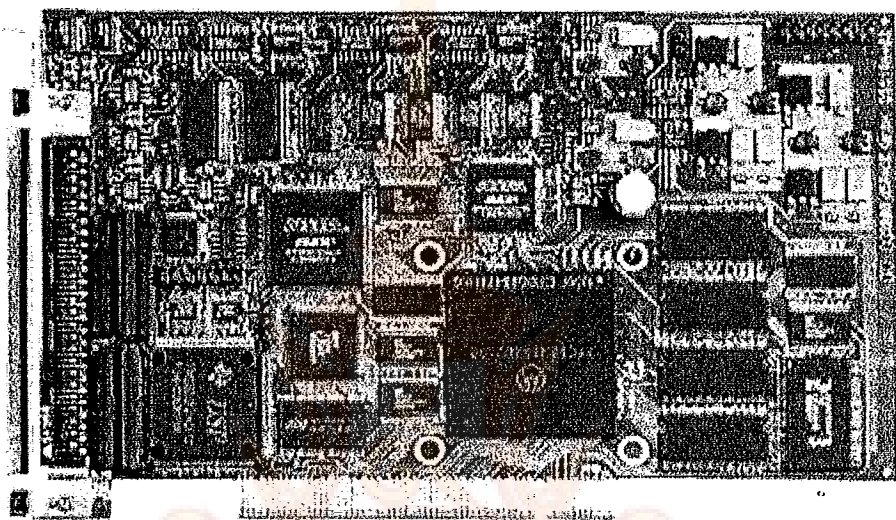
การ์ดอินเตอร์เฟสของบริษัท dSPACE เป็นการ์ดอินเตอร์เฟสที่ออกแบบสำหรับใช้กับงานพัฒนาต้นแบบ (prototype) และงานวิจัยในอุตสาหกรรมยานยนต์ (automobile industrial) เป็นหลัก ในช่วงแรกๆ ยกตัวอย่างเช่น BMW และ BENZ เป็นต้น แต่ในเวลาต่อมาสถานศึกษาโดยเฉพาะอย่างยิ่งในระดับมหาวิทยาลัยที่ต้องการพัฒนาห้องทดลองให้ทันสมัยและพัฒนางานวิจัยต้นแบบได้รวดเร็วมากขึ้นจึงได้นำการ์ดอินเตอร์เฟส dSPACE เข้ามาใช้งานมากขึ้น โดยเฉพาะรุ่น ACE kit1103, ACE kit1104 และ ACE kit MicroAutobox (ACE: Advanced Control Education) เป็นการ์ดอินเตอร์เฟสที่บริษัทได้ลดราคาขายลงพิเศษสำหรับลูกค้าที่เป็นสถานศึกษา ซึ่งได้เปรียบของ การใช้การ์ดอินเตอร์เฟส dSPACE สำหรับมหาวิทยาลัยที่มีการสอนทางวิศวกรรมศาสตร์ [1-3] ที่օเมื่อมีการจำลองการทำงานระบบควบคุมด้วยโปรแกรม MATLAB/SIMULINK เรียบร้อยแล้ว สามารถเขียนต่อเข้ากับกระบวนการจ้างจ้างให้ทันทีโดยผ่าน Blocksets สำหรับการอินเตอร์เฟส โดยเฉพาะ และสามารถปรับเปลี่ยนค่าพารามิเตอร์ต่างๆ ที่ออกแบบด้วยเวลาจริง ดังนั้นแล้วจึงมีมหาวิทยาลัยจำนวนมากที่ใช้การ์ดอินเตอร์เฟส dSPACE ควบคู่กับชุดทดลองทางการศึกษาของ บริษัท Quanser , ECP เป็นต้น

การ์ดอินเตอร์เฟส dSPACE ประกอบด้วยจำนวนห้อง A/D, D/A PWM, Digital I/O, Encoder ที่มากเพียงพอสำหรับระบบควบคุมทุกประเภท ยกตัวอย่างเช่น การควบคุมมอเตอร์ไฟฟ้า กระแสสลับแบบเวกเตอร์ (AC motor Vector control) การควบคุมหัวอ่านฮาร์ดดิสก์ การควบคุม แขนกล การควบคุมกระบวนการแบบไม่เชิงเส้นที่ซับซ้อน เป็นต้น

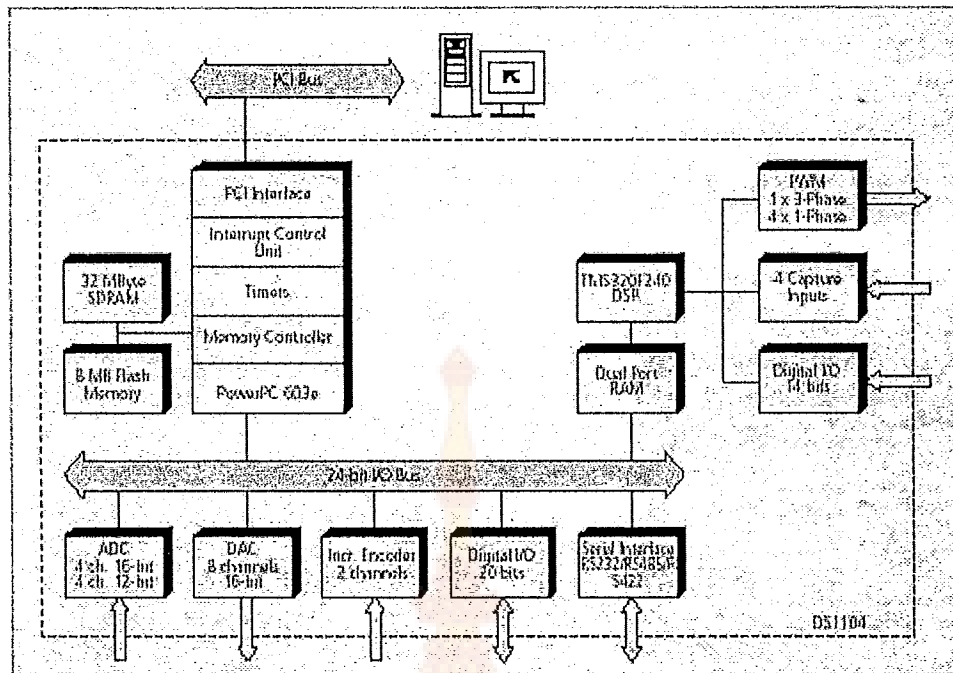
ในที่นี้จะกล่าวถึงการติดตั้งและใช้งานการ์ดอินเตอร์เฟส DS1104 สำหรับงานระบบควบคุมและงานควบคุมมอเตอร์ไฟฟ้าเป็นหลัก ลักษณะสมบัติของการ์ดสามารถกล่าวโดยสรุป ดังนี้คือ

- เป็นการ์ดอินเตอร์เฟสสำหรับควบคุมแบบเวลาจริง (Real time) ผ่านสล็อต PCI 32 บิต ในคอมพิวเตอร์ส่วนบุคคล (PC/AT) ใช้processorเซอร์ฟล็อก PPC603e 250 MHz และตัวประมวลผลเชิงดิจิตอลรอง (Slave Digital Signal Processor) เบอร์ TMS320F240
- ช่องสัญญาณ A/D 8 ช่องความละเอียด 12 และ 16 บิต แรงดันอินพุต  $\pm 10V$
- ช่องสัญญาณ D/A 8 ช่องความละเอียด 16 บิต บิต แรงดันเอาต์พุต  $\pm 10V$
- สัญญาณ PWM 10 ช่อง แบบอิสระจาก DSP TMS320F240
- คิจิตอล I/O 20 ช่องแบบขนาน
- ช่องสัญญาณสำหรับเอนโคడ์หรือจำนวน 2 ช่อง

- ช่องสัญญาณอินเตอร์เฟสแบบอนุกรม RS232, RS485
- อินเตอร์รัฟท์ชาร์ดแวร์และซอฟแวร์
- แผงเชื่อมต่อสัญญาณ (Panel) สำหรับควบคุมกระบวนการ
- Microtec C Compiler
- ซอฟแวร์จัดการระบบชาร์ดแวร์ (Experiment and platform manager for hardware management)
- ไดรเวอร์ซอฟแวร์สำหรับ MATLAB/SIMULINK และ Control Desk standard



ภาพที่ 2.36 การ์ดอินเตอร์เฟส dSPACE รุ่น DS1104



ภาพที่ 2.37 บล็อกไซด์แกรมชาร์ดแวร์ของการ์ดอินเตอร์เฟส DS1104

#### ซอฟแวร์สำหรับการ์ดอินเตอร์เฟส dSPACE ประกอบด้วย

- Real-Time Library (RTLib 1104)** เป็น blocksets ที่ถูกติดตั้งบน Simulink สำหรับการใช้งานเชื่อมโยง A/D, D/A, PWM blockset กับโปรแกรม MATLAB/SIMULINK คอมไพล์ โปรแกรมและจำลองการทำงานแบบเวลาจริง
- Control Desk** ซึ่งเป็นซอฟแวร์แบบ Graphic User Interface (GUI) โดยมีหน้าที่โหลดข้อมูล สั่งเริ่ม หรือหยุดทำงาน ปรับและแสดงค่าของตัวแปรต่างๆ ใน Simulink แบบเวลาจริง

#### 2.61 การติดตั้งการ์ดอินเตอร์เฟส

เพื่อความรวดเร็วสำหรับการคอมไพล์โปรแกรมแนะนำให้ติดตั้งบนคอมพิวเตอร์ส่วนบุคคลที่มีตัวประมวลผลที่สูงกว่า Pentium 4 สำหรับโปรแกรมปฏิบัติการใช้ Windows 9x หรือ Windows XP โปรแกรม MATLAB ลิขสิทธิ์ PCI 32 บิต 1 ช่อง และช่องสัญญาณแบบ USB สำหรับ hard-lock

## 2.6.2 สำหรับขั้นตอนการติดตั้ง DS1104 กับคอมพิวเตอร์ให้ดำเนินการตามขั้นตอนต่อไปนี้คือ

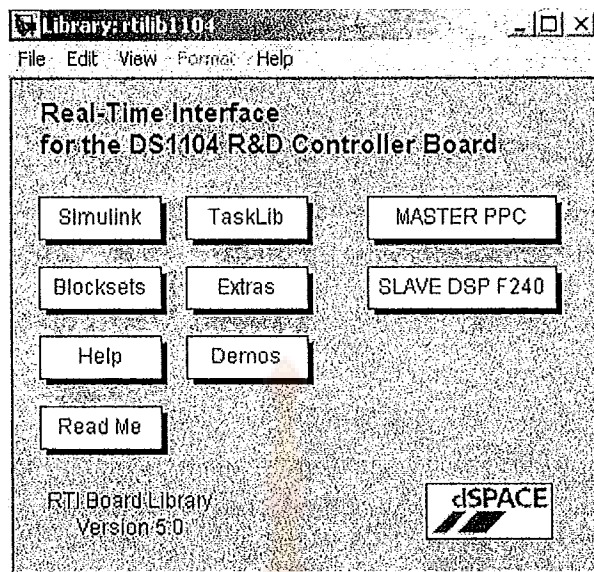
1. ปิดคอมพิวเตอร์และถอนไฟเลี้ยงจากคอมพิวเตอร์
2. เปิดฝาครอบคอมพิวเตอร์
3. เลือกสล็อต PCI 32 บิต ที่ต้องการและถอนฝาครอบสล็อตออก
4. เดีบบาร์ดและใส่สกรูเพื่อยึดบาร์ดกับคอมพิวเตอร์
5. ปิดฝาครอบคอมพิวเตอร์และเดีบบันปลั๊กไฟเลี้ยงคอมพิวเตอร์
6. เมื่อปิดคอมพิวเตอร์ก็ครั้งควรจะมีการตามสภาวะปกติ ที่มีปัญหาไม่สามารถรุนแรงได้ให้ลองเปลี่ยนสล็อตไปใช้สล็อตน่องจาก address อาจจะชนกับ address ของอุปกรณ์อื่น

## 2.6.3 ขั้นตอนการติดตั้งซอฟแวร์เริ่มต้นตามขั้นตอนดังนี้คือ

1. เพื่อให้การ์ดอินเตอร์เฟสสามารถทำงานร่วมกับ MATLAB ได้ดังนี้รุ่น (version) ของโปรแกรม MATLAB ที่ใช้งานต้องตรงกับ CD version ของ dSPACE มากตัวอย่างเช่น โดยเฉพาะอย่างยิ่ง version ของ RTI toolboxes (ดูจาก dSPACE Release Matrix) แต่ในที่นี้ใช้ Matlab version 6.5.1
2. เดีบ Hard-lock ที่มี label ตรงกับ Key-disk ที่พอร์ต USB ของคอมพิวเตอร์
3. ใส่แผ่นชีดีโปรแกรม dSPACE ไดร์ฟชีดีของคอมพิวเตอร์
4. ใส่แผ่นดิสก์ Key-Disk ขนาด 3.5" ในไดร์ฟ A:
5. เลือกที่ไดร์ฟชีดีและ Run ไฟล์ CDsetup.exe เพื่อติดตั้งโปรแกรม
6. ทำตามคำแนะนำและคำสั่งติดตั้งโปรแกรม จนสิ้นสุดที่คำสั่งที่ให้คอมพิวเตอร์เริ่มทำงานใหม้อีกครั้ง (restart)
7. หลังจากติดตั้งโปรแกรมเสร็จเรียบร้อยแล้วให้นำแผ่น Key-Disk และแผ่นชีดีโปรแกรมออก
8. สามารถตรวจสอบการความถูกต้องของการติดตั้งโปรแกรมจาก Install Manager ของ dSPACE
9. เมื่อตรวจสอบถูกต้องสามารถเริ่มใช้งานการ์ดอินเตอร์เฟส dSPACE แบบเวลาจริงได้ทันที

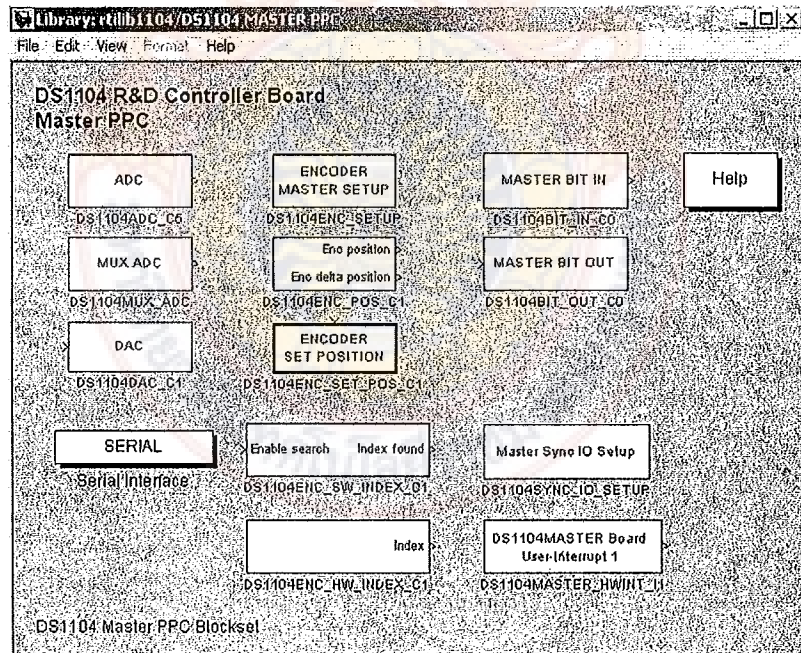
## 2.6.4 การใช้งาน dSPACE blocksets ใน SIMULINK

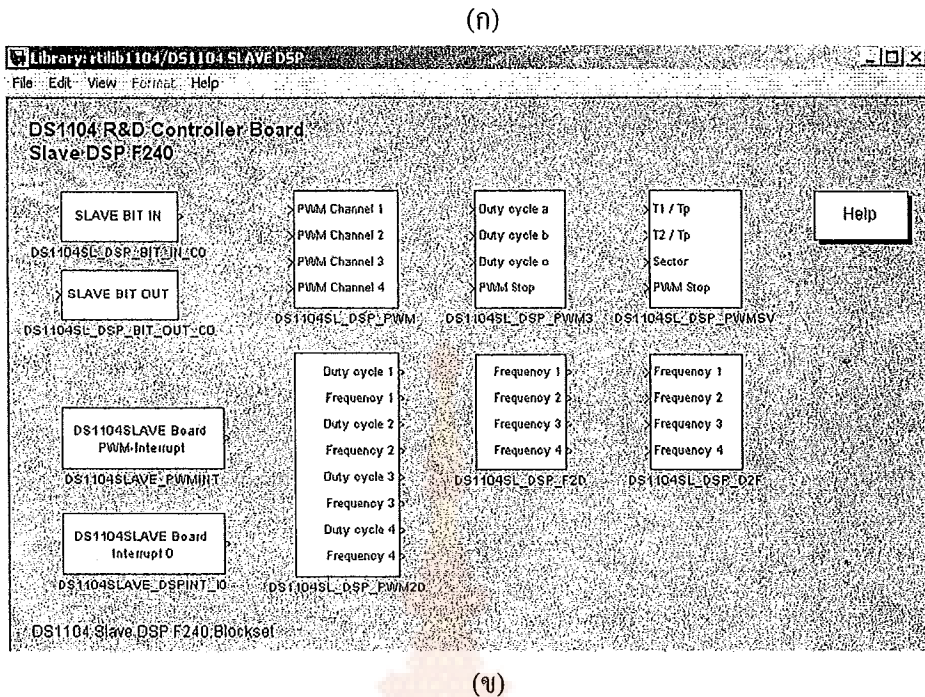
เพื่อเข้าใจถึงการใช้งานฟังก์ชันต่างๆของการ์ดอินเตอร์เฟส DS1104 อาทิเช่น A/D, D/A, PWM, Digital I/O จะกล่าวถึง SIMULINK blocksets ใน RTI1104 ตามภาพที่ 2.33 โดยสังเขป ดังนี้คือ (รายละเอียดทั้งหมดสามารถดูได้จาก DS1104RTI.pdf)



ภาพที่ 2.38 rtilib1104 blocksets

- Simulink สำหรับเรียกใช้งาน Blocksets ต่างๆ
- Demos สำหรับเรียกดูวิธีการใช้งาน
- Master PPC สำหรับเรียกไลบรารี่ในรุ่นที่ 2.34 ก
- Slave DSP F240 สำหรับเรียกไลบรารี่ในภาพที่ 2.34 ข





ภาพที่ 2.39 DS1104 Master PPC และ DS1104 SLAVE DSP blocksets

### 1. Analog Input/Output Channels controls

- DS1104ADC\_Cx และ DS1104MUX\_ADC เป็นบล็อกสำหรับแปลงสัญญาณอนาล็อกเป็นดิจิตอลเมื่อรับสัญญาณอนาล็อก  $+/-10V$  ที่ด้านอินพุต และที่เอ้าพุตของบล็อกจะถูกลดทอนด้วยอัตรา  $10:1$  นั่นหมายความว่าสัญญาณ  $10V$  ที่อินพุตของการ์ดจะมีค่าเท่ากับ  $1V$  ใน SIMULINK

Input Voltage Range	Simulink Output
$-10V \dots +10V$	$-1 \dots +1$ (double)

- DS1104DAC\_Cx และ DS1104MUX\_DAC เป็นบล็อกสำหรับแปลงสัญญาณดิจิตอลเป็นอนาล็อกเมื่อรับสัญญาณดิจิตอล  $+/-1V$  ที่ด้านอินพุต และที่เอ้าพุตของบล็อกจะถูกขยายด้วยอัตรา  $1:10$  นั่นหมายความว่าสัญญาณ  $1V$  ใน SIMULINK จะมีค่าเท่ากับ  $10V$  ที่เอ้าพุตของ การ์ด

Simulink Input	Output Voltage Range
$-1 \dots +1$ (double)	$-10V \dots +10V$

## 2. Digital Input/Output control controls

DS1104BIT\_IN\_Cx และ DS1104BIT\_OUT\_Cx สำหรับรับและส่งสัญญาณดิจิตอลแบบ TTL จำนวน 20 บิต สามารถเปลี่ยนช่องสัญญาณด้วยการเลือกหมายเลขช่องโดยตรงที่บล็อก

Digital Input (TTL)	Simulink Output	
	Without Data Typing	With Data Typing
High	1 (double)	1 (boolean)
Low	0 (double)	0 (boolean)

Simulink Input	Digital Output (TTL)	
	Without Data Typing	With Data Typing
> 0 (double)	1 (boolean)	High
≤ 0 (double)	0 (boolean)	Low

## 3. Encoder position controls

- DS1104ENC\_SETUP บล็อกสำหรับเลือกช่องสัญญาณ (1,2) และค่าเริ่มต้นของ.enon โโคด เดอร์ที่ใช้งาน

Channel	Encoder Signal Type	Position Information	Position Value
1 ... 2	digital	24 bit	$-2^{23} \dots +2^{23}-0.25$

- DS1104ENC\_POS\_CX บล็อกสำหรับการกำหนดการต่อสายสัญญาณของ.enon โโคดเดอร์ที่ใช้งาน (RS422,TTL) สามารถดูรายละเอียดเพิ่มเติมจาก DS1104InsConfig.pdf หน้า 129

Parameter	Value		
TTL Input voltage	High Low	Min. 2.0 V 0 V	Max. 5.0 V 0.8 V
TTL Input resistance	12 kΩ		
RS422 Input voltage	High Low	Diff > +0.2 V Diff < -0.2 V	<ul style="list-style-type: none"> <li>Diff = Voltage difference between non-inverted and inverted signal</li> <li>The input signal, together with the corresponding inverted signal, must be in the range 0...5 V.</li> </ul>
RS422 Input resistance	The input resistance gradually drops from 8.5 kΩ at the corner frequency of 28 kHz to 210 Ω at the corner frequency of 225 kHz.		

#### 4. PWM control

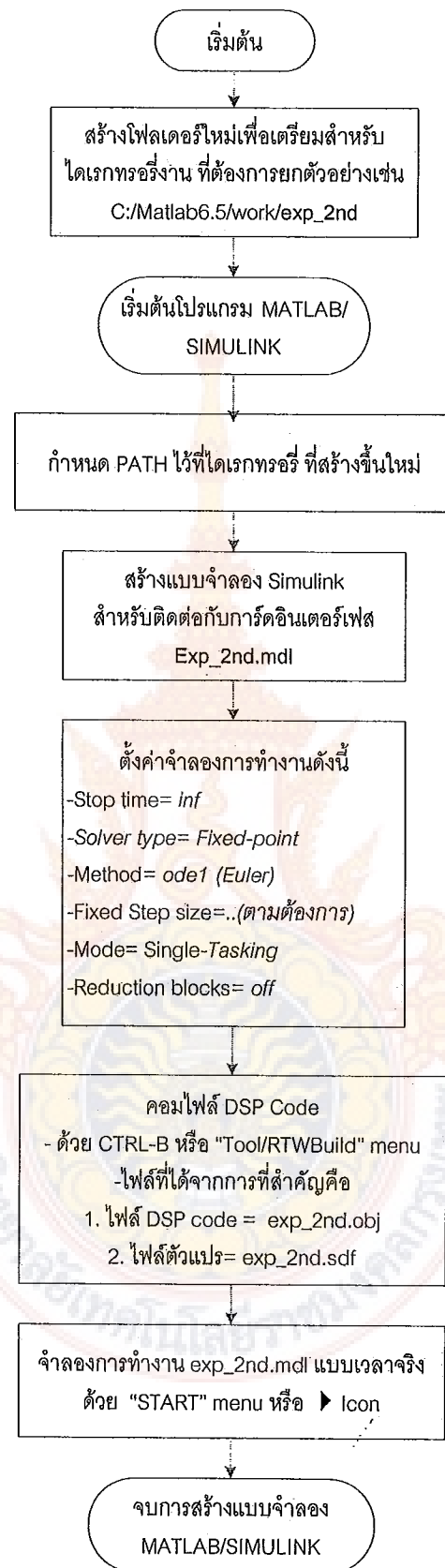
DS1104PWM สำหรับสร้างสัญญาณ PWM อิสระจำนวน 4/6 ช่อง ปรับความกว้างของพัลซ์ในช่วง 0 – 1V ความถี่สวิตช์ค่าเริ่มต้นพัลซ์ และการอินเตอร์รัพท์ของพัลซ์ โดยความถี่ในการสวิตช์อยู่ที่ 0.1Hz-1MHz

Simulink Import	Value	Data Type	Meaning
Duty cycle a, b, c	0 ... 1	Double	Duty cycle of the PWM signal for channel a, b, c.
Stop PWM	0 / 1	Boolean	Enables PWM stop for channel pairs a/b, b/c and a/c: <ul style="list-style-type: none"> <li>Value 1 stops PWM generation</li> <li>Value 0 resumes PWM generation</li> </ul>

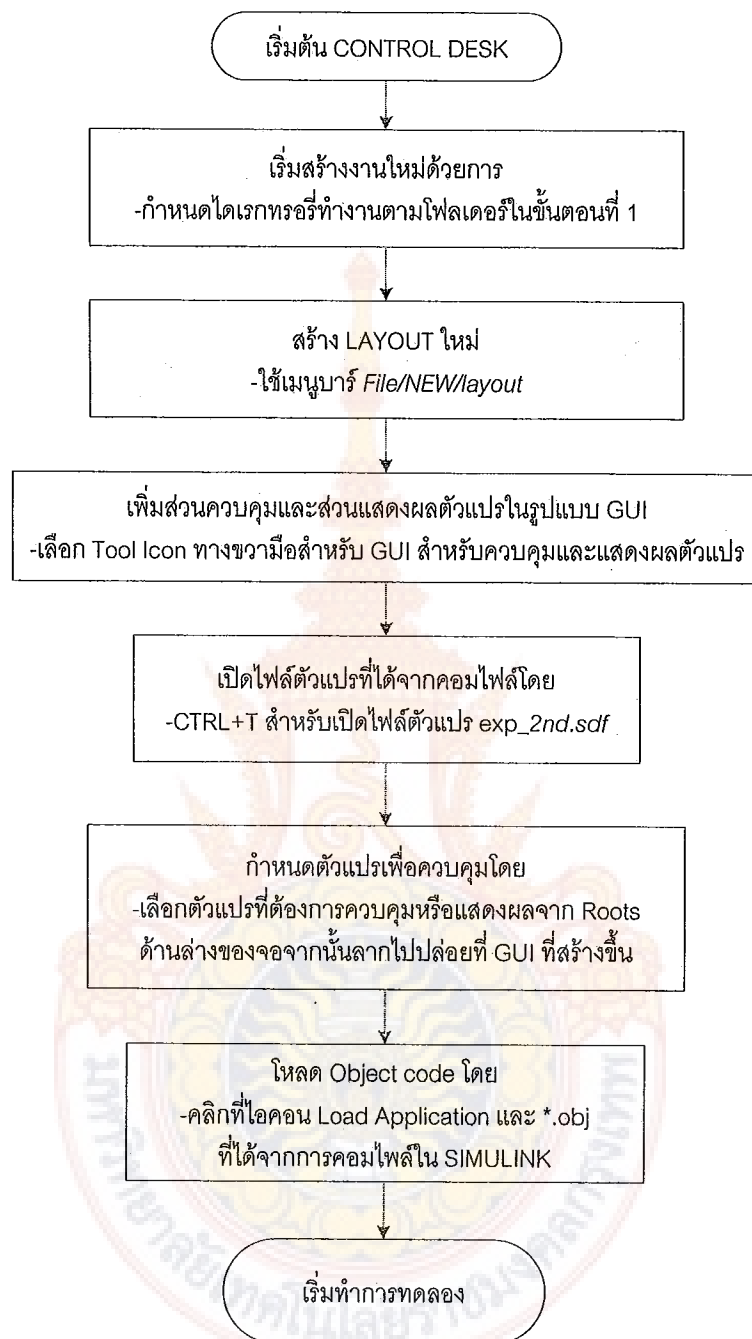
#### 2.6.5 การสร้างการทดลองด้วย dSPACE และ Simulink

ขั้นตอนแบบ Step-by-Step จะช่วยการงานทดลองด้วย dSPACE ง่ายขึ้น โดยจะแบ่งออกเป็นสองส่วน คือ ส่วนแรกเป็นการแบบจำลอง SIMULINK สำหรับอัลกอริทึมที่ต้องการสำหรับเขียนต่อ กับ dSPACE ผ่าน RTI1104 blocksets ส่วนที่สองเป็นการสร้าง GUI สำหรับการควบคุมตัวแปรที่ต้องการ และแสดงผลแบบเวลาจริง

ขั้นตอนการสร้างแบบจำลอง SIMULINK และ คอมไฟล์ DSP code สำหรับ DS1104



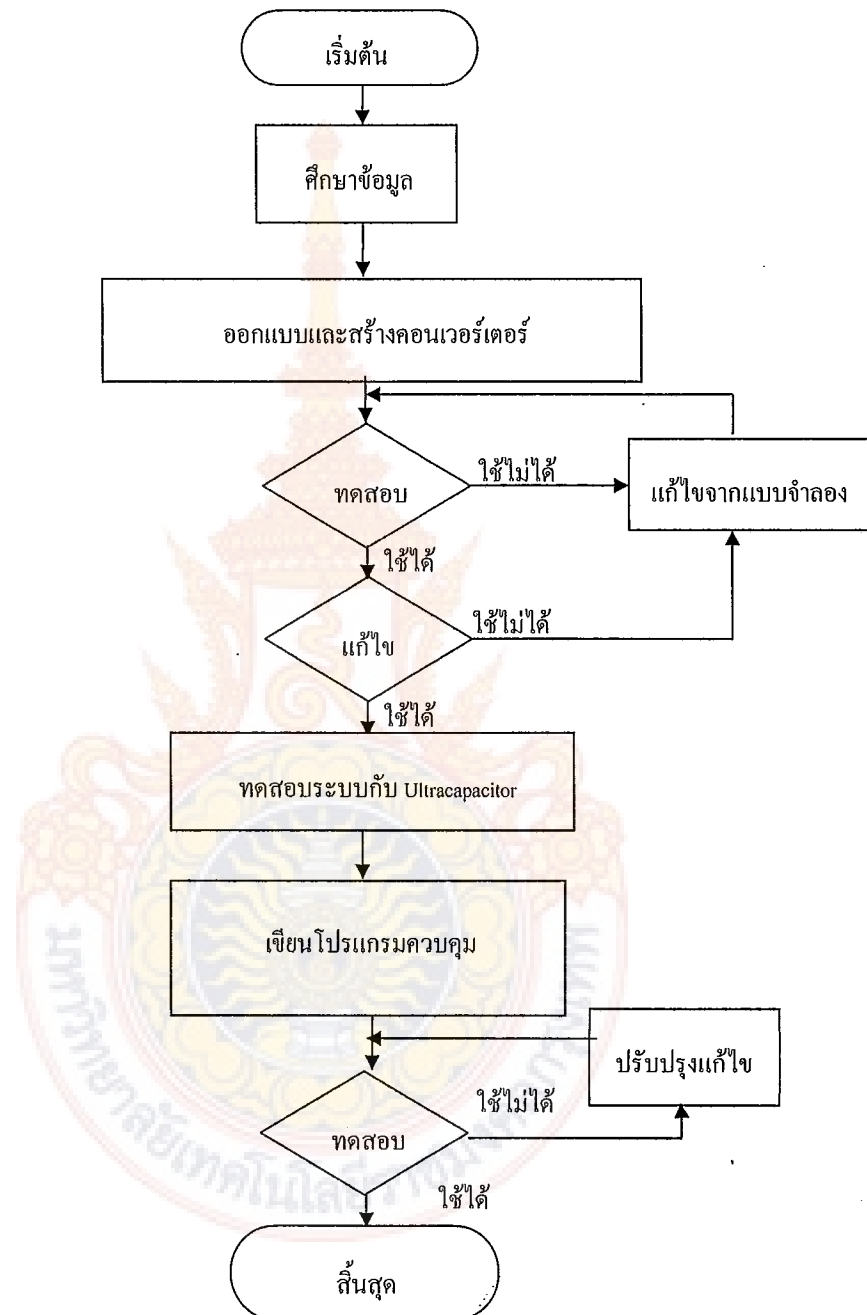
## ขั้นตอนการสร้างการทดลองด้วย DS1104 ผ่าน CONTROL DESK



### บทที่ 3

#### การออกแบบงานวิจัย

การออกแบบค่อนเวอร์เตอร์แบบสองทิศทางสำหรับ Ultracapacitor มีขั้นตอนในการปฏิบัติงานดังต่อไปนี้

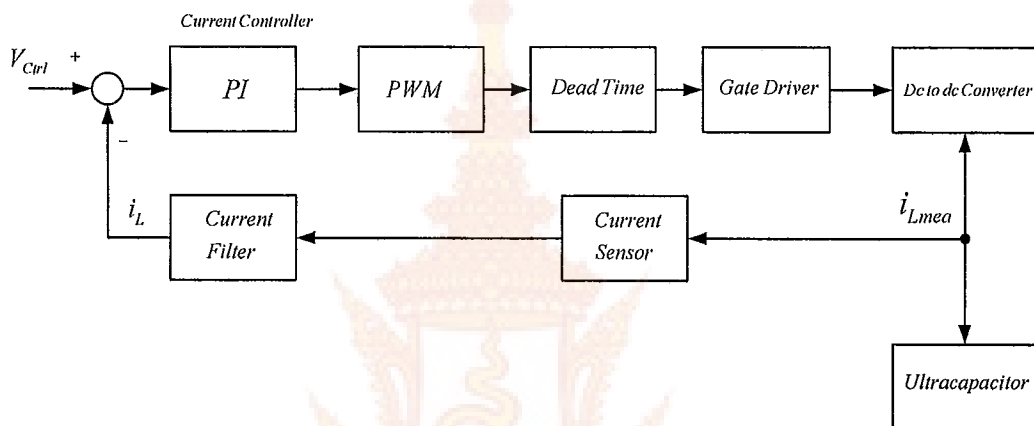


ภาพที่ 3.1 ผังขั้นตอนการดำเนินงาน

### 3.1 คันควร์และศึกษาข้อมูลที่เกี่ยวข้อง

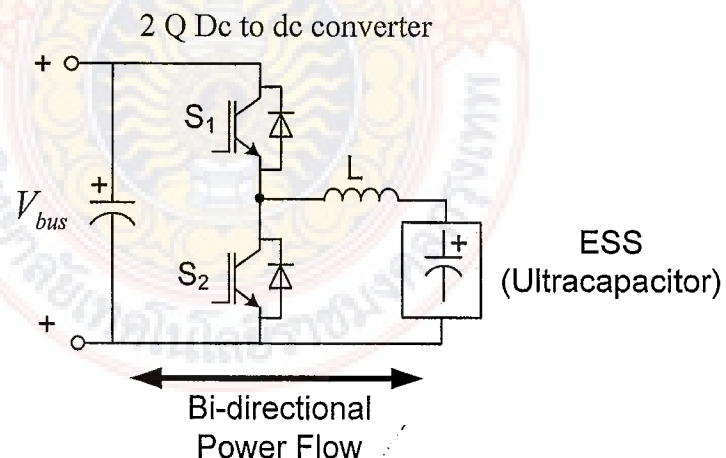
จากข้อมูลที่ได้ศึกษาคันควร์รายละเอียดเนื้อหาในบทที่ 2 สามารถเขียนบล็อกໄ/dozeogramของระบบควบคุมคอนเวอร์เตอร์ได้ในภาพที่ 3.2 โดยมีการทำงานของคอนเวอร์เตอร์แบ่งได้ 2 ส่วนดังนี้

1. ส่วนของตัวควบคุมกระแส ทำหน้าที่รับคำสั่งจากการดิจิตอลเฟส DS1104 แล้วบังคับให้ภาควงจรกำลังทำงานให้ได้ตามคำสั่งที่ได้รับ โดยมีการตรวจจับกระแสที่แหล่งผ่านตัวเหนี่ยวนำกลับมาเปรียบเทียบกับสัญญาณคำสั่ง โดยตัวควบคุมจะมีหน้าที่ควบคุมให้มีความผิดพลาดเป็นศูนย์
2. ภาควงจรกำลังเป็นส่วนที่ทำหน้าที่สวิตซ์ตามสัญญาณ脉冲宽度调制 (PWM) ตามที่ได้รับจากภาคควบคุม



ภาพที่ 3.2 บล็อกໄ/dozeogramระบบควบคุมคอนเวอร์เตอร์สำหรับ Ultracapacitor

### 3.2 การออกแบบวงจรกำลังของวงจรดีซี-ดีซีคอนเวอร์เตอร์



ภาพที่ 3.3 วงจรดีซี-ดีซีคอนเวอร์เตอร์แบบสองทิศทาง

วงจรกำลังของวงจรคอนเวอร์เตอร์ประกอบด้วยอุปกรณ์ที่สำคัญคือตัวเหนี่ยวนำความถี่สูง สวิตซ์ไฮเบิร์กทรอนิกส์กำลัง ตัวเก็บประจุทางด้านເຂົ້າພູດ วงจรกำลังต้องสามารถทำงานปกติทั้งหมด พิกัดกระแสและ แรงดันที่ใช้งาน ในวงจรกำลังจะประกอบการออกแบบส่วนต่างๆ ดังนี้

- การคำนวณหาค่าตัวเหนี่ยวนำความถี่สูง
- การเลือกอุปกรณ์สวิตซ์
- การคำนวณค่าตัวเก็บประจุทางด้านເຂົ້າພູດ

### 3.2.1 การคำนวณค่าตัวเหนี่ยวนำความถี่สูง

ในวงจรบุสคอนเวอร์เตอร์ ตัวเหนี่ยวนำเป็นอุปกรณ์ที่สำคัญมากเนื่องจากมีหน้าที่ในการเก็บและคายพลังงานเป็นผลให้ระดับแรงดันทางด้านເຂົ້າພູດสูงกว่าระดับแรงดันทางด้านອินพູດ การคำนวณหาค่าตัวเหนี่ยวนำสามารถหาได้จากการสมการ

$$L_{\min} = \frac{D(1-D)^2 R}{2f} \quad (3.1)$$

เมื่อ

$L_{\min}$  คือค่าตัวเหนี่ยวนำต่ำสุดที่สามารถใช้งานได้ในโหมดกระแสต่อเนื่อง

$f$  คือความถี่ที่ใช้งาน 20 kHz

$R$  คือค่าความต้านทานโหลดของวงจรหาได้จาก

$$R = \frac{V_{bus}^2}{P_{O\min}} \quad (3.2)$$

เมื่อ

$V_{bus}$  คือแรงดันด้านออกของวงจรที่ต้องการ

$P_{O\min}$  คือกำลังด้านເຂົ້າພູດที่ให้ประสิทธิภาพต่ำสุดที่ได้จากการที่ (3.3)

$$\eta_{\min} = \frac{P_{O\min}}{P_{i\min}} \quad (3.3)$$

เมื่อ

$\eta_{\min}$  คือประสิทธิภาพต่ำสุดของวงจรที่ต้องการคือ 80%

$P_{i\min}$  คือกำลังไฟฟ้าทางด้านอินพູດที่ให้ประสิทธิภาพต่ำสุดที่หาได้

$$P_{i\max} = V_{C\max} i_{C\max} \quad (3.4)$$

เมื่อ

$V_{C\max}$  คือแรงดันสูงสุดของ Ultracapacitor คือ 42 V

$i_{C\max}$  คือกระแสสูงสุดของ Ultracapacitor คือ 24 A

แทนค่าในสมการที่ (3.4)

$$P_{i\max} = 42 * 24 \approx 1kW$$

แทนค่า  $P_{i\max}$  ลงในสมการที่ (3.3) เพื่อหา  $P_{O\min}$

$$P_{O\min} = \eta_{\min} P_{i\max}$$

$$P_{O\min} = 0.8 * 1,000 = 800W$$

แทนค่า  $P_{O\min}$  ลงในสมการที่ (3.2)

$$R = \frac{V_{bus}^2}{P_{O\max}} = \frac{60^2}{800} = 4.5 \Omega$$

จากสมการที่ (3.1)  $D$  คือค่าดิวตี้ไซเคิล หาได้จาก

$$D = 1 - \frac{V_c}{V_{us}} \quad (3.5)$$

$V_c = 42V$  แทนในสมการที่ (3.5)

$$D = 1 - \frac{42}{60} = 0.3$$

แทนลงในสมการที่ (3.1) เพื่อหาค่าตัวเหนี่ยวนำ

$$L_{\min} = \frac{0.3(1-0.3)^2 * 4.5}{2 * 2000} = 165.375 \mu H$$

โครงการนี้เลือกใช้ชุด漉ดพันบนแกน E40 คำนวณหาจำนวนวนรอบของชุด漉ด ได้จาก

$$N = \frac{LI_{peak}}{B_{\max} S} \quad (3.6)$$

จะได้

$$N = \frac{165.375 * 10^{-6} * 10}{0.02 * 10^{-6} * 550} = 35.4 \text{ รอบ}$$

เมื่อ

$N$  คือจำนวนวนรอบของชุด漉ด

$I_{peak}$  คือกระแสสูงสุดที่ไหลในชุด漉ด

$B_{\max}$  คือความเข้มฟลักซ์สูงสุด

$S$  คือพื้นที่แกนมีค่า  $550 mm^2$

### 3.2.2 การเลือกอุปกรณ์สวิตช์ซิ่ง

อุปกรณ์สวิตช์ซิ่งในวงจรคอนเวอร์เตอร์ การเลือกอุปกรณ์ที่ทำงานได้ดีที่ความถี่สูง เวลาในการเปลี่ยนสถานะค่อนข้างสั้น โดยเลือกใช้มอสเฟตกำลังทำหน้าที่เป็นอุปกรณ์สวิตช์ซิ่ง เพราะนอกจากสามารถทำงานที่ความถี่สูงตั้งแต่ 10 kHz ไปจนถึง 400 kHz เวลาในการสับสวิตช์อยู่ในช่วงนาโนวินาที และในวงจรขั้บหม้อสเฟตกำลังนั้นทำได้จ่ายเพราะควบคุมด้วยแรงดันและต้องการกระแสค่อนข้างต่ำ

โดยได้เลือกใช้มอสเฟตกำลังเบอร์ IRFP264 ของบริษัท International Rectifier มีคุณลักษณะสมบัติต่างๆ ที่สำคัญดังนี้ ความต้านทานระหว่างขาเดรนและขาอร์ส ขณะนำกระแส  $R_{DS(on)} = 0.075\Omega$  ซึ่งมีค่าต่ำมาก แรงดันตกคร่อมระหว่างขาเดรนและขาอร์ส ( $V_{DS}$ ) ที่ทนได้ 250 V กระแสเดรน ( $I_D$ ) สูงสุดที่สามารถให้ผ่านได้ 38 A เวลาคืนสภาพของมอสเฟตกำลัง  $t_{rr} = 620\text{ ns}$

### 3.2.3 การคำนวณหาค่าตัวเก็บประจุด้านເອົາພຸດ

ในวงจรกำลังของวงจรบูสต์คอนเวอร์เตอร์ ตัวเก็บประจุด้านເອົາພຸດมีหน้าที่ในการเก็บพลังงานในรูปของประจุไฟฟ้าและทำการจ่ายแรงดันออกให้กับโหลด หรือคายประจุไฟฟ้าเมื่อสวิตช์ซิ่ง Turn ON และทำการเก็บประจุไฟฟ้าเมื่ออุปกรณ์สวิตช์ซิ่ง Turn OFF ดังนั้นจึงจำเป็นต้องเลือกตัวเก็บประจุที่มีขนาดใหญ่จะช่วยในการลดแรงดันกระเพื่อมทางด้านເອົາພຸດ สามารถคำนวณตัวเก็บประจุทางด้านເອົາພຸດได้จากสมการที่ (3.7)

$$\frac{\Delta V_{bus}}{V_{bus}} = \frac{D}{RCf} \quad (3.7)$$

เมื่อ  $\frac{\Delta V_{bus}}{V_{bus}}$  คือค่า Ripple Factor กำหนดให้มีค่าไม่เกิน 1%

$\Delta V_{bus}$  คือแรงดันกระเพื่อมด้านເອົາພຸດ

$C$  คือตัวเก็บประจุด้านເອົາພຸດ

$D$  คือดิวตี้ไซเคิล

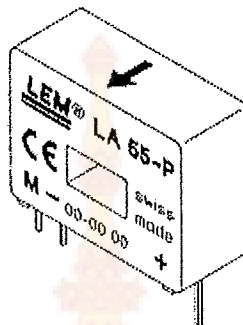
$R$  คือค่าความต้านทานโหลดของวงจร

$f$  คือความถี่สวิตช์ซิ่ง

แทนค่าในสมการที่ (3.7) จะได้ค่าตัวเก็บประจุด้านເອົາພຸດ 200  $\mu F$

### 3.3 อุปกรณ์ตรวจจับกระแส

ทำหน้าที่ตรวจวัดกระแสที่ไฟล์ผ่านตัวเหนี่ยวนำเพื่อให้วงจรคอนเวอร์เตอร์ทำงานแบบวงปีกในวงรอบกระแส ซึ่งใช้ตัวตรวจจับกระแส แบบชอลล์เซฟเฟคเซนเซอร์ (Hall Effect Sensor) เบอร์ LA55-P ของบริษัท LEM ซึ่งมี Conversion ratio 1:1000 หมายความว่าตัวกระแทกที่ตรวจจับมีค่า 1 A เซนเซอร์จะออกมา 1 mA ถ้ากระแสของเซนเซอร์แสดงดังภาพที่ 3.4



ภาพที่ 3.4 เซนเซอร์กระแสเบอร์ LA55-P

การออกแบบสามารถควบคุมการจ่ายกระแสจาก Ultracapacitor ได้โดยการป้อนคำสั่ง  $V_{ctrl}$  โดยการทำงานของเซนเซอร์เบอร์ LA55-P นี้มีการทำงานคล้ายกับการใช้มิตเตอร์ก้ามปู โดยการผ่านตัวนำที่มีกระแสที่ต้องการวัดไฟล์ผ่านเซนเซอร์ซึ่งจะมีช่องสำหรับให้ตัวนำผ่านกระแสสูงสุดที่สามารถผ่านได้ถึง 50A ในโครงงานไฟล์สูงสุด 25 A จึงพันลวดตัวนำที่จุดวัด  $i_L$  ผ่านเซนเซอร์ 2 รอบ ซึ่งจะได้กระแสค่าน้ำเข้าพุทสูงสุดเพิ่มเป็น 20 mA จากนั้นทำการเลือกค่า  $R_1$  เพื่อเปลี่ยนค่ากระแสเป็นแรงดันได้จาก

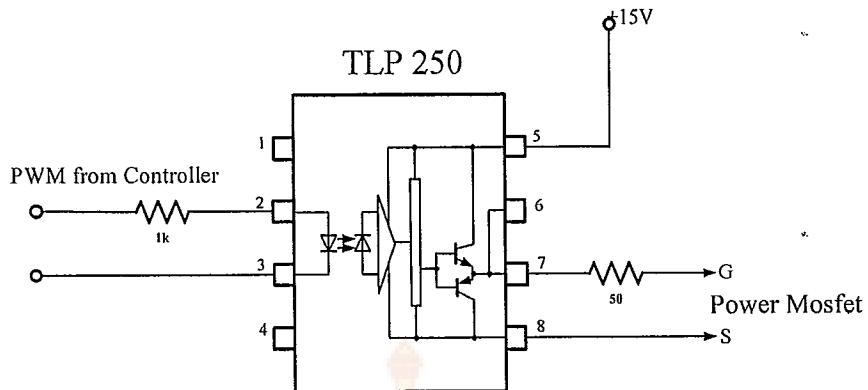
$$R_1 = \frac{5V}{20mA} = 250\Omega \quad (3.8)$$

ส่วนค่าทอนกำลังกำลังของตัวต้านทานที่ใช้สามารถคำนวณได้จากการกระแสและแรงดันที่ตัวต้านทาน

$$P = V * I = 5 * 20 * 10^{-3} = 100mW \quad (3.9)$$

### 3.4 วงจรขับนำเกตด้วยไอซีเบอร์ TLP250

ไอซีสำเร็จรูป TLP250 ขนาด 8 ขาดึงแสดงวงจรขับเกตไว้ในรูปที่ 3.7 โดยจะรับสัญญาณอินพุตผ่านขา 2 และขา 3 เพื่อที่จะทำการใบอัตโนมัติโดยออดเปล่งแสงที่ต่ออยู่ระหว่างขา 2 และขา 3 ทางอินพุต โดยจะต่อผ่านความต้านทาน 1 กิโลโอห์ม เพื่อให้มีกระแสไฟล์ผ่านไปปัจจุบันโดยออดเปล่งแสงไม่สูงเกินไปจนเกิดความเสียหาย ส่วนทางเอาต์พุตกำหนดให้แรงดันมีขนาดเท่ากับ 15 โวลต์โดยรับแรงดันจากแหล่งจ่ายไฟจากดูวงจรร่างไฟเลี้ยง



ภาพที่ 3.5 วงจรขับเกตด้วย TLP 250

## บทที่ 4

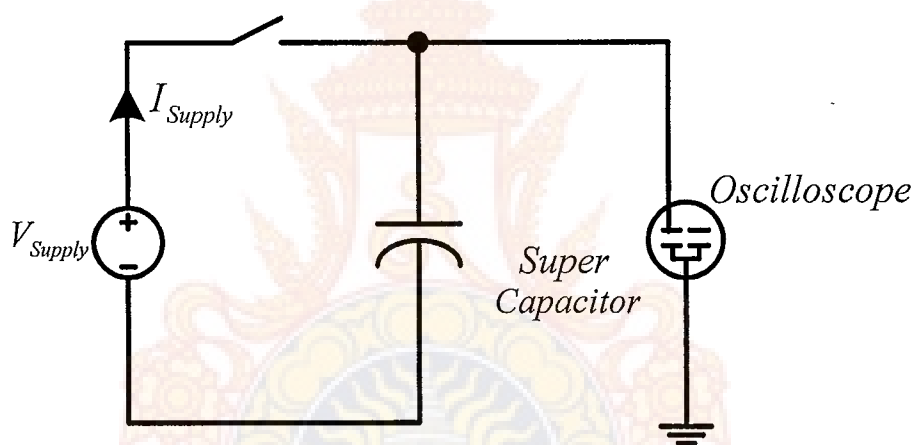
### ผลการวิจัยและข้อวิจารณ์

จากขั้นตอนออกแบบในบทที่ 2 การดำเนินงานเมื่อได้นำส่วนต่างๆ มาประกอบเรียบร้อย ทำการทดสอบและเก็บผลการทดสอบด้วยอสซิลโลสโคป และ Power Analyser

#### 4.1 การทดสอบการเก็บและถ่ายพลังงานไฟฟ้าของ Ultracapacitor

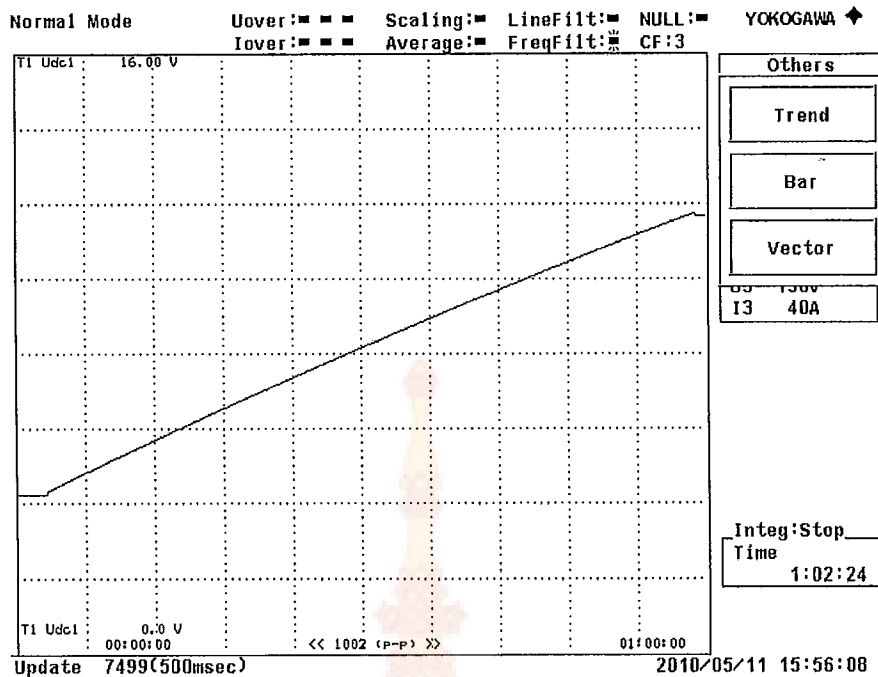
การศึกษาลักษณะการเก็บและถ่ายพลังงานของ Ultracapacitor ว่าการเก็บและถ่ายพลังงานของ Ultracapacitor ใช้ระยะเวลานานเท่าใด โดยแยกการทดสอบเป็นสองแบบดังนี้

##### 4.1.1 การทดสอบการเก็บพลังงานไฟฟ้าของชุดเปลอร์คาป่าชิเตอร์ที่ค่าแรงดันและกระแสต่างๆ

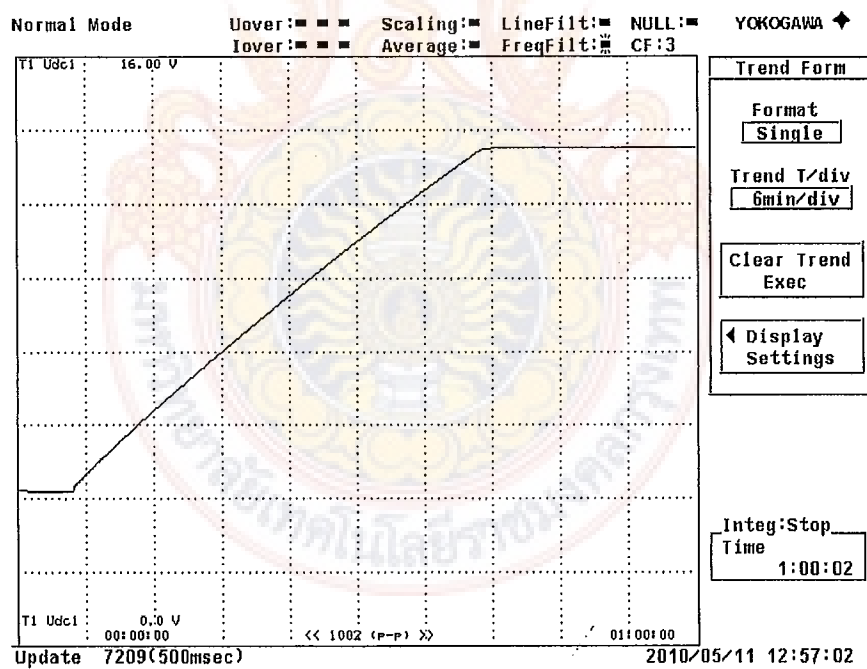


ภาพที่ 4.1 วงจรทดสอบการเก็บพลังงานไฟฟ้าของ Ultracapacitor

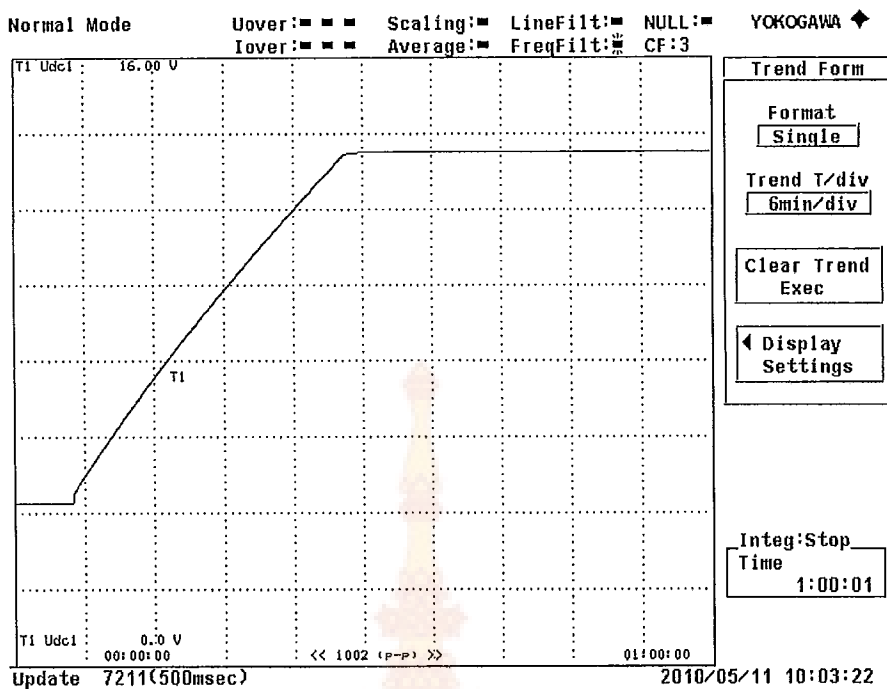
การทดสอบการเก็บพลังงานไฟฟ้าของชุดเปลอร์คาป่าชิเตอร์ที่ค่าแรงดันคงที่ที่ 14 โวลต์ จะใช้วงจรการทดสอบดังภาพที่ 4.1 โดยใช้แหล่งจ่ายไฟฟ้ากระแสตรงแบบโปรแกรมได้ขนาด 0 – 30 โวลต์ 0 – 20 แอมป์ โดยจำกัดกระแสของดีซีเพาเวอร์ซัพพลายไว้ที่ 1 แอมป์ 2 แอมป์ และ 3 แอมป์ แล้วใช้อสซิลโลสโคปวัดสัญญาณแรงดันของ Ultracapacitor จำนวน 1 โวลต์ 15 V ทั้งนี้เนื่องจากแหล่งจ่ายไฟฟ้ามีพิกัดต่ำกว่าโวลต์ของ Ultracapacitor ทั้งหมด



ภาพที่ 4.2 สัญญาณแรงดันไฟฟ้า Ultracapacitor ในการเก็บพลังงานไฟฟ้า ที่แรงดัน 14 V กระแส 1 A



ภาพที่ 4.3 สัญญาณแรงดันไฟฟ้า Ultracapacitor ในการเก็บพลังงานไฟฟ้าที่แรงดัน 14 V กระแส 2 A



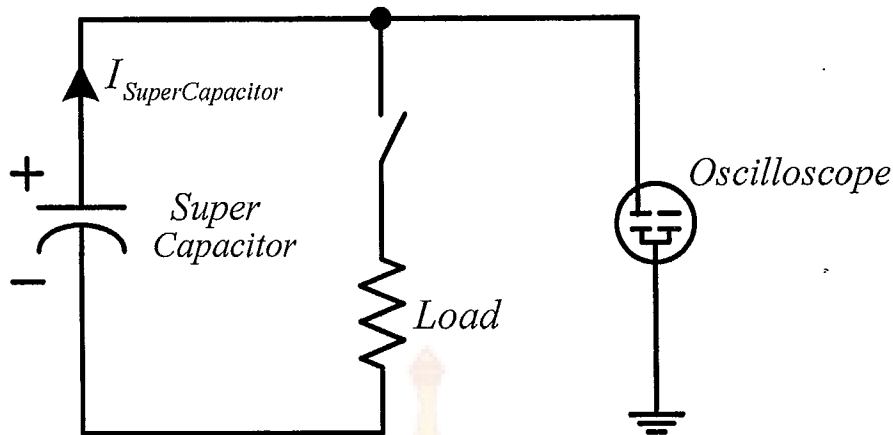
ภาพที่ 4.4 สัญญาณแรงดันไฟฟ้า Ultracapacitor ในการเก็บพลังงานไฟฟ้าที่แรงดัน 14 V กระแส 3

A

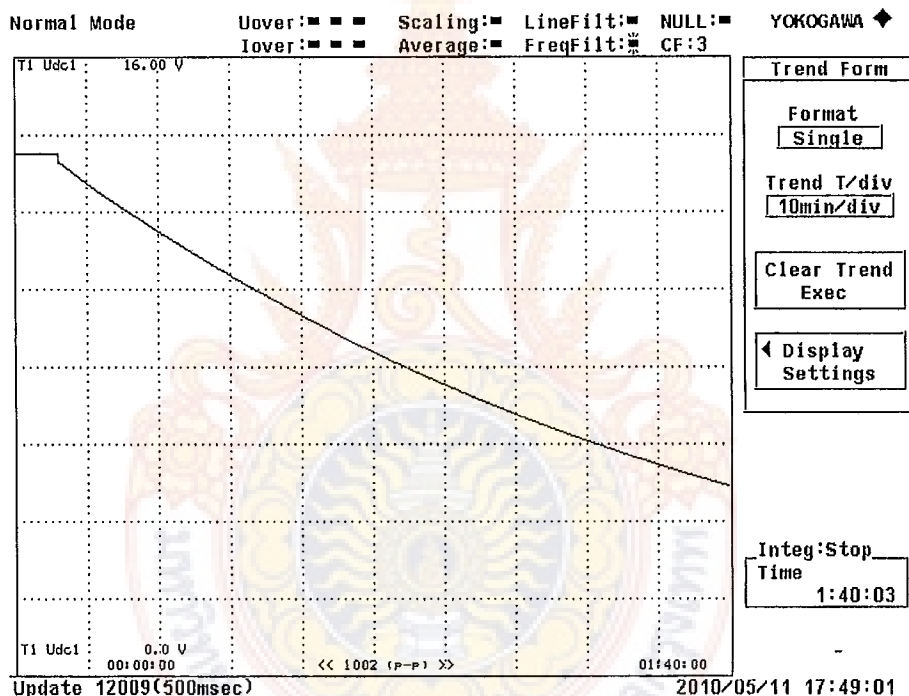
จากการทดสอบการเก็บพลังงานไฟฟ้าของชุดเบอร์คากาป้าชีเตอร์ที่ค่าแรงดัน 14 V และค่ากระแสไฟฟ้าต่างๆ จะเห็นได้ว่าเมื่อใช้ค่ากระแสสูงในการเก็บพลังงานไฟฟ้าจะใช้เวลาในการเก็บพลังงานน้อยลงแต่เมื่อใช้กระแสไฟฟ้าในการเก็บพลังงานมีค่าต่ำลงมาจะใช้เวลาในการเก็บพลังงานนานลง

#### 4.1.2 ทดสอบการคายพลังงานไฟฟ้าของ Ultracapacitor

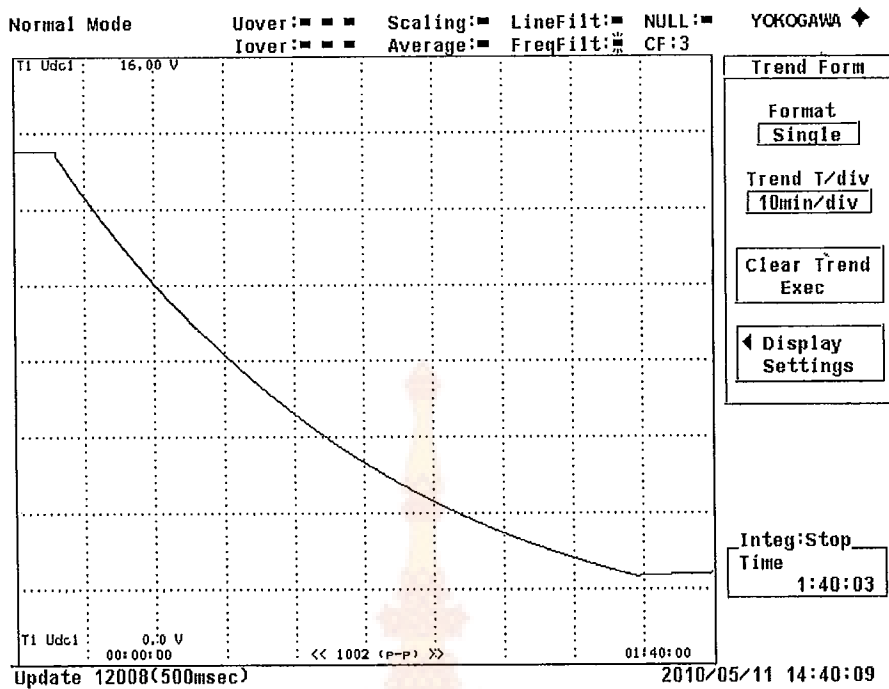
การทดสอบการคายพลังงานไฟฟ้าของ Ultracapacitor ที่ค่ากระแสต่างๆ และแรงดันคงที่ 14 โวลต์ จะใช้วงจรการทดสอบดังภาพที่ 4.5 โดยใช้แหล่งจ่ายไฟฟ้ากระแสตรงขนาด 0 – 30 V 0 – 20 A โดยจำกัดกระแสของดีซีเพาเวอร์ซัพพลายไว้ที่ 1 A 2 A และ 3 A แล้วใช้ออสซิลโลสโคปวัดตัวอย่างแรงดันของ Ultracapacitor



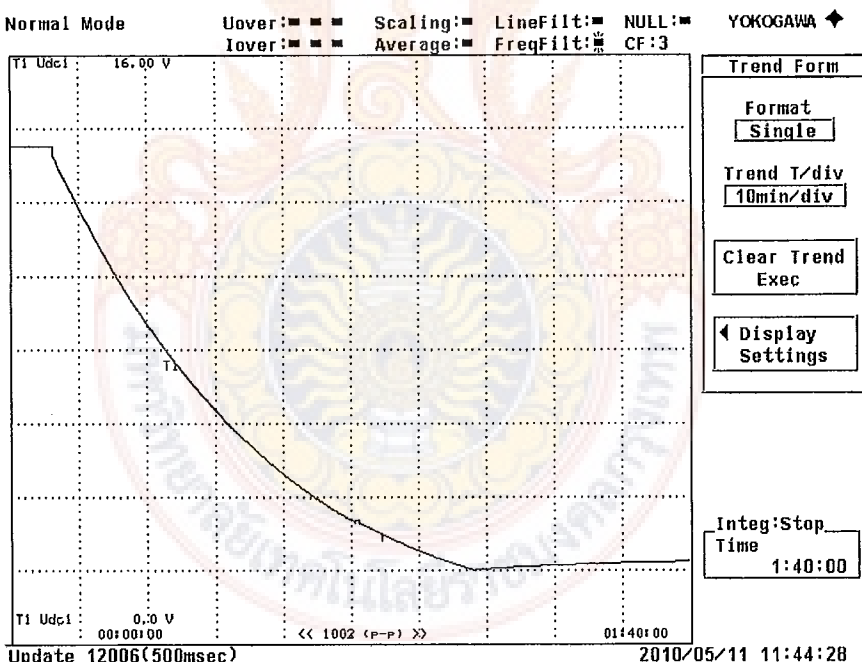
ภาพที่ 4.5 วงจรทดสอบการคายประจุของ Ultracapacitor



ภาพที่ 4.6 สัญญาณแรงดันไฟฟ้า Ultracapacitor ในการคายพลังงานไฟฟ้าที่แรงดัน 14 โวลต์ กระแส 1 แอมป์



ภาพที่ 4.7 สัญญาณแรงดันไฟฟ้า Ultracapacitor ในการคายพลังงานไฟฟ้าที่แรงดัน 14 โวลต์ กระแส 2 แอมป์



ภาพที่ 4.8 สัญญาณแรงดันไฟฟ้า Ultracapacitor ในการคายพลังงานไฟฟ้าที่แรงดัน 14 โวลต์ กระแส 3 แอมป์

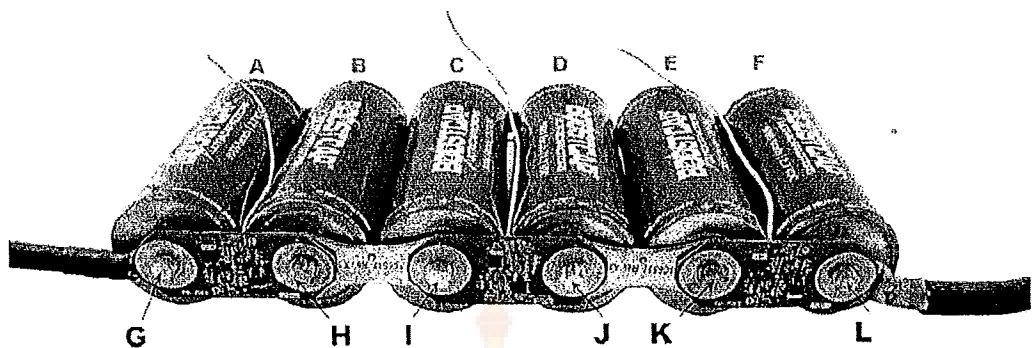
จากการทดสอบการคายพลังงานไฟฟ้าของ Ultracapacitor ที่ค่าแรงดัน 14 โวลต์และค่ากระแสไฟฟ้าต่างๆ จะเห็นได้ว่าเมื่อใช้ค่ากระแสสูงในการคายพลังงานไฟฟ้าจะใช้เวลาในการคายพลังงานน้อยแต่เมื่อมีโหลดน้อยหรือกระแสต่ำๆ ก็จะทำให้เวลาการคายพลังงานมากขึ้นทำให้ Ultracapacitor มีคุณสมบัติใหม่กับแบบเดิม ดังภาพที่ 4.8 เมื่อจ่ายโหลดที่ทำให้มีกระแสไฟฟ้าที่ 3 แอมป์ จะทำให้เกิดการคายพลังงานของ Ultracapacitor ร่องถึงแรงดันระดับคงที่ 2.0 โวลต์ใช้เวลา 1 ชั่วโมง แต่ถ้าจ่ายกระแสโหลดที่ 1 แอมป์จะใช้เวลาถึง 1.50 ชั่วโมงในโครงงานจ่ายโหลดที่ 2 แอมป์และแรงดันใช้งานอยู่ที่ 10 – 13.5 โวลต์ ดังนั้นจึงสามารถจ่ายพลังงานไฟฟ้าได้เป็นเวลาประมาณ 30 นาที

#### 4.2 การจำลองการเก็บและคายพลังงานไฟฟ้าของ Ultracapacitor ด้วยโปรแกรม Pspice

##### 4.2.2 การจำลองการคายประจุของ Ultracapacitor 502.34 พารัต 13.5 โวลต์

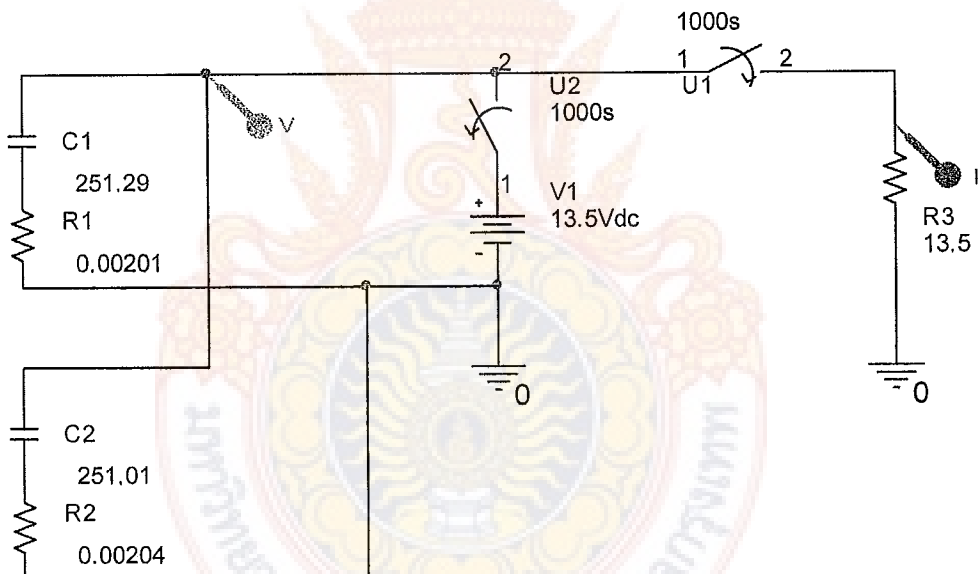
ตารางที่ 4.1 คุณสมบัติของ Ultracapacitor

Seriel Number	Capacitance (F)	Resistance ESR
C12PT08256B0060	1265.4	0.38
C12PT08257B0002	1248.1	0.38
C12PT08257B0014	1261.5	0.4
C12PT08256B0024	1252.8	0.42
C12PT08256B0034	1254.8	0.43
C12PT08256B0013	1265.4	0.38
C12PT08256B0020	1248.3	0.41
C12PT08256B0061	1252.8	0.4
C12PT08257B0013	1264.3	0.42

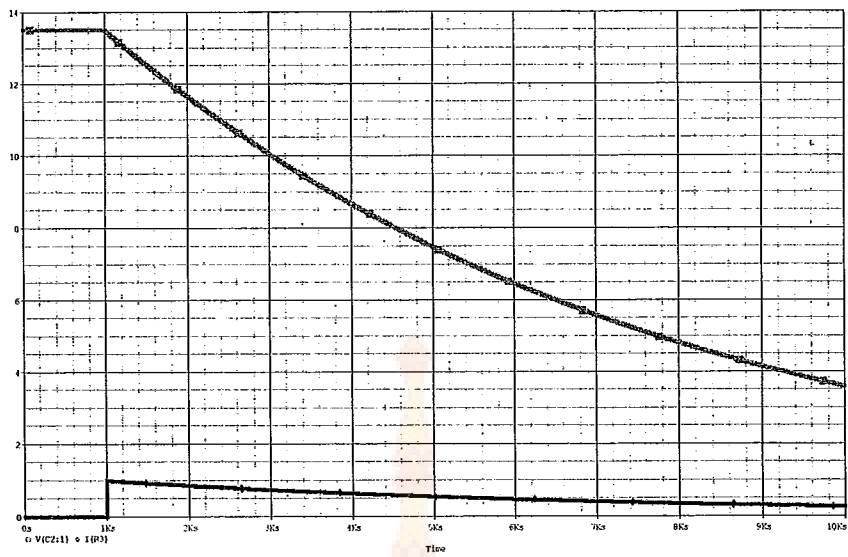


ภาพที่ 4.9 Ultracapacitor รุ่น พร้อมแพงวงจร Cell balance จำนวน 6 เซลล์

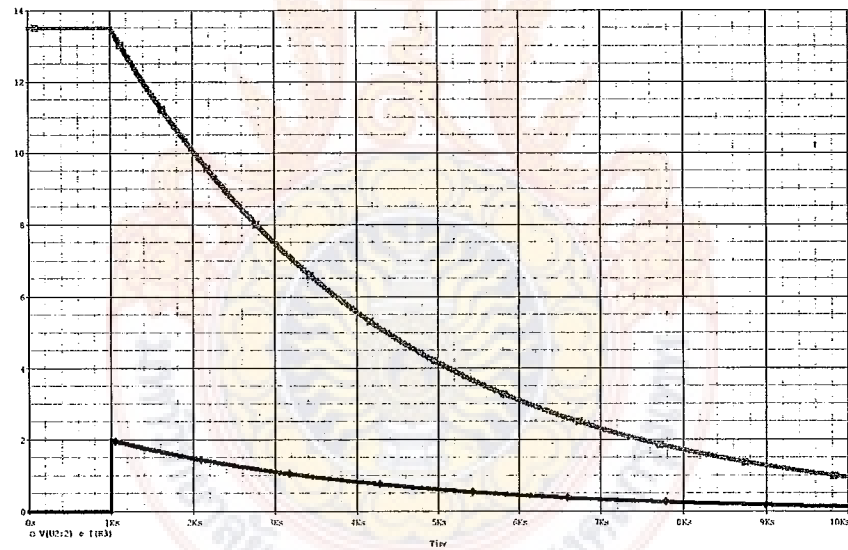
#### 4.2.2 การจำลองการคายประจุของ Ultra Capacitor 502.34 ฟาร์ด 13.5 โวลต์



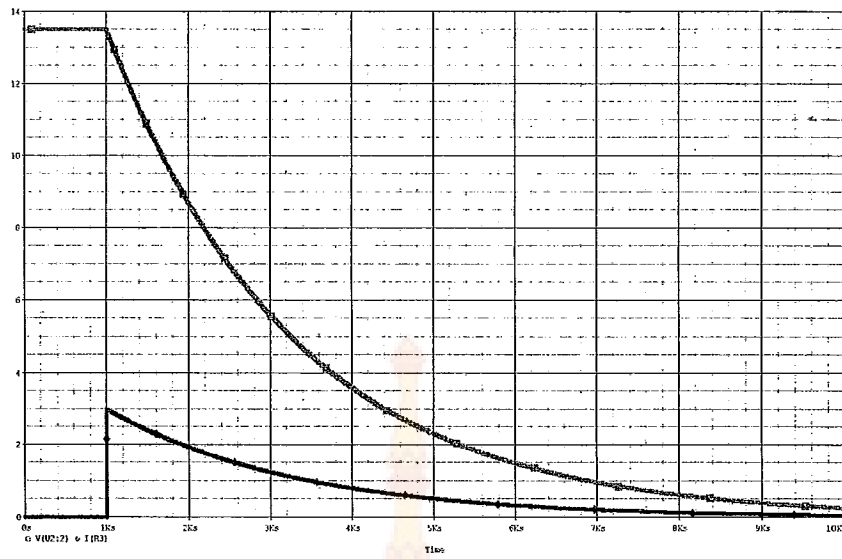
ภาพที่ 4.10 วงจรทดสอบการคายประจุของ Ultra Capacitor



ภาพที่ 4.11 สัญญาณแรงดันและกระแสของ Ultracapacitor ในการคายประจุที่แรงดัน 13.5 โวลต์ กระแส 1 แอมป์



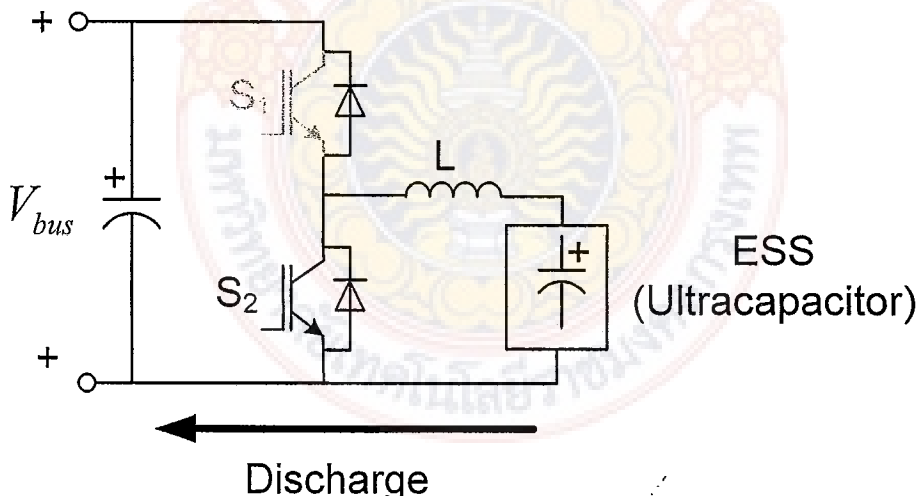
ภาพที่ 4.12 สัญญาณแรงดันและกระแสของ Ultra Capacitor ในการคายประจุที่แรงดัน 13.5 โวลต์ กระแส 2 แอมป์



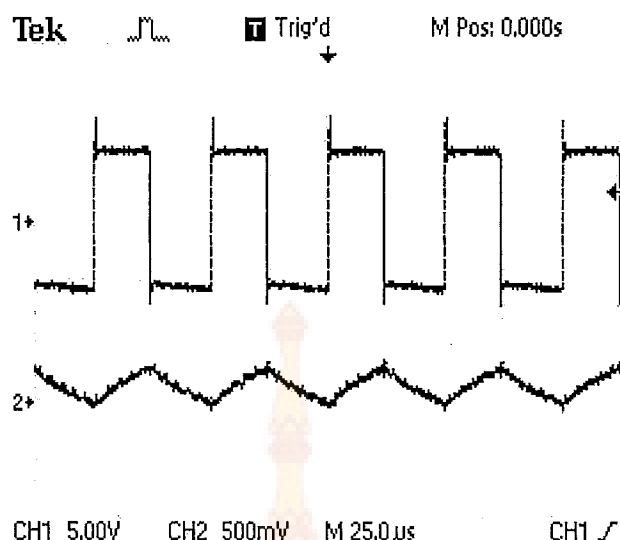
ภาพที่ 4.13 สัญญาณแรงดันและกระแสของ Ultracapacitor ในการคายประจุที่แรงดัน 13.5 โวลต์ กระแส 3 แอมป์

#### 4.3 การทดสอบการส่งถ่ายพลังงานจาก Ultracapacitor ผ่านบานกอนเวอร์เตอร์ไปยังระบบ

เมื่อทำการออกแบบบานกอนเวอร์เตอร์สองทิศทางสำหรับ Ultracapacitor แล้วจึงทำการทดสอบว่าบานกอนเวอร์เตอร์สามารถทำงานได้ถูกต้องหรือไม่ จึงต้องทดสอบการส่งถ่ายพลังงานออกจาก Ultracapacitor ไปยังโหลดด้วยด้านทัน



ภาพที่ 4.14 การทดสอบการจ่ายพลังงานออกจาก Ultracapacitor



ภาพที่ 4.15 สัญญาณคำสั่งสวิตช์ (CH1: 5V/div) และสัญญาณกระแสตัวเหนี่ยวนำผ่านเซนเซอร์ (CH2: 10A/div)

การทดสอบประสิทธิภาพที่ค่ากระแสเอาต์พุตค่าต่างๆ จะใช้แหล่งจ่ายไฟฟ้ากระแสตรงขนาด 0 – 30 โวลต์ 0 – 10 แอมป์ ต่อเข้าทางอินพุตเพื่อเป็นแรงดันอินพุตให้คิจ托ล์มัตติมิเตอร์วัดค่ากระแสและแรงดันทางอินพุตและเอาต์พุตตามภาพที่ ใช้ตัวด้านหน้าปรับค่าเป็นโหมดทดสอบ ปรับค่ากระแสเอาต์พุตจากค่าที่ไม่มีโหมดจนถึงค่ากระแสพิกัดและสามารถคำนวณหาค่าประสิทธิภาพเมื่อทำการต่อโหมดได้ จากสมการ

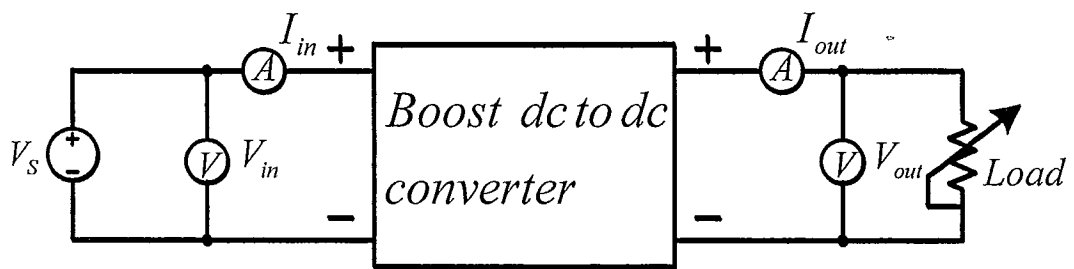
$$\eta = \frac{P_{out}}{P_{in}} \times 100\%$$

กำลังไฟฟ้าด้านเอาต์พุตหาได้จาก

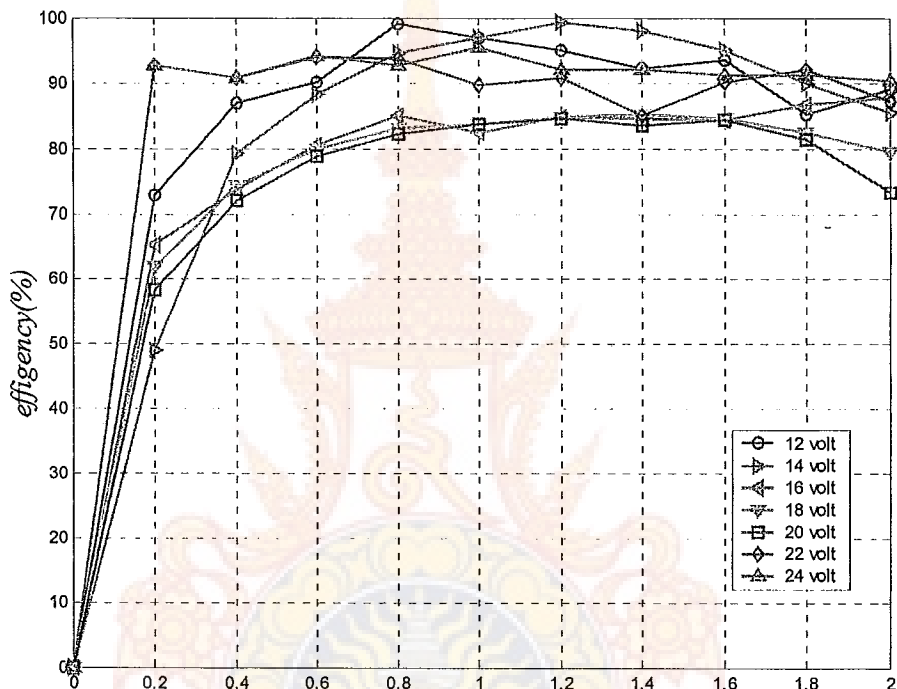
$$P_{out} = V_{out} \times I_{out}$$

กำลังไฟฟ้าด้านอินพุตหาได้จาก

$$P_{in} = V_{in} \times I_{in}$$

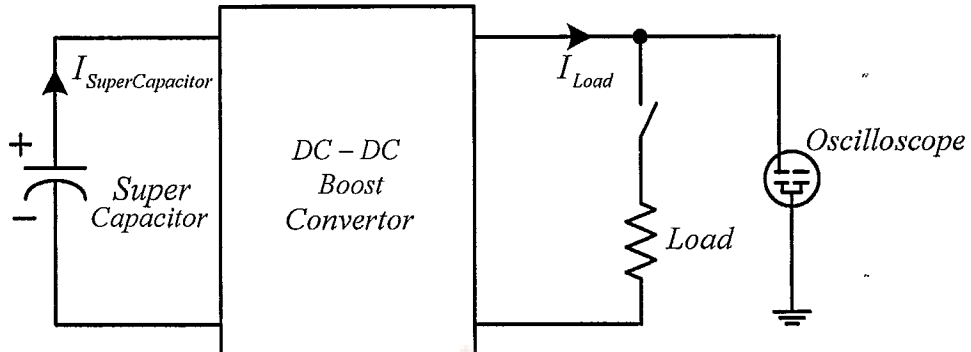


ภาพที่ 4.16 วงจรการวัดหาค่าประสิทธิภาพของแหล่งจ่ายไฟที่ค่ากระแสเอาต์พุตค่าต่างๆ

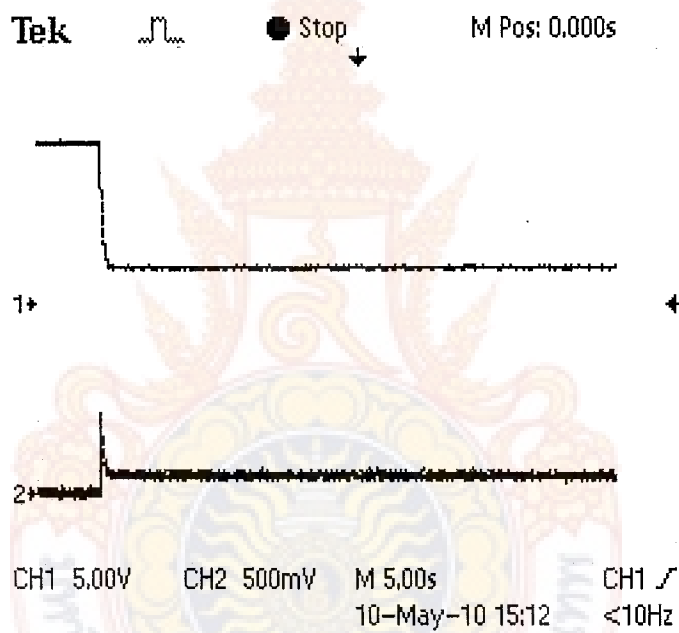


ภาพที่ 4.17 กราฟความสัมพันธ์ระหว่างประสิทธิภาพกับกระแสเอาต์พุตขณะคายพลังงาน

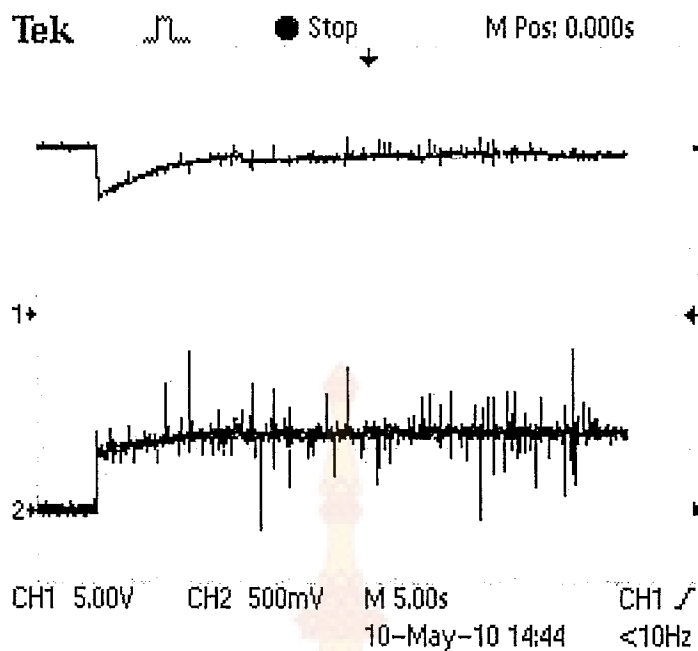
จากนั้นทำการทดสอบต่อ Ultracapacitor ผ่านวงจรบูสต์คอนเวอร์เตอร์จ่ายโหลด 100 % ทันทีและจ่ายโหลด 25 % แล้วจ่ายโหลด 100 % ทันที



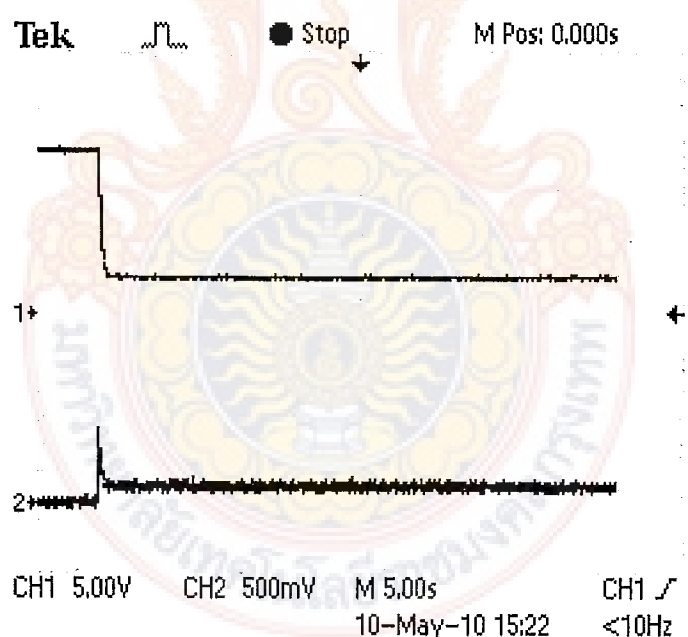
ภาพที่ 4.18 วงจรต่อใช้งานชุดปีกอร์ค้าปาร์ติเตอร์ผ่านวงจรรูปสกอนเวอร์เตอร์จ่าย Step load



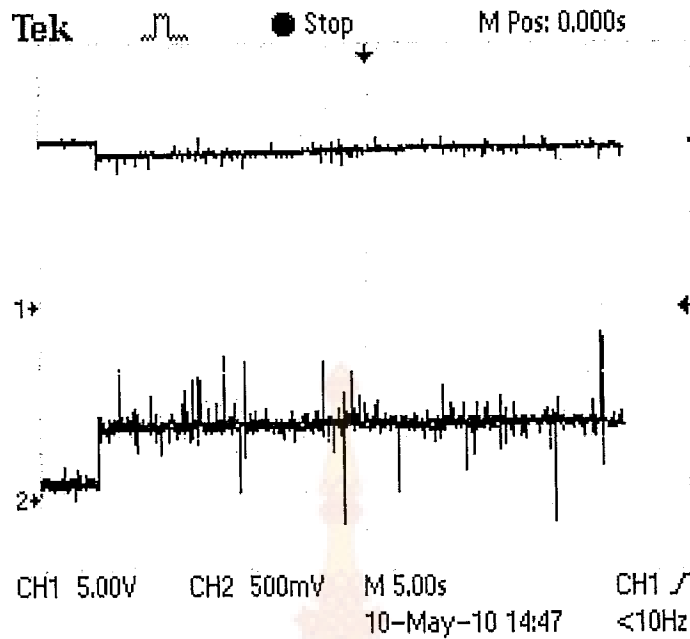
ภาพที่ 4.19 สัญญาณแรงดันผ่านเซนเซอร์ (CH1: 25V/div) และกระแสผ่านเซนเซอร์ (CH2: 10A/div) เมื่อจ่ายโหลด 100% ทันทีแบบลุปเปิด



ภาพที่ 4.20 สัญญาณแรงดันผ่านเซนเซอร์ (CH1: 25V/div) และกระแสผ่านเซนเซอร์ (CH2: 10A/div) เมื่อจ่ายโหลด 100 % ทันทีแบบลูปปิด

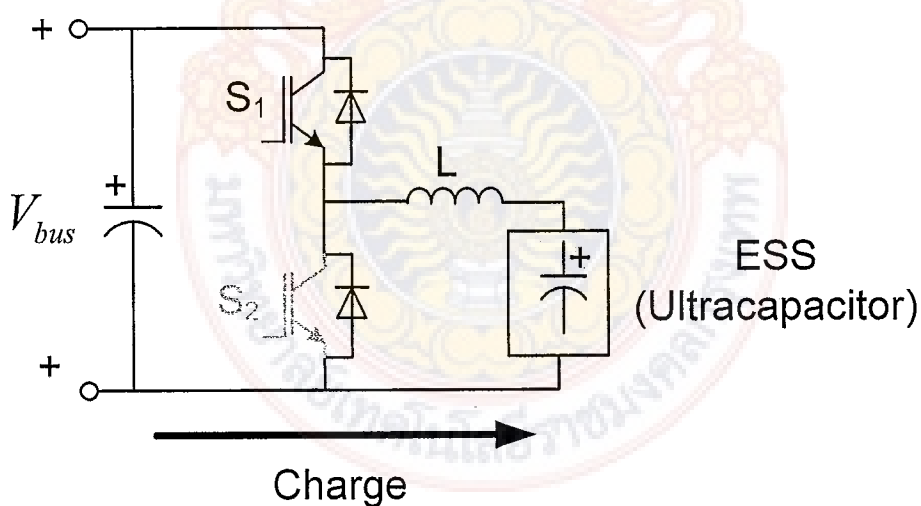


ภาพที่ 4.21 สัญญาณแรงดันผ่านเซนเซอร์ (CH1: 25V/div) และกระแสผ่านเซนเซอร์ (CH2: 10A/div) เมื่อจ่ายโหลดที่ 25 % แล้วเพิ่มโหลดเป็น 100 % แบบลูปปิด

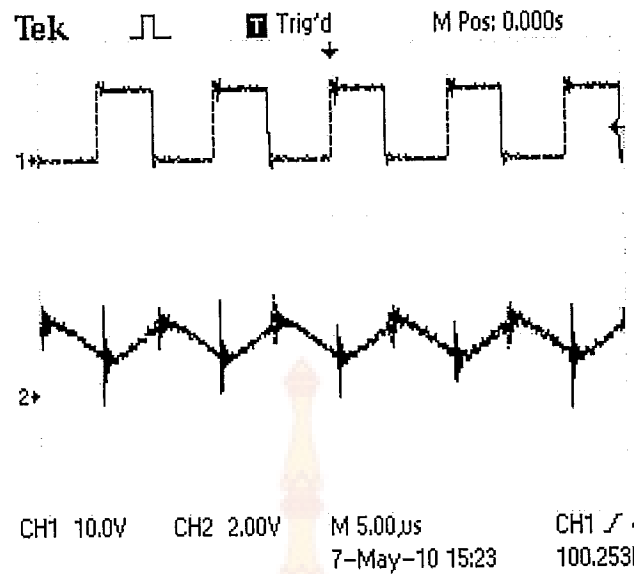


ภาพที่ 4.22 ตัวอย่างแรงดันผ่านเซนเซอร์ (CH1: 25V/div) และกระแสผ่านเซนเซอร์ (CH2: 10A/div) กระแสเมื่อจ่ายโหลดที่ 25 % แล้วเพิ่มโหลดเป็น 100 % แบบลูปปิด

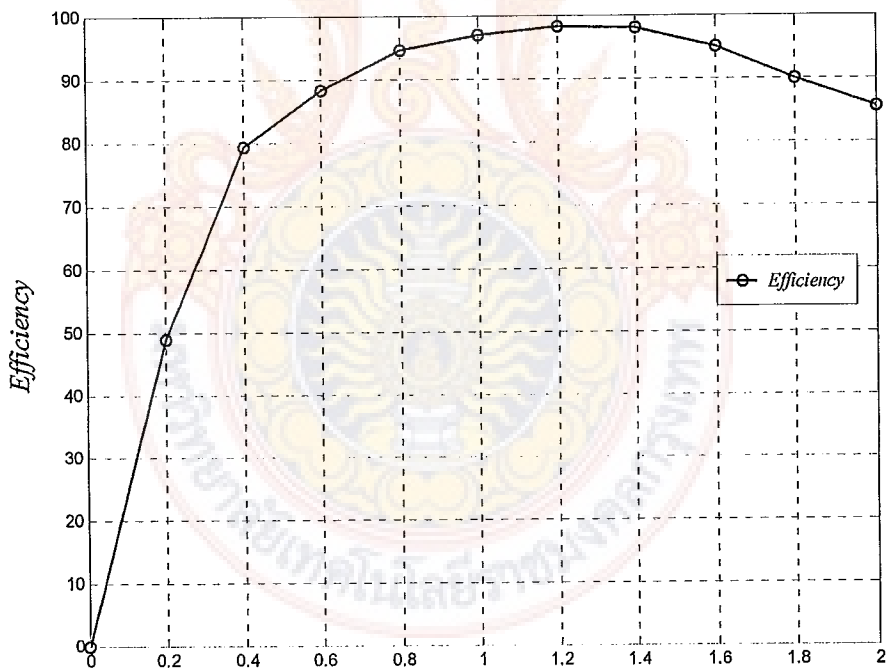
#### 4.4 การทดสอบการส่งถ่ายพลังงานจากระบบผ่านบักกอนเวอร์เตอร์ไปยัง Ultracapacitor



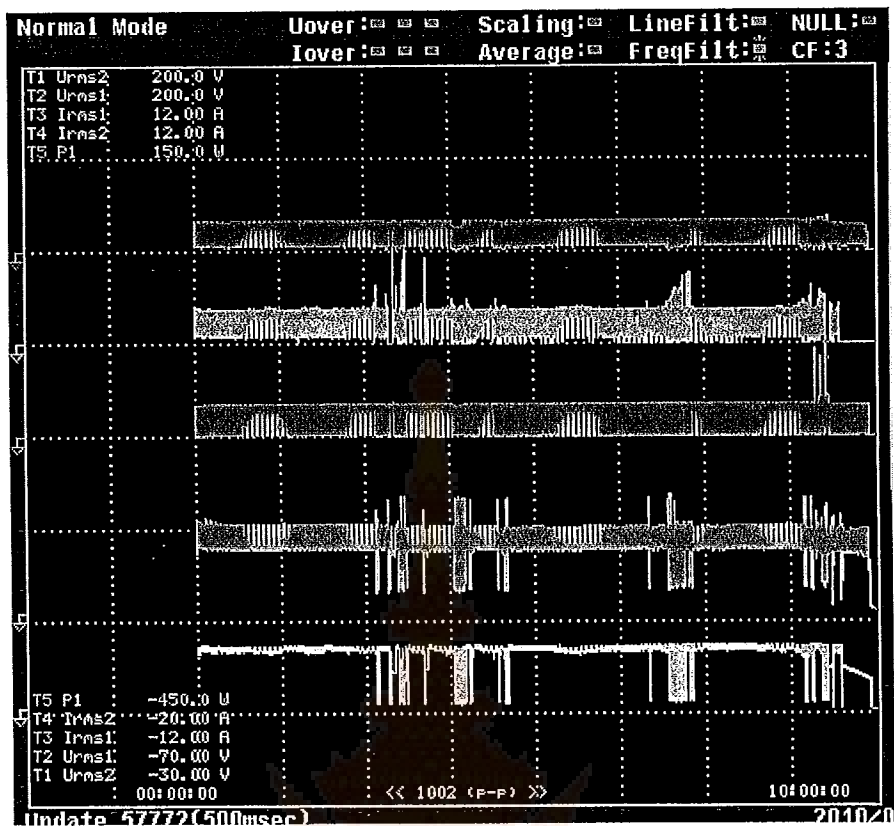
ภาพที่ 4.23 การทดสอบการจ่ายพลังงานเข้าสู่ Ultracapacitor



ภาพที่ 4.24 สัญญาณคำสั่งสวิตช์ (CH1: 5V/div) และสัญญาณกระแสตัวเหนี่ยวนำผ่านเซนเซอร์ (CH2: 10A/div)



ภาพที่ 4.25 กราฟความสัมพันธ์ระหว่างประสิทธิภาพกับกระแสตัวเหนี่ยวนำพลังงาน



ภาพที่ 4.25 กราฟบันทึกผลการทำงานของวงจรประจุและค่ายพลังงานไฟฟ้าอุปกรณ์ Ultracapacitor ในช่วงเวลา 1hr/div

## บทที่ 5

### สรุปผลการวิจัยและข้อเสนอแนะ

#### 5.1 สรุปผลการวิจัยที่ได้จากการทดลอง

5.1.1 แบบจำลองทางคณิตศาสตร์ของ Ultracapacitor ด้วยโปรแกรม Orcad/Pspice สามารถจำลองพฤติกรรมกระแส แรงดัน และระยะเวลาในการเก็บพลังงาน

5.1.2 ตัวเก็บประจุแบบ Ultracapacitor สามารถเก็บพลังงานไฟฟ้าได้เหมือนแบตเตอรี่ แต่มีข้อดีที่ทนกระแสชั่วขณะได้สูง มีอายุการใช้งานที่นาน และมีความเสียหุนในการต่อใช้งานมากกว่า

5.1.3 ดิซีทูดีซีคอนเวอร์เตอร์แบบสองทิศทางมีการทำงานเทียบเคียงกับวงจรบักและการจรา CST ในขณะที่รัฐและดิสcharge ตามลำดับ

5.1.3 การทดสอบระบบคอนเวอร์เตอร์ทั้งหมดสามารถทำงานได้ทั้งในขณะเก็บพลังงานและปล่อยพลังงานในช่วงเวลาที่ทดสอบได้เป็นอย่างดี

#### 5.2 ปัญหาที่พบในงานวิจัย

5.2.1 เนื่องจาก Ultrapacitor ต้องสั่งซื้อจากต่างประเทศ ซึ่งใช้เวลานานในการนำเข้า

5.2.2 การทดสอบร่วมกับดิซีบสันน์กระแสที่ค่อนข้างสูงต้องใช้แหล่งจ่ายไฟฟ้ากระแสตรงแบบโปรแกรมได้ และอิเล็กทรอนิกส์โหลด ห้องปฏิบัติการในสาขาวิชาวิศวกรรมไฟฟ้ายังไม่มีเครื่องมือดังกล่าว

#### 5.3 ข้อเสนอแนะ

5.3.1 พัฒนาให้ระบบสามารถทำงานไมโครคอนโทรลเลอร์แบบฝังตัว (Embedded Microcontroller)

5.3.2 พัฒนาให้คอนเวอร์เตอร์สามารถทำงานแบบขนานด้วยเทคนิคการเหลี่ยมเฟส (Interleaved Technique) เพื่อช่วยลดกระแสกระแสเพื่อมได้

## บรรณานุกรม

### ภาษาไทย

กรมพัฒนาพลังงานทดแทนและอนุรักษ์พลังงาน ศักยภาพพลังงานแสงอาทิตย์ของประเทศไทย

2542. อ่อน-ไ莲น์

ทรงคุณ เพื่อ กอง แหล่งจ่ายไฟฟ้าชิ่งแบบสองทบแรงดันไฟฟ้ากระแสตรง ปริญญาภินธ์ครุศาสตร์อุตสาหกรรมบัณฑิต สาขาวิชากรรมไฟฟ้า ภาควิชาครุศาสตร์ไฟฟ้า คณะครุศาสตร์ อุตสาหกรรม สถาบันเทคโนโลยีพระจอมเกล้าพระนครเหนือ, 2548

วีรเชษฐ์ ขันเงิน วุฒิพล ราษฎร์เศรษฐ์ อิเล็กทรอนิกส์กำลัง กรุงเทพ หจก. วี.เจ พรินติ้ง, 2548  
คราชุช สุขบัวแก้ว สมยศ แก้วดุรง แหล่งจ่ายไฟฟ้ากระแสตรงจากชูปเปอร์คาป่าซิเตอร์โดยใช้  
เซลล์แสงอาทิตย์ ปริญญาภินธ์ ครุศาสตร์อุตสาหกรรมบัณฑิต สาขาวิชากรรมไฟฟ้า  
ภาควิชาครุศาสตร์ไฟฟ้า คณะครุศาสตร์อุตสาหกรรม สถาบันเทคโนโลยีพระจอมเกล้าพระ  
นครเหนือ, 2548

ศุภสันต์ พรมเนรมิต เครื่องประจุแบบเตอร์เร็บแบบสองทบแรงดันไฟฟ้าโดยใช้เซลล์แสงอาทิตย์  
ปริญญาภินธ์ ครุศาสตร์อุตสาหกรรมบัณฑิต สาขาวิชากรรมไฟฟ้า ภาควิชาครุศาสตร์  
ไฟฟ้า คณะครุศาสตร์อุตสาหกรรม สถาบันเทคโนโลยีพระจอมเกล้าพระนครเหนือ, 2548

### ภาษาอังกฤษ

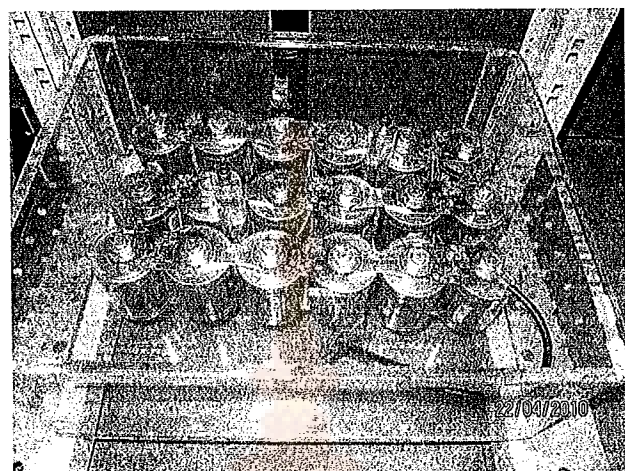
Adam Marcus Namisnyk A SURVEY OF ELECTROCHEMICAL SUPERCAPACITOR

TECHNOLOGY University of Technology Sydney Faculty of Engineering, 2003

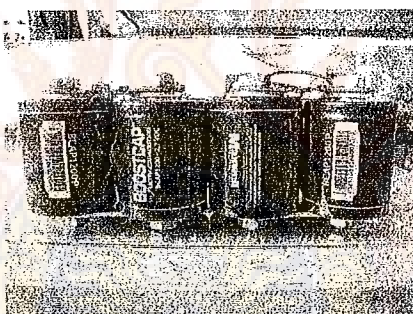
Phatiphat Thounthong Stephane Real and Bernard Davat Supercapacitor as an energy storage  
for fuel cell automotive hybrid electrical system France, 2005

ภาคผนวก ก

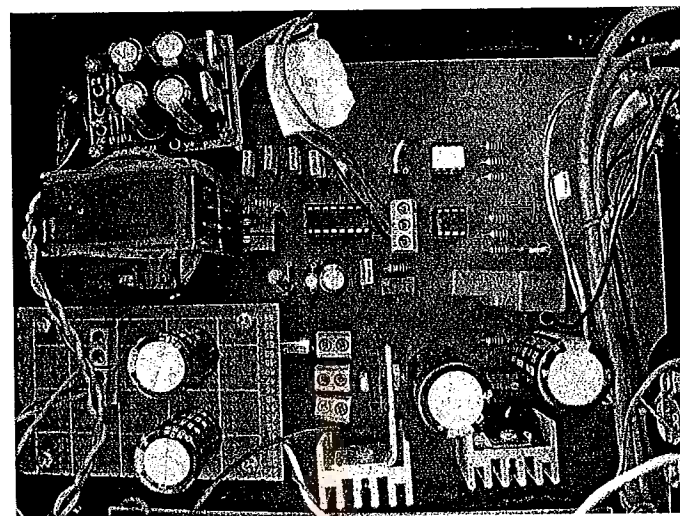
ภาพชิ้นงานในส่วนต่างๆ



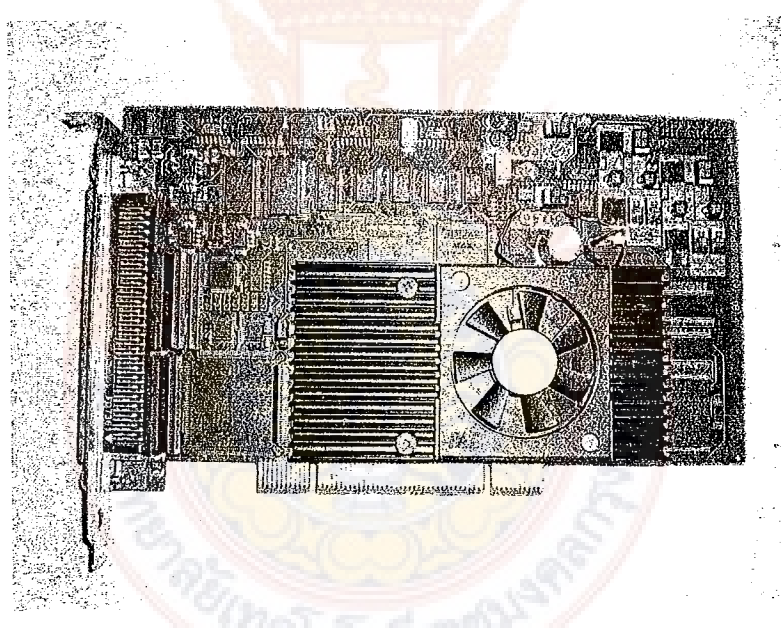
ภาพที่ ก Ultracapacitor ขนาด 42 V



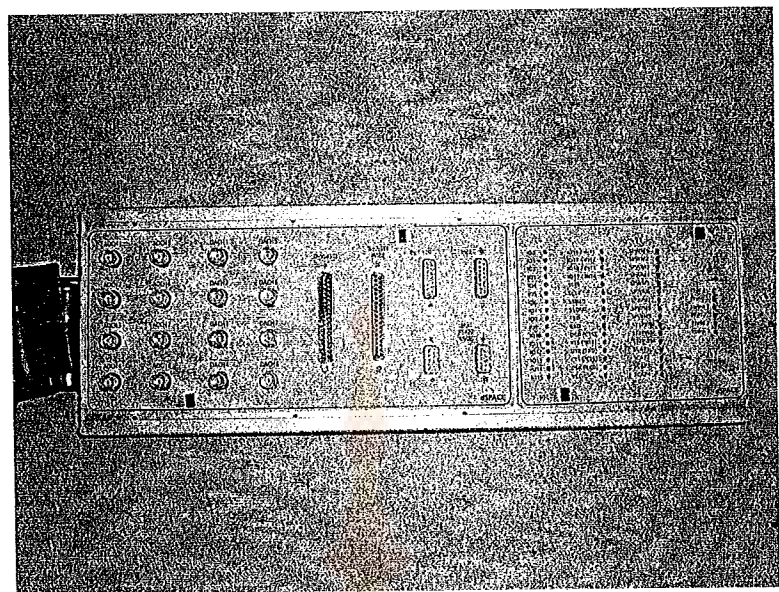
ภาพที่ ข Ultracapacitor ขนาด 15 V



ภาพที่ ก วงจรคอนเวอร์เตอร์



ภาพที่ ง การ์ดขินแทอร์เฟส DS1104



ภาพที่ จ ช่องสัญญาณเอาต์พุตของการ์ดอินเตอร์เฟส DS1104



ภาคผนวก ๖

**Datasheet ของ Ultracapacitor**



**BCAP0650 P270**  
**BCAP1200 P270**  
**BCAP1500 P270**  
**BCAP2000 P270**  
**BCAP3000 P270**



**FEATURES AND BENEFITS**

- 2.7 V operating voltage
- Highest power performance available
- Lowest RC time constant
- Over 1,000,000 duty cycles
- Proprietary material science and packaging technology
- Threaded terminal or weldable post versions
- Ultra-low internal resistance

**TYPICAL APPLICATIONS**

- Automotive subsystems
- Back-up power
- Grid stabilization
- Hybrid drive trains
- Rail system power
- Transportation
- Utility vehicles

**PRODUCT SPECIFICATIONS**

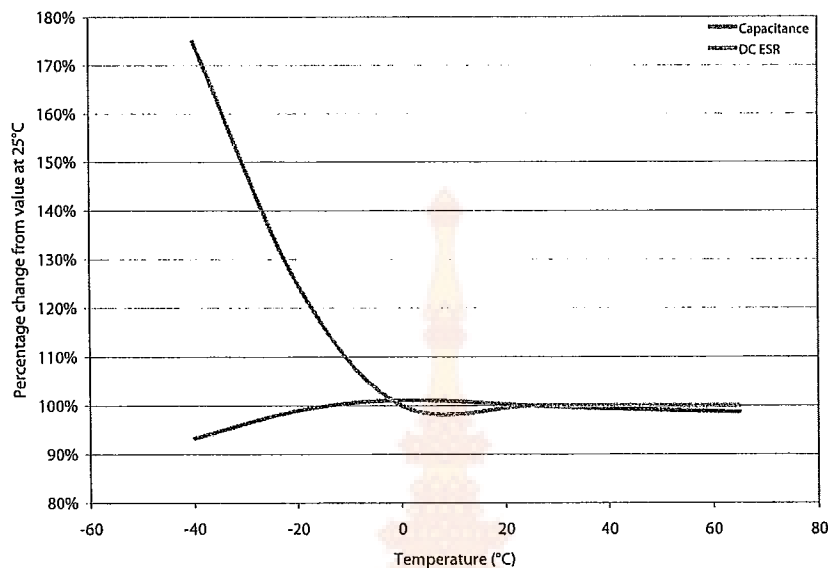
	<b>BCAP0650</b>	<b>BCAP1200</b>	<b>BCAP1500</b>	<b>BCAP2000</b>	<b>BCAP3000</b>
<b>ELECTRICAL</b>					
<b>Capacitance</b>					
Nominal capacitance	650 F	1,200 F	1,500 F	2,000 F	3,000 F
Tolerance capacitance	-0% / +20%	-0% / +20%	-0% / +20%	-0% / +20%	-0% / +20%
<b>Voltage</b>					
Rated voltage	2.7 V DC				
<b>Resistance</b>					
ESR, DC (max., room temperature)	0.8 mΩ	0.58 mΩ	0.47 mΩ	0.35 mΩ	0.29 mΩ
ESR, AC (max., room temperature, 1kHz)	0.6 mΩ	0.44 mΩ	0.35 mΩ	0.26 mΩ	0.24 mΩ
<b>Current</b>					
Maximum continuous current (20°C temperature rise)	62 A	81 A	97 A	123 A	147 A
Maximum peak current, 1 sec.	577 A	955 A	1190 A	1590 A	2170 A
Leakage current (After 72 hours at 25°C. Initial leakage current can be higher.)	1.5 mA	2.7 mA	3 mA	4.2 mA	5.2 mA
<b>TEMPERATURE</b>					
Operating temperature range (Cell case temperature)	-40°C to +65°C				
Storage temperature range (Stored uncharged)	-40°C to +70°C				
<b>POWER AND ENERGY</b>					
Usable power density, Pd	6,800 W/kg	5,800 W/kg	6,600 W/kg	6,900 W/kg	5,900 W/kg
Usable power	1,090 W	1,510 W	1,860 W	2,500 W	3,020 W
Impedance match power, Pmax	14,200 W/kg	12,100 W/kg	13,800 W/kg	14,500 W/kg	12,300 W/kg
Gravimetric energy density, Emax	4.11 Wh/kg	4.67 Wh/kg	5.42 Wh/kg	5.63 Wh/kg	5.96 Wh/kg
Energy available	0.66 Wh	1.22 Wh	1.52 Wh	2.03 Wh	3.04 Wh

**PRODUCT SPECIFICATIONS (cont.)**

	BCAP0650	BCAP1200	BCAP1500	BCAP2000	BCAP3000
<b>DC LIFESPAN</b>					
<b>Endurance</b> (at rated voltage and temperature)	1,500 hours	1,500 hours	1,500 hours	1,500 hours	1,500 hours
<b>Capacitance change</b> (% decrease from rated value)	≤20%	≤20%	≤20%	≤20%	≤20%
<b>ESR change</b> (% increase from rated value)	≤60%	≤60%	≤60%	≤60%	≤60%
<b>Life Test</b> (at rated voltage and 25°C)	10 years	10 years	10 years	10 years	10 years
<b>Capacitance change</b> (% decrease from rated value)	≤20%	≤20%	≤20%	≤20%	≤20%
<b>ESR change</b> (% increase from rated value)	≤100%	≤100%	≤100%	≤100%	≤100%
<b>Cycle Test</b> (Number of cycles)	1 million	1 million	1 million	1 million	1 million
<b>Capacitance change</b> (% decrease from rated value)	≤20%	≤20%	≤20%	≤20%	≤20%
<b>ESR change</b> (% increase from rated value)	≤100%	≤100%	≤100%	≤100%	≤100%
<b>Shelf Life</b> (Storage uncharged up to maximum storage temperature)	2 years	2 years	2 years	2 years	2 years
<b>Capacitance change</b> (% change from rated value)	10%	10%	10%	10%	10%
<b>ESR change</b> (% change from rated value)	50%	50%	50%	50%	50%
<b>CONNECTION</b>					
Power output terminals	Threaded (K04) or Weldable (K05)				
<b>PHYSICAL</b>					
Dimensions	See drawings				
Weight	0.16 kg	0.26 kg	0.28 kg	0.36 kg	0.51 kg
<b>SAFETY</b>					
<b>Short circuit current</b> (Current possible with short circuit from rated voltage. Do not use as an operating current.)	3,400 A	4,700 A	5,700 A	7,700 A	9,300 A
<b>Certifications</b>	RoHS	RoHS	RoHS	RoHS	UL810a, RoHS
<b>Surge voltage</b> (voltage above this level can cause catastrophic failure)	2.8 V DC	2.8 V DC	2.8 V DC	2.8 V DC	2.8 V DC
<b>Isolation voltage</b>	N/A	N/A	N/A	N/A	N/A

## TYPICAL CHARACTERISTICS

	BCAP0650	BCAP1200	BCAP1500	BCAP2000	BCAP3000
<b>THERMAL CHARACTERISTICS</b>					
Thermal resistance (R <sub>th</sub> , case to ambient)	6.5°C/W	5.3°C/W	4.5°C/W	3.8°C/W	3.2°C/W



## ADDITIONAL TECHNICAL INFORMATION

Capacitance and ESR, DC measured per document no. 1007239 available at [www.maxwell.com](http://www.maxwell.com). Unless specified, all specifications are at 25°C.

$$\text{Short circuit current (I}_{\text{sc}}\text{)} = \frac{\text{V}_{\text{RATED}}}{\text{ESR(DC)}}$$

$$\text{E}_{\text{max}} = \frac{\frac{1}{2} \text{CV}^2}{3,600 \times \text{mass}}$$

$$\text{P}_{\text{max}} = \frac{\text{V}^2}{4 \times \text{ESR(DC)} \times \text{mass}}$$

$$\text{P}_{\text{d}} = \frac{0.12\text{V}^2}{\text{ESR(DC)} \times \text{mass}}$$

$$\text{Maximum peak current (1 sec)} = \frac{\frac{1}{2} \text{CV}}{\text{C} \times \text{ESR(DC)} + 1}$$

## MOUNTING RECOMMENDATIONS

Do not reverse polarity. Maximum torque for M12 screw terminals is 14Nm. Cells are designed to be connected into series or parallel strings. Clean terminals before mounting..

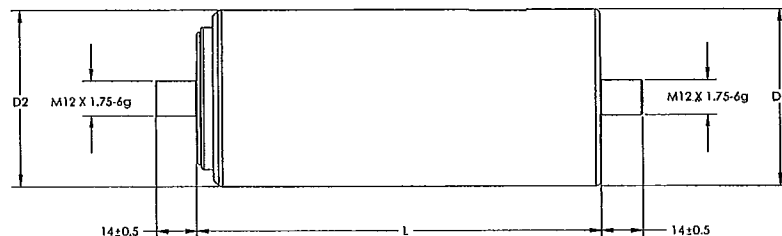
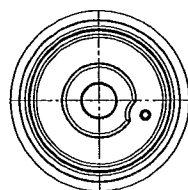
## MARKINGS

Products are marked with the following information: Rated capacitance, rated voltage, product number, name of manufacturer, positive and negative terminal, warning marking, serial number.

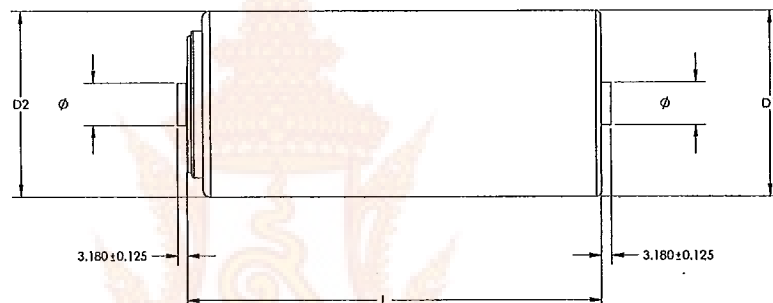
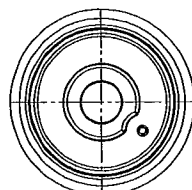
**DATASHEET**  
**K2 SERIES 650F - 3,000F ULTRACAPACITORS**

**Maxwell**  
TECHNOLOGIES

**DIMENSIONS**



Part Description	Vol.(l)	Dimensions (mm)			Package Quantity
		L (±0.3mm)	D1 (±0.2mm)	D2 (±0.7mm)	
BCAP0650 P270 K04 02	0.211	51.5	60.4	60.7	15
BCAP1200 P270 K04 02	0.294	74	60.4	60.7	15
BCAP1500 P270 K04 02	0.325	85	60.4	60.7	15
BCAP2000 P270 K04 02	0.373	102	60.4	60.7	15
BCAP3000 P270 K04 02	0.475	138	60.4	60.7	15



Part Description	Vol.(l)	Dimensions (mm)			Package Quantity
		L (±0.3mm)	D1 (±0.2mm)	D2 (±0.7mm)	
BCAP0650 P270 K05 02	0.15	51.5	60.4	60.7	15
BCAP1200 P270 K05 02	0.133	74	60.4	60.7	15
BCAP1500 P270 K05 02	0.264	85	60.4	60.7	15
BCAP2000 P270 K05 02	0.312	102	60.4	60.7	15
BCAP3000 P270 K05 02	0.414	138	60.4	60.7	15

Product dimensions are for reference only unless otherwise identified. Product dimensions and specifications may change without notice.  
Please contact Maxwell Technologies directly for any technical specifications critical to application.

Maxwell Technologies, Inc.  
Worldwide Headquarters  
9244 Balboa Avenue  
San Diego, CA 92123  
USA  
Tel: +1 858 503 3300  
Fax: +1 858 503 3301

Maxwell Technologies SA  
CH-1728 Rossens  
Switzerland  
Tel: +41 (0)26 411 85 00  
Fax: +41 (0)26 411 85 05

Maxwell Technologies, GmbH  
Brucker Strasse 21  
D-82205 Gilching  
Germany  
Tel: +49 (0)8105 24 16 10  
Fax: +49 (0)8105 24 16 19

Maxwell Technologies, Inc.  
Shanghai Representative Office  
13E, CR Times Square  
500 Zhangyang Road, Purlong  
Shanghai 200122, P.R. China  
Tel: +86 21 5836 8780  
Fax: +86 21 5836 8790

Online: [www.maxwell.com](http://www.maxwell.com) • Email: [info@maxwell.com](mailto:info@maxwell.com)

Page 4 • Document number: 1015370.1



# USER MANUAL

## Integration Kit

- BKIT – MCINT
- BKIT – MCIHT

## Integration Kit for:

- Maxwell Technologies® MC Series BOOSTCAP® Ultracapacitor Cells

## 1. Introduction

This integration kit is intended to provide all the necessary hardware and instructions to interconnect 2, 4 or 6 series connected ultracapacitors. This kit includes printed circuit boards (PCBs) with voltage management circuitry, buss bars, washers and retaining nuts. For optimal implementation, we recommend to use an even number of cells with this kit.

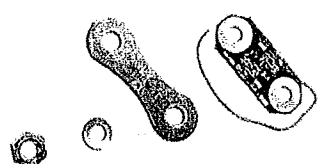
Each individual cell voltage is monitored by the voltage management circuitry, which protects each cell from entering an over voltage condition. If any cell does experience an over voltage condition, an LED will illuminate and the active circuitry will begin to discharge that cell. Once the cell is back within nominal operation voltage limits, the LED will extinguish.

This manual is current at time of printing. Please visit [www.maxwell.com](http://www.maxwell.com) for the latest product updates and information.

For illustrative purposes the integration kit with active PCBA is shown throughout this document.

## 2. Unpacking

The integration kit contains the following items.



<b>BKIT-MCINT (P/N 106927)</b> <b>Integration Kit with active PCBA</b>		
<b>Part No.</b>	<b>Description</b>	<b>Qty</b>
106610	Active PCBA	3
106517	Buss bar	5
105385	Washers	12
103996	M12-1.75 nuts	12
105003	Rivets	3

<b>BKIT-MCIHT (P/N 108320)</b> <b>Integration Kit with passive PCBA</b>		
<b>Part No.</b>	<b>Description</b>	<b>Qty</b>
106826	Passive PCBA	3
106517	Buss bar	5
105385	Washers	12
103996	M12-1.75 nuts	12
105003	Rivets	3

## 3. Installation

### 3.1 Preparing buss bar connection

- 3.1.1 Apply joint compound to capacitor surfaces that will come in contact with the buss bar. Use a highly conductive aluminum-aluminum antioxidant. For example, Noalox® Anti-Oxidant Compound available from IDEAL is a viable choice. There are many other vendors that supply equivalent compounds.
- 3.1.2 Apply joint compound to the buss bar **only** on the side that will come in contact with the capacitor.

3.1.3 Ensure any excess joint compound does not contact the top of the buss bar or come in contact with the voltage management circuitry as this may affect the circuitry performance.

### 3.2 Assembling connections

**Notes:** For optimal implementation, we only support and recommend the use of an even number of cells with this kit. These instructions show the assembly of six cells connected in series.

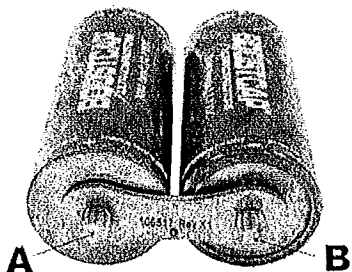


Figure 2

- 3.2.1 Place a buss bar over the threaded terminal at one end of the first pair of cells (Figure 2, A, B) with antioxidant facing towards capacitor. Note the polarity of the terminals of each cell, e.g. in Figure 2, A: positive terminal, B: negative terminal.

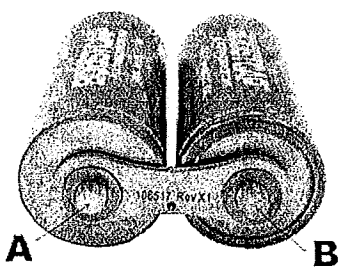


Figure 3

- 3.2.2 Place a wave washer over each threaded terminal on top of buss bar. (Figure 3, A, B)

**Note:** For optimal electrical connection, it is critical to use the provided washer on every single cell, per the explanation in step 3.2.6, below.

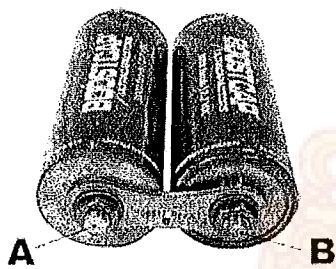


Figure 4

- 3.2.3 Thread a nut onto each threaded terminal and hand tighten. (Figure 4, A, B)

- 3.2.4 Repeat steps 3.2.1 to 3.2.3 on one side of each of the remaining pairs of cells. (Figure 5, A - F)

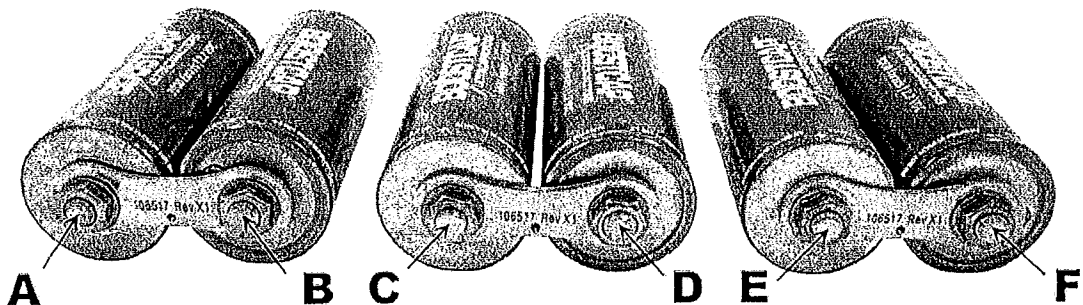


Figure 5

- 3.2.5 Turn the cells around so that the threaded terminals opposite to terminals A - F are facing you. Place buss bars over the middle pairs of threaded terminals (marked H, I, J and K in Figure 6), with antioxidant facing towards capacitor.

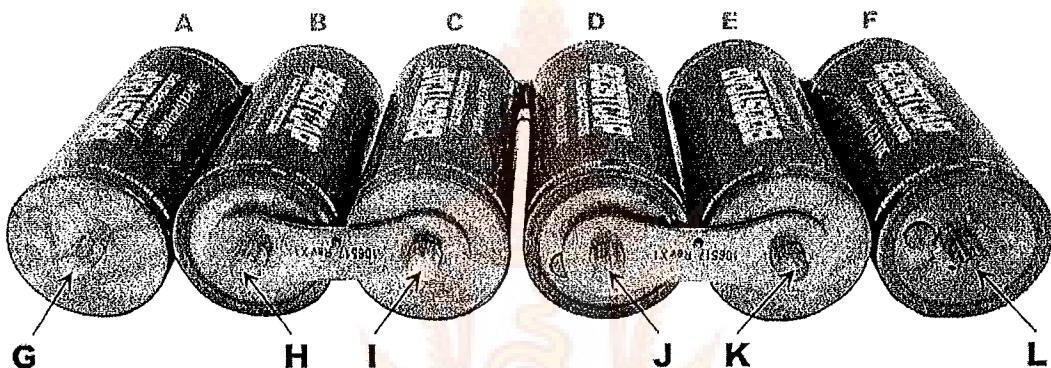


Figure 6

- 3.2.6 Place  $\frac{1}{8}$  inch thick lugs attached to power cables (1/0 AWG cables shown in Figure 7) over the remaining two threaded terminals of the cells at the ends of the series and a washer over each lug. (Figure 7, G and L). It is important to use a lug plus an aluminum washer that together have a minimum combined thickness of  $\frac{1}{8}$  inch. This prevents the voltage management boards (which are attached in the following step) from being stressed due to uneven stack up of the elements bolted to the cell.

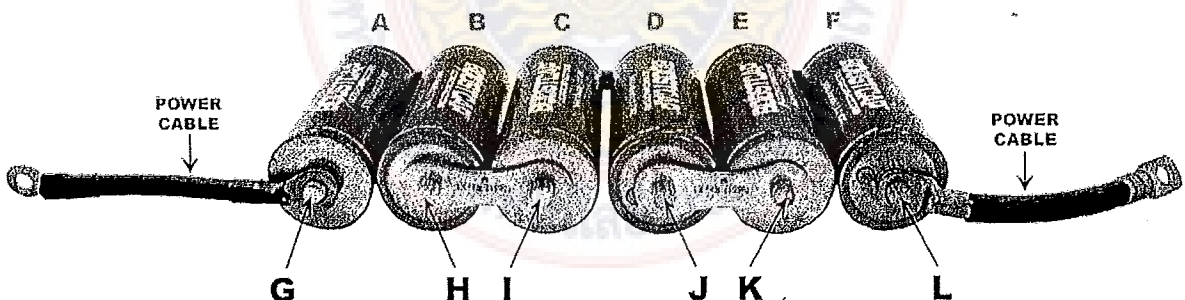


Figure 7

- 3.2.7 Place a voltage management board over each pair of threaded terminals, as shown in Figure 8, with the printed circuit board components facing away from the capacitor. Make sure that the buss bar and power cable connections are **below** the voltage management board.

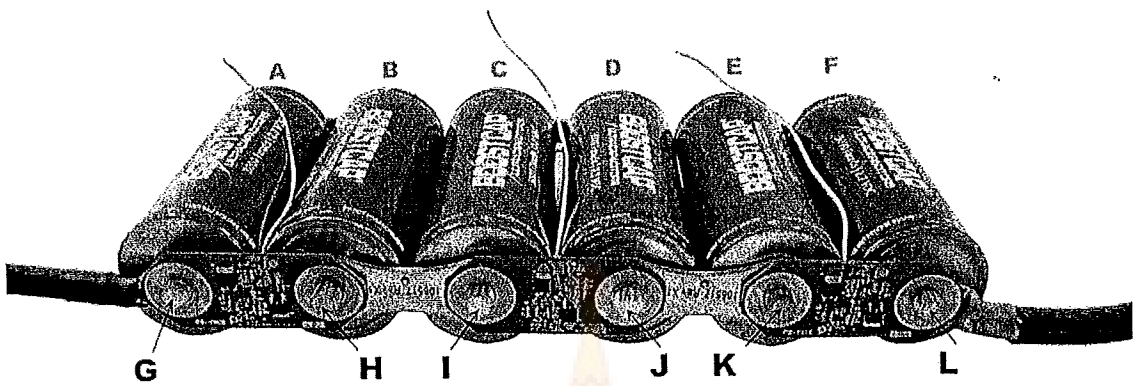


Figure 8

- 3.2.8 **Note:** The voltage management board is polarized. **J1 on the board is positive; J3 is negative.** Ensure correct polarities of capacitor terminal and voltage management board are connected. (Figure 9)

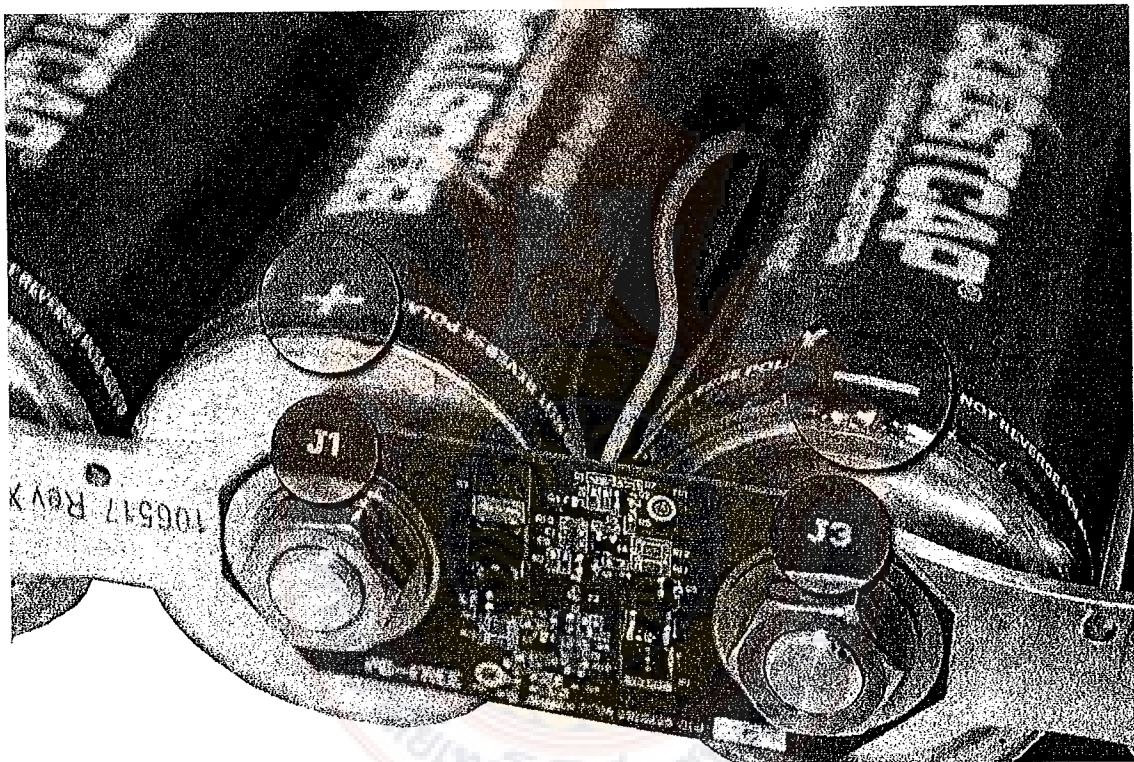


Figure 9

3.2.9 Place a wave washer over each threaded terminal on top of voltage management boards. (G – L, Figure 10)

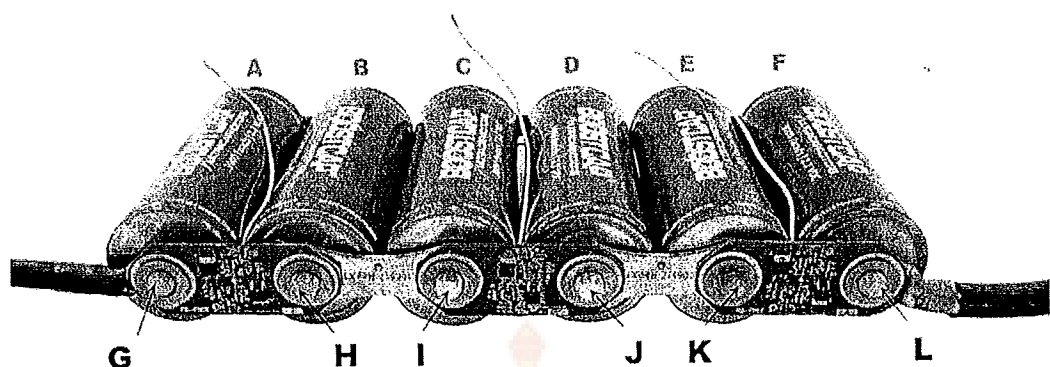


Figure 10

3.2.10 Thread a nut onto each threaded terminals and hand tighten. (G – L, Figure 11)

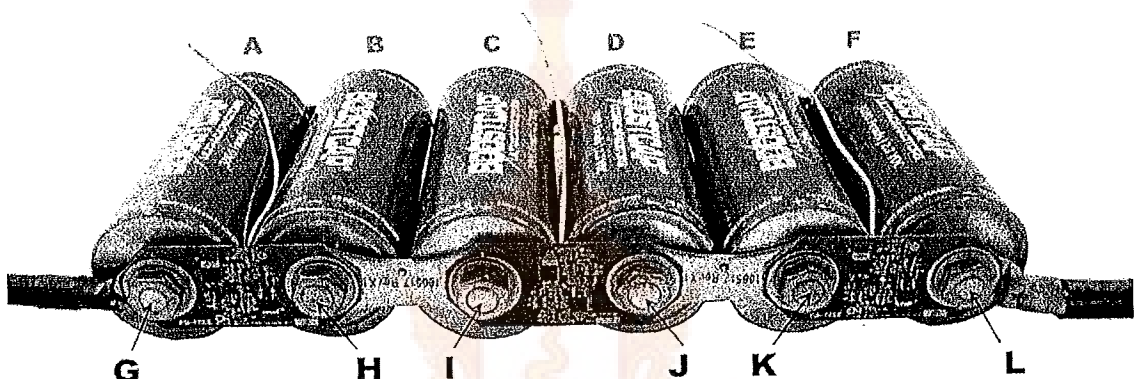


Figure 11

3.2.11 The 22 AWG wire attached to the voltage management board must be riveted in place with the provided rivet to the buss bar that spans **the same two cells as the printed circuit board** (M, N and O, Figure 12). Those two cells are protected by that one board. E.g.: the wire on the voltage management board spanning terminals G and H in Figure 11 is connected to the rivet on the buss bar spanning terminals A and B.

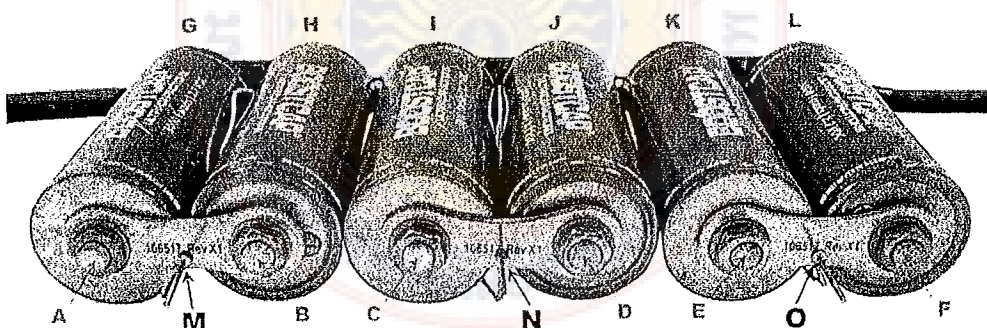


Figure 12

3.2.12 Trim the rivets as per standard riveting procedure.

3.2.13 Torque each connection to 14 Nm.

3.2.14 Wipe off any excess joint compound.

3.2.15 Repeat the steps above, until every cell is serially connected.

## 4. Accessories

Additional items not included in the integration kit but necessary for installation are:

- 1) Antioxidant high conductivity joint compound specified for aluminum-aluminum connections and lead free solder
- 2) Torque wrench capable applying 14 Nm torque to the nut.

## 5. Operation

No additional requirements for operation.

## 6. Safety

Voltage management circuitry does not prevent an individual capacitor or series of capacitors from over voltage conditions if prolonged charging to a higher than specified voltage persists (2.7V/cell). Provisions should be made with the system integration to prevent prolonged over voltage conditions.

## 7. Maintenance

No maintenance required.

## 8. Storage

Integration kits should be stored in a non-condensing environment.

## 9. Disposal

Buss bars and printed circuit boards should be recycled. The capacitors should be disposed of in accordance with local regulations.



## Contact Information:



**Maxwell Technologies, Inc.**  
**Worldwide Headquarters**  
9244 Balboa Avenue  
San Diego, CA 92123  
USA  
Phone: +1 858 503 3300  
Fax: +1 858 503 3301



**Maxwell Technologies SA**  
CH-1728 Rossens  
Switzerland  
Phone: +41 (0)26 411 85 00  
Fax: +41 (0)26 411 85 05



**Maxwell Technologies GmbH**  
Brucker Strasse 21  
D-82205 Gilching  
Germany  
Phone: +49 (0)8105 24 16 10  
Fax: +49 (0)8105 24 16 19



**Maxwell Technologies, Inc. -  
Shanghai Representative Office**  
Rm.2104, Suncome Liauw's Plaza  
738 Shang Cheng Road  
Pudong New Area  
Shanghai 200120, P.R. China  
Phone: +86 21 5836 5733  
Fax: +86 21 5836 5620

Refer to our website [www.maxwell.com](http://www.maxwell.com) for full terms and conditions.



**Maxwell**  
TECHNOLOGIES